



แบบชิ้นเจกชันอนาไลซิสโดยใช้ไอโอดีนเล็กที่ฟอเล็กโกรด

Batch Injection Analysis using Ion-selective Electrode

อรจนา รอดเข็ม

Archara Rawdkhem

วิทยานิพนธ์วิทยาศาสตร์มหาบัณฑิต สาขาวิชาเคมีวิเคราะห์

มหาวิทยาลัยสงขลานครินทร์

Master of Science Thesis in Analytical Chemistry

Prince of Songkla University

2544

๗

เลขหนัง	QD79.B37 ๐๖๒ ๒๕๔๔ ๘๒
Bib Key	211856
	๑๐๙ ๗๖๖

(1)



ชื่อวิทยานิพนธ์ แบบข้อมูลเก็บข้อมูลเชิงรายละเอียดใช้ในองค์กรที่ผลิตโดย

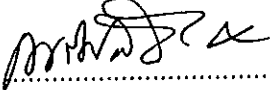
ผู้เขียน นางสาวอัจฉรา รอดเข็ม

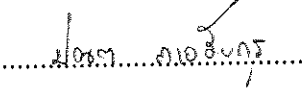
สาขาวิชา เกมีวิเคราะห์

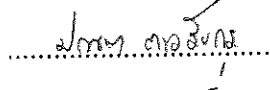
คณะกรรมการที่ปรึกษา

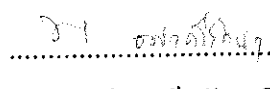
คณะกรรมการสอบ

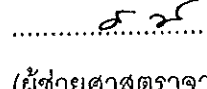
..........ประธานกรรมการ
(รองศาสตราจารย์ ดร.เพริศพิชญ์ คณาธารณ)

..........ประธานกรรมการ
(รองศาสตราจารย์ ดร.เพริศพิชญ์ คณาธารณ)

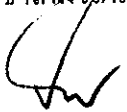
..........กรรมการ
(รองศาสตราจารย์ ดร.ปันต พาวังสุก)

..........กรรมการ
(รองศาสตราจารย์ ดร.ปันต พาวังสุก)

..........กรรมการ
(อาจารย์พวรรณี อัศวนิรันดร์)

..........กรรมการ
(ผู้ช่วยศาสตราจารย์ ดร.ดำรงศักดิ์ พั่วสุ่งสา)

บันทึกวิทยาลัย มหาวิทยาลัยสงขลานครินทร์ อนุมัติให้นับวิทยานิพนธ์ฉบับนี้เป็นส่วน
หนึ่งของการศึกษา ตามหลักสูตรวิทยาศาสตร์มหาบัณฑิต สาขาวิชาเคมีวิเคราะห์

..........(รองศาสตราจารย์ ดร.ปิติ พฤษภิคุณ)

คณบดีบันทึกวิทยาลัย

บันทึกวิทยาลัย มหาวิทยาลัยสงขลานครินทร์ อนุมัติให้นับวิทยานิพนธ์ ตามหลักสูตรวิทยาศาสตร์มหาบัณฑิต สาขาวิชาเคมีวิเคราะห์ ให้เป็นส่วน หนึ่งของการศึกษา	บันทึกวิทยาลัย/ ว.ร.ส. ลงนาม/ ผู้ดูแล
--	--

(2)

ชื่อวิทยานิพนธ์ แบบชี้อินเจกชันอนาคตโน้ลซิสโดยใช้ไอคอนซีเล็กที่ฟ้อเล็กໂหารด

ผู้เขียน นางสาวอัจฉรา รอดเข็ม

สาขาวิชา เคมีวิเคราะห์

ปีการศึกษา 2543

บทคัดย่อ

แบบชี้อินเจกชันอนาคต (BIA) เป็นเทคนิคการวิเคราะห์ปริมาณสารที่ใช้การจัดสารตัวอย่างซึ่งนับปริมาตรในช่วงไม่ครอติลงบนตัวตรวจ ซึ่งอยู่ในสารละลายที่มีปริมาตรมากและถูกคนอยู่ตลอดเวลา งานวิจัยนี้ทดสอบการใช้เทคนิคแบบชี้อินเจกชันอนาคตโน้ลซิสว์มกับไอคอนซีเล็กที่ฟ้อเล็กໂหารซึ่งเป็นตัวตรวจวัดแบบโพเทนชิโอมทริกและเลือกใช้ไอคอนซีเล็กที่ฟ้อเล็กໂหารสำหรับในเตรทเป็นกรณีศึกษา โดยวัดศักย์ไฟฟ้าที่เกิดจากการแลกเปลี่ยนไอคอนของสารตัวอย่างที่มีในเตรทที่บริเวณผิวน้ำข้ามเล็กໂหารและศักย์ไฟฟ้าที่มีความสัมพันธ์กับความเข้มข้นของสารตัวอย่าง จากผลการทดลองพบว่าสภาวะที่เหมาะสมของปั๊บพื้นฐานของระบบแบบชี้อินเจกชันอนาคตโน้ลซิสมีดังนี้ อัตราเร็วในการคนสารละลาย 300 รอบต่อนาที อัตราเร็วในการจัดสารละลายซึ่งควบคุมการจัดด้วยเครื่อง EDOS 5221 ที่ 4 ระยะห่างระหว่างปลายปีเปตกับเมมเบรนอเล็กໂหาร 2 มิลลิเมตร และปริมาตรสารละลายตัวอย่างที่ให้ 20 ไมโครลิตร ในการวิเคราะห์หาปริมาณในเตรทในสารละลายมาตรฐานด้วยเทคนิคนี้ สามารถทำการวิเคราะห์สารละลายตัวอย่างได้ 20-70 ตัวอย่างต่อชั่วโมง ให้สัญญาณการตอบสนองที่มีความเที่ยงสูง (*r.s.d.=2%*) โดยความสัมพันธ์ระหว่างสัญญาณการตอบสนองและลักษณะการวิเคราะห์ที่มีความเข้มข้นจะเป็นเชิงเส้นในช่วง

1.0×10^{-5} - 1.0×10^{-2} มิลาร์ ซึ่งจำกัดต่ำสุดของระบบการทดลองอยู่ที่ความเข้มข้นในเตรท

1.0×10^{-5} มิลาร์ และคงอยู่และไม่เปลี่ยนแปลงในกระบวนการวิเคราะห์ในเตรท นอกจากนี้สารตัวอย่างที่จัดลงบนเมมเบรนอเล็กໂหารจะไม่มีผลต่อการตรวจสารตัวอย่างที่จะวิเคราะห์ในครั้งต่อไป อย่างไรก็ตามการใช้ในเตรทที่ฟ้อเล็กที่ฟ้อเล็กໂหารในระบบแบบชี้อินเจกชันอนาคตโน้ลซิสมีข้อจำกัดคือสามารถใช้ได้อย่างต่อเนื่องได้ไม่เกิน 1 ชั่วโมง และมีค่าความไววิเคราะห์ค่อนข้างต่ำ ซึ่งเป็นผลให้ค่าความเข้มข้นของสารละลายในเตรทที่วัดโดยระบบแบบชี้อินเจกชันอนาคตโน้ลซิสมีค่าแตกต่างจากค่าจริง หากพัฒนาระบบที่มีค่าความไววิเคราะห์ที่สูงขึ้น ระบบนี้จะเป็นระบบที่สามารถวิเคราะห์ปริมาณสารได้สะดวก รวดเร็วและมีความเที่ยงสูง

Thesis Title	Batch Injection Analysis using Ion-selective Electrode
Author	Miss Archara Rawdkhem
Major Program	Analytical Chemistry
Academic Year	2000

Abstract

Batch Injection Analysis (BIA) is a quantitative technique involving the injection of microliter samples toward a nearby detector, immersed in a large-volume, stirred blank solution. This work focused on the use of the BIA method in combination with an ion-selective electrode which is a potentiometric detector. Ion-selective electrode for nitrate is chosen as a case study, by measuring the potential resulting from the exchange of the nitrate ions in the samples at the surface of the electrode. This potential would reflect the concentration of the samples. Optimum conditions for the BIA response were as followed; stirring rate of the blank solution was 300 rpm, the injection rate of sample using EDOS 5221 was at position 4, the distance of pipette tip to nitrate-selective electrode was 2 mm from the liquid membrane and sample volume was 20 μL . The technique permits the analysis of nitrate standard solution of about 20-70 samples per hour with high precision responses (r.s.d. 2%). The linear relationship between the response and the log of concentration was between 1.0×10^{-5} - 1.0×10^{-2} M with a detection limit of 1.0×10^{-5} M. No significant interferences was observed from chloride and bromide ions. There was no observable carry-over between samples of different concentrations. However, the use of nitrate-selective electrode in the BIA system has some limitations. That is, the electrode could not be used for more than an hour and the sensitivity of the system was rather low. This was the reason why the concentrations of nitrate determined by BIA system differed significantly from the true values. If this system is further developed such that the sensitivity is higher, it could be used as a good quantitative measurement system since it is easy to use, fast response and it has high precision.

(4)

กิตติกรรมประกาศ

วิทยานิพนธ์ฉบับนี้สำเร็จได้ ด้วยความกรุณาของ รองศาสตราจารย์ ดร.เพรศพิชญ์ คณาธรรม อาจารย์ที่ปรึกษา และรองศาสตราจารย์ ดร.ปนัดดา วงศ์สูตร อาจารย์ที่ปรึกษาร่วม ที่ได้กรุณาให้คำปรึกษาและแนะนำแนวทางในการแก้ไขปัญหาต่างๆที่เกิดขึ้นเกี่ยวกับวิทยานิพนธ์นี้ ตลอดจนตรวจสอบแก้ไขข้อบกพร่องต่างๆ ตลอดมาตั้งแต่ต้นจนจบการศึกษา รวมทั้งให้กำลังใจใน การศึกษาแก่ศิษย์เสมอมา จึงขอกราบขอบพระคุณท่านทั้งสองไว้ ณ ที่นี่

ขอขอบคุณอาจารย์พรรณี อัศวตรีวัฒนกุล ขอบคุณเจ้าหน้าที่ฝ่ายธุรการของกองการกำจัด สัตว์พืช คณะทรัพยากรธรรมชาติที่ได้ให้ความช่วยเหลือเกี่ยวกับโปรแกรมIRRISTATตลอดจน บุคลากรทั้งภาควิชาเคมีและภาควิชาฟิสิกส์ทุกท่านที่ได้ให้ความสะดวกและช่วยเหลือในเรื่องสารเคมีและอุปกรณ์ต่างๆที่นำมาใช้ในการวิเคราะห์

ขอกราบขอบพระคุณคณะกรรมการคุณการควบคุมการสอบวิทยานิพนธ์ในครั้งนี้ทุกท่านที่ให้ ความกรุณาในการตรวจสอบวิทยานิพนธ์ และได้กรุณาเสนอแนะแก้ไขเพิ่มเติมทำให้วิทยานิพนธ์มี ความถูกต้องสมบูรณ์มากขึ้น ขอกราบขอบพระคุณอาจารย์ทุกท่านที่ได้ ประสิทธิ์ ประสาทวิชา ความรู้ต่างๆ นับตั้งแต่เริ่มต้นศึกษาวิชาแรก จนสำเร็จตามหลักสูตรการศึกษา และข้อแนะนำต่างๆ ที่มีประโยชน์และเป็นวิทยาทานอย่างมากมาย

สุดท้ายผู้ที่ทำวิทยานิพนธ์ขอขอบพระคุณต่อคุณพ่อ คุณแม่ สำนักงานพัฒนาปวมภูมิเพื่อ สำหรับเด็กชาติ ที่ให้ความสนับสนุนในด้านทุนทรัพย์ ขอขอบคุณ น้องสาว น้องชาย ที่มีส่วนช่วย เหลือให้กำลังใจและทุนทรัพย์詹ผู้ทำวิทยานิพนธ์สำเร็จการศึกษา รวมทั้งเพื่อนนักศึกษาปริญญา ให้ทุกๆท่าน ที่เป็นกำลังใจในการศึกษาตลอดมาจนสำเร็จ

ขอบคุณบัณฑิตวิทยาลัย มหาวิทยาลัยสงขลานครินทร์ ที่ได้กรุณาสนับสนุนเงินทุนบางส่วนในการทำวิจัยครั้งนี้

อัจฉรา รอดเข็ม

สารบัญ

	หน้า
บทคัดย่อ	(3)
Abstract	(4)
กิตติกรรมประกาศ	(5)
สารบัญ	(6)
รายการตาราง	(8)
รายการภาพประกอบ	(11)
บทที่	
1 บทนำ	1
1.1 บทนำต้นเรื่อง	1
1.2 การตรวจเอกสาร	3
1.3 วัตถุประสงค์	9
1.4 ประโยชน์ที่คาดว่าจะได้รับ	9
1.5 ขอนเขตของการศึกษา	9
2 วิธีการวิจัย	10
2.1 วัสดุ	10
2.2 เครื่องมือและอุปกรณ์	10
2.3 ระบบการทดลอง	11
2.4 การวิเคราะห์ผล	20
2.5 การหาสภาวะที่เหมาะสมของปัจจัยพื้นฐานของระบบ	21
แบบชี้อินเจกชันอนาคต	
2.6 การหาสภาวะที่เหมาะสมในการวิเคราะห์ในเดรท	23
2.7 การวิเคราะห์หาปริมาณในเดรทในสารละลายน้ำทรรูนาน	25
2.8 ศึกษาเบรี่ยบเทียบระบบแบบชี้อินเจกชันอนาคต	26
ไม่มีผลกระทบหัวอิเล็กโทรด	
2.9 เบรี่ยบเทียบผลการวิเคราะห์ปัจจัยพื้นฐานของระบบ	28
แบบชี้อินเจกชันอนาคต	

สารบัญ (ต่อ)	หน้า
2.10 การหาสภาวะที่เหมาะสมในการวิเคราะห์ในเดรทแบบส่วน ปลอกอิเล็กโกรด	29
2.11 การวิเคราะห์หาปริมาณในเดรทในสารละลายมาตรฐาน เมื่อส่วนปลอกอิเล็กโกรด	30
2.12 การหาระยะเวลาที่เหมาะสมในการใช้ในเดรทชีล็อกทีพ อิเล็กโกรด	30
2.13 อายุการใช้งานของเมมเบรนอิเล็กโกรด	32
3 ผลและการอภิปัจจัยผล	33
3.1 ลักษณะของสัญญาณการตอบสนอง	33
3.2 การหาสภาวะที่เหมาะสมของปัจจัยพื้นฐานของระบบ แบบชีล็อกชันอนาคติส	35
3.3 การหาสภาวะที่เหมาะสมในการวิเคราะห์ในเดรท	44
3.4 การวิเคราะห์หาปริมาณในเดรทในสารละลายมาตรฐาน	56
3.5 ศึกษาเปรียบเทียบระบบแบบชีล็อกชันอนาคติสมีเมื่อ ไม่มีปลอกส่วนหัวอิเล็กโกรด	60
3.6 เปรียบเทียบผลการวิเคราะห์ปัจจัยพื้นฐานของระบบ แบบชีล็อกชันอนาคติส	63
3.7 การหาสภาวะที่เหมาะสมในการวิเคราะห์ในเดรทแบบส่วน ปลอกอิเล็กโกรด	72
3.8 การวิเคราะห์หาปริมาณในเดรทในสารละลายมาตรฐาน เมื่อส่วนปลอกอิเล็กโกรด	75
3.9 การหาระยะเวลาที่เหมาะสมในการใช้ในเดรทชีล็อกทีพ อิเล็กโกรด	82
3.10 อายุการใช้งานของเมมเบรนอิเล็กโกรด	89
4 บทสรุป	91
บรรณานุกรม	95
ประวัติผู้เขียน	102

รายการตาราง

ตาราง	หน้า
1. ขนาดของสัญญาณการตอบสนองและเวลาต่อสัญญาณที่อัตราเร็ว ในการคนสารละลายต่างกัน	36
2. ขนาดของสัญญาณการตอบสนองเมื่อใช้อัตราเร็วในการจัดสารละลาย ต่างๆกัน	39
3. ขนาดของสัญญาณการตอบสนองกับระยะห่างระหว่างปลายปีเปตกัน แบบเบรนอิลลิกโอลด์	41
4. ขนาดของสัญญาณการตอบสนองกับปริมาตรสารละลายตัวอย่าง	43
5. สัญญาณการตอบสนองกับความเข้มข้นของสารละลายโพแทสเซียม ในteredที่มีปริมาณโพแทสเซียมคลอไรด์ต่างๆกัน	49
6. สัญญาณการตอบสนองกับความเข้มข้นของสารละลายโพแทสเซียม ในteredที่มีปริมาณโพแทสเซียมโนร์ไมด์ต่างๆกัน	50
7. สัญญาณการตอบสนองกับความเข้มข้นของสารละลายโพแทสเซียม ในteredที่มีปริมาณโพแทสเซียมคลอไรด์และโพแทสเซียมโนร์ไมด์ต่างๆกัน	51
8. สัญญาณการตอบสนองที่ความเข้มข้นของสารละลายโพแทสเซียมในtered ต่างๆ กัน เมื่อวัดด้วยเทคนิค BIA และวัดแบบจุ่ม	54
9. สัญญาณการตอบสนองจากสารละลายในteredมาตรฐาน เพื่อใช้เป็นกราฟ มาตรฐาน	57
10. สัญญาณการตอบสนองและผลการวิเคราะห์ปริมาณในteredที่วัดได้จาก สารละลายในteredมาตรฐานด้วยเทคนิคแบบซึ่อนเจกชันออนไลน์	58
11. ผลการวิเคราะห์ปริมาณในteredที่วัดได้จากสารละลายในteredมาตรฐาน ชุดที่ 1 ด้วยเทคนิค BIA	58
12. ผลของปลอกอิลลิกโอลด์ที่มีต่อสัญญาณการตอบสนอง	61
13. ผลของปลอกอิลลิกโอลด์ที่มีต่อเวลาต่อสัญญาณ	62
14. ขนาดของสัญญาณการตอบสนองที่ใช้อัตราการคนสารละลายต่างๆกันเมื่อ มีและไม่มีปลอกสมอิลลิกโอลด์	66

รายการตาราง (ต่อ)

ตาราง	หน้า
15. เวลาต่อสัญญาณกับอัตราเร็วในการคนสารละลายต่างๆกัน เมื่อมีและไม่มี ปลอกสวนอิเล็กทรอนิกส์	67
16. ขนาดของสัญญาณการตอบสนองที่ใช้อัตราเร็วในการชิดสารละลายต่างๆ กัน เมื่อมีและไม่มีปลอกสวนอิเล็กทรอนิกส์	68
17. ขนาดของสัญญาณการตอบสนองกับระยะห่างระหว่างปลายปีเปต กับเมมเบรนอิเล็กทรอนิกส์ เมื่อมีและไม่มีปลอกสวนอิเล็กทรอนิกส์	69
18. ขนาดของสัญญาณการตอบสนองกับผลของปริมาตรสารละลาย ตัวอย่าง เมื่อมีและไม่มีปลอกสวนอิเล็กทรอนิกส์	70
19. สัญญาณการตอบสนองที่มีความเข้มข้นของสารละลายโพแทสเซียม ไม่เท่ากัน เมื่อมีและไม่มีปลอกสวนอิเล็กทรอนิกส์	73
20. สัญญาณการตอบสนองที่ได้จากสารละลายใน terrestrial มาตรฐาน เมื่อมี และไม่มีปลอกสวนอิเล็กทรอนิกส์ เพื่อใช้เป็นกราฟมาตรฐาน	76
21. สัญญาณการตอบสนองและผลการวิเคราะห์ปริมาณใน terrestrial ที่วัดได้ จากสารละลายใน terrestrial มาตรฐานด้วยเทคนิคแบบซึ่อกันนาไลซิส แบบไม่สวนอิเล็กทรอนิกส์	78
22. ผลการวิเคราะห์ปริมาณใน terrestrial ที่วัดได้จากสารละลายใน terrestrial มาตรฐาน ด้วยเทคนิค BIA แบบไม่สวนปลอกอิเล็กทรอนิกส์ คุณที่ 1 ค่าเบี่ยงเบนของความ เข้มข้นในเชิงบวกและลบไม่เท่ากันเมื่อจากค่าศักย์ไฟฟ้าที่วัดได้มีความ สัมพันธ์กับค่าความเข้มข้น	78
23. สัญญาณการตอบสนองและผลการวิเคราะห์ปริมาณใน terrestrial ที่วัดได้ จากสารละลายใน terrestrial มาตรฐานด้วยเทคนิคแบบซึ่อกันนาไลซิส แบบสวนอิเล็กทรอนิกส์	80
24. ผลการวิเคราะห์ปริมาณใน terrestrial ที่วัดได้จากสารละลายใน terrestrial มาตรฐาน ด้วยเทคนิค BIA แบบไม่สวนปลอกอิเล็กทรอนิกส์ คุณที่ 1 ค่าเบี่ยงเบนของความ เข้มข้นในเชิงบวกและลบไม่เท่ากันเมื่อจากค่าศักย์ไฟฟ้าที่วัดได้มีความ สัมพันธ์กับค่าความเข้มข้น	80

รายการตาราง (ต่อ)

ตาราง	หน้า
25. ผลของเวลาในการใช้เมมเบรนอิเล็ก trod ที่มีต่อสัญญาณการตอบสนองของเมมเบรน	83
26. ผลของระยะเวลาที่เหมาะสมในการจุ่มในเตρทซีเล็กที่ฟอเล็ก trod ในสารละลายน้ำที่มีความเข้มข้น 0.1 มอลาร์ เพื่อให้ค่าการตอบสนองคืนสูงสุด	84
27. สัญญาณการตอบสนองจากสารละลายน้ำที่ได้จากการใช้ในเตρทซีเล็กที่ฟอเล็ก trod ภายใต้ความดัน 1 ชั่วโมง เพื่อใช้เป็นกราฟมาตราฐาน	86
28. สัญญาณการตอบสนองและการวิเคราะห์ปริมาณในเตρทที่วัดได้จากสารละลายน้ำที่เตรียมขึ้นมาด้วยเทคนิคแบบทซีอินเจกชันอย่างไอลิส	87
29. ผลการวิเคราะห์ปริมาณในเตρทที่วัดได้จากสารละลายน้ำที่เตรียมขึ้นมาด้วยเทคนิค BIA ชุดที่ 1 ค่าเบี่ยงเบนของความเข้มข้นในเชิงบวกและลบไม่เท่ากันเนื่องจากค่าศักย์ไฟฟ้าที่รับได้มีความสัมพันธ์กับลักษณะของความเข้มข้น	87
30. ขนาดของสัญญาณการตอบสนองเมื่ออายุการใช้งานของเมมเบรนอิเล็ก trod ต่างกัน	90

รายการภาพประกอบ

ภาพประกอบ	หน้า
1. ระบบแบบซีอินเจกชันอนาคติส	3
2. เทลล์ไฟฟ้าเคมีสำหรับวัดโดยโพเทนชิโอมทริก	12
3. ลักษณะของไนเตรที่เล็กที่พอดีเล็กใหญ่ที่ใช้ในงานวิจัย	13
4. ชุดประกอบที่ใช้ในระบบแบบซีอินเจกชันอนาคติส	18
5. ตัวอย่างสัญญาณจากเทคนิค BIA ที่วัดค่าการตอบสนองในรูปการเปลี่ยนแปลงของศักยไฟฟ้า โดยชีดสารละลายโพแทสเซียมในเตอร์ 1.0×10^{-3} มิลลาร์	19
6. ลักษณะของปลอกอิเล็กโทรดซึ่งทำจาก PVC เจาะชูขนาดเส้นผ่าศูนย์กลาง 3.0 มิลลิเมตร ระดับ 3 ระดับ ละ 2 คู่ ตรงข้ามกัน และให้มีระยะห่างระหว่างแต่ละระดับบันทึกกัน 1.0 มิลลิเมตร	28
7. ขนาดสัญญาณการตอบสนองที่ความเข้มข้นของสารละลายโพแทสเซียมในเตอร์ต่างๆ กัน	34
8. ความสัมพันธ์ระหว่างสัญญาณการตอบสนองกับอัตราเร็วในการคนสารละลาย ชุดที่ 1	37
9. ความสัมพันธ์ระหว่างเวลาต่อสัญญาณกับอัตราเร็วในการคนสารละลาย	37
10. ความสัมพันธ์ระหว่างสัญญาณการตอบสนองกับอัตราเร็วที่ใช้ในการฉีดสารละลาย	39
11. ความสัมพันธ์ระหว่างสัญญาณการตอบสนองกับระยะห่างระหว่างปลายปีเปตกับเมมเบรนอิเล็กโทรด	41
12. ความสัมพันธ์ระหว่างสัญญาณการตอบสนองกับปริมาตรสารละลายตัวอย่าง	43
13. การตอบสนองของไนเตรที่เล็กที่พอดีเล็กใหญ่ในเทคนิคแบบซีอินเจกชันอนาคติส เมื่อชีดสารละลายโพแทสเซียมในเตอร์ 1.0×10^{-4} มิลลาร์ อย่างต่อเนื่อง 30 วินาที ค่าเฉลี่ยของการตอบสนอง เท่ากับ 69.1 ± 1.3 mV ให้ค่าเบี่ยงเบนมาตรฐานสัมพัทธ์ 2 %	45

รายการภาพประกอบ (ต่อ)

ภาพประกอบ	หน้า
14. การตอบสนองของไนเตรที่เล็กที่ฟอเล็กโกรดที่ให้ร่วมกับเทคนิคเบทซ์ อินเจกชันอนาคติส เมื่อจีดสารละลายโพแทสเซียมในเตราท 1.0×10^{-5} สลับกับ 1.0×10^{-4} มิลาร์ 20 ครั้ง	46
15. ความสัมพันธ์ระหว่างสัญญาณการตอบสนองกับความเข้มข้น ของโพแทสเซียมในเตราทที่มีโพแทสเซียมคลอไรด์ที่ความเข้มข้นต่างๆ	49
16. ความสัมพันธ์ระหว่างสัญญาณการตอบสนองกับความเข้มข้น ของโพแทสเซียมในเตราทที่มีโพแทสเซียมบอร์ไมด์ความเข้มข้นต่างๆ	50
17. ความสัมพันธ์ระหว่างสัญญาณการตอบสนองกับความเข้มข้น ของโพแทสเซียมในเตราทที่มีโพแทสเซียมคลอไรด์และโพแทสเซียม บอร์ไมด์ที่ความเข้มข้นต่างๆ	51
18. ความสัมพันธ์ระหว่างสัญญาณการตอบสนองกับความเข้มข้นของ สารละลายโพแทสเซียมในเตราทที่ความเข้มข้นต่างๆ	55
19. ความสัมพันธ์ระหว่างสัญญาณการตอบสนองกับความเข้มข้นของ สารละลายโพแทสเซียมในเตราทที่ความเข้มข้นต่างๆ (ชุดที่ 1 วัดแบบจุ่ม)	55
20. สัญญาณการตอบสนองจากสารละลายในเตราทมาตรฐานที่ได้จาก เทคนิคเบทซ์อินเจกชันอนาคติส เพื่อเป็นกราฟมาตรฐาน	57
21. เปรียบเทียบผลการวิเคราะห์ปริมาณในเตราทในสารละลายน้ำมาตรฐาน ระหว่างเทคนิคเบทซ์อินเจกชันอนาคติสกับความเข้มข้นของในเตราท	59
22. เปรียบเทียบสัญญาณการตอบสนองกับความเข้มข้นของสารละลาย โพแทสเซียมในเตราท เมื่อมีและไม่มีปลอกอิเล็กโกรด	61
23. ความสัมพันธ์ระหว่างเวลาต่อสัญญาณของสารละลายโพแทสเซียม ในเตราทที่ความเข้มข้นต่างๆ เมื่อมีและไม่มีปลอกอิเล็กโกรด	62
24. ความสัมพันธ์ระหว่างขนาดของสัญญาณการตอบสนองกับคัตราชีว ในการคนสารละลาย เมื่อมีและไม่มีปลอกอิเล็กโกรด	66
25. ความสัมพันธ์ระหว่างเวลาต่อสัญญาณกับอัตราเร็วในการคนสารละลาย เมื่อมีและไม่มีปลอกอิเล็กโกรด	67

รายการภาพประกอบ (ต่อ)

ภาพประกอบ	หน้า
26. ความสัมพันธ์ระหว่างขนาดของสัญญาณการตอบสนองกับอัตราเร็ว ในการฉีดสารละลาย เมื่อมีและไม่มีปลอกอิเล็กโทรด	68
27. ความสัมพันธ์ระหว่างขนาดของสัญญาณการตอบสนองกับระยะห่าง ระหว่างปลายปีเปตกับเมมเบรนอิเล็กโทรด เมื่อมีและไม่มีปลอก อิเล็กโทรด	69
28. ความสัมพันธ์ระหว่างขนาดของสัญญาณการตอบสนองกับปริมาณ ของสารละลายตัวอย่าง เมื่อมีและไม่มีปลอกอิเล็กโทรด	71
29. ความสัมพันธ์ระหว่างสัญญาณการตอบสนองกับความเข้มข้นของ สารละลายโพแทสเซียมในเทวที่ความเข้มข้นต่างๆ	74
30. สัญญาณการตอบสนองจากสารละลายในเทวที่มาตรฐานที่ได้จากการ ใช้ปลอกอิเล็กโทรด ที่ได้จากการทดสอบที่ได้จากการ ใช้ปลอกอิเล็กโทรด	77
31. เปรียบเทียบผลการวิเคราะห์ปริมาณในเทวที่ในสารละลายน้ำมาตรฐาน เมื่อมีและไม่มีปลอกอิเล็กโทรดระหว่างเทคนิคแบบซึ่งกันและกัน กับความเข้มข้นของในเทวที่	79
32. เปรียบเทียบผลการวิเคราะห์ปริมาณในเทวที่ในสารละลายน้ำมาตรฐาน แบบสมปลอกอิเล็กโทรดระหว่างเทคนิคแบบซึ่งกันและกันกับ ความเข้มข้นของในเทวที่	81
33. ความสัมพันธ์ของเวลาในการใช้เมมเบรนอิเล็กโทรดที่มีต่อสัญญาณ การตอบสนองของเมมเบรน	83
34. ความสัมพันธ์ระหว่างสัญญาณการตอบสนองกับระยะเวลาระหว่าง สมในการรุ่มในเทวที่เล็กที่พอดีกับอิเล็กโทรดในสารละลายโพแทสเซียม ในเทวที่ 0.1 มิลลาร์ เพื่อให้ค่าการตอบสนองคืนสู่สภาพเดิม	84
35. สัญญาณการตอบสนองจากสารละลายในเทวที่มาตรฐานที่ได้จากการ ทดสอบที่ได้จากการทดลองใช้ในเทวที่เล็กที่พอดีกับอิเล็กโทรดภายในเวลา 1 ชั่วโมง เพื่อเป็นการมาตรฐาน	86

รายการภาพประกอบ (ต่อ)

ภาพประกอบ	หน้า
36. เปรียบเทียบผลการวิเคราะห์ปริมาณใน terra ในสารละลายมาตรฐาน ระหว่างเทคนิคแบบที่อินเจกชันอนาไลซิสกับความเข้มข้นของ terra ที่ได้จากการทำการทดลองใช้ใน terra ที่เลือกที่พ่อเลือกโดยด้วยในเวลา 1 ชั่วโมง ชุดที่ 1	88
37. ความสัมพันธ์ระหว่างขนาดของสัญญาณการตอบสนองกับอายุการ ใช้งานของเมมเบรนอิเล็กโทรด	90

บทที่ 1

บทนำ

1.1 บทนำต้นเรื่อง

ในปัจจุบันงานทางด้านวิทยาศาสตร์และเทคโนโลยีทั้งหลายจำเป็นต้องปรับปรุงคุณภาพและพัฒนากระบวนการผลิตให้มีประสิทธิภาพและเป็นผลดียิ่งขึ้น ตลอดจนแก้ปัญหาต่างๆให้สำเร็จลุล่วงไปได้อย่างดี การวิเคราะห์ทางเคมีสมัยใหม่จำเป็นจะต้องทำแข่งกับเวลา นั่นคือ เทคนิคต่างๆที่ใช้ความจำวิเคราะห์ให้ได้ผลอย่างรวดเร็ว แม่นยำ และมีความเที่ยงสูง และบางเทคนิคจะต้องวิเคราะห์สารปริมาณน้อยๆได้ออกด้วย ซึ่งเทคนิคเหล่านี้ต้องใช้เครื่องมือต่างๆเข้ามาช่วยจึงจะได้ผลตามที่ต้องการ

เทคนิคและเครื่องมือที่ใช้ในการวิเคราะห์ในปัจจุบันมีหลายชนิดด้วยกัน เช่น เทคนิคไฮเพอร์ฟอร์มานลิกวิดクロมาโตกราฟี (High Performance Liquid Chromatography, HPLC) (Hernandez et al., 1994) เทคนิคไอโอนิคคลอร์มาโตกราฟี (Ion Chromatography) (Carrozzino and Righini, 1995) และเทคนิคスペกโตรโฟโตเมตรี (Spectrophotometry) (Holmes, 1997) เป็นต้น เทคนิคดังกล่าวถึงแม้จะให้ผลการวิเคราะห์ที่มีความแม่นยำ แต่เครื่องมือมีราคาแพง ขึ้นตอนยุ่งยาก ต้องเตรียมสารตัวอย่างก่อนการวิเคราะห์ และผู้ปฏิบัติต้องมีความรู้ความชำนาญ เทคนิคที่ให้ผลการวิเคราะห์รวดเร็วกว่าเทคนิคที่กล่าวมาแล้วคือ เทคนิคโฟล์วอินเจกชันอนาคต (Flow Injection Analysis, FIA) ซึ่ง Ruzicka ได้พัฒนาขึ้นในปี ค.ศ 1980 (Wang and Taha, 1991a) ซึ่งสามารถประยุกต์ใช้งานได้อย่างกว้างขวาง (Wang, 1992) ให้ผลการวิเคราะห์รวดเร็ว แม่นยำ ไม่ต้องผ่านขั้นตอนการเตรียมสารตัวอย่างที่ยุ่งยาก (Mattos et al., 1988) แต่เทคนิคนี้จะกำจัดสารละลายที่ใช้ทำการวิเคราะห์ออกจากระบบได้ยาก เมื่อออกจากทางที่สารละลายต้องผ่านมีขนาดเล็กมาก และระบบ FIA นี้ต้องใช้สารละลายหลายชนิด เพื่อทำปฏิกิริยา กับสารที่ต้องการวิเคราะห์ซึ่งต้องมีเส้นทางเดินของสารเป็นจำนวนมาก ซึ่งทำให้ต้องเสียค่าใช้จ่ายมากในส่วนนี้ (Wang, 1992) จะเห็นได้ว่าในการวิเคราะห์ทางเคมียังต้องการเทคนิคที่สะดวก รวดเร็ว และแม่นยำกว่าเทคนิคเหล่านี้

เทคนิคแบทช์อินเจกชันอนาคต (Batch Injection Analysis) (Wang and Taha, 1991a) เป็นเทคนิคที่พัฒนาขึ้นเพื่อช่วยแก้ปัญหาข้างต้น ประกอบด้วยตัวตรวจวัด (detector) อยู่ในภาชนะบรรจุสารละลาย ในกรณีนี้จะฉีดสารตัวอย่างที่มีปริมาตรอยู่ในช่วงไม่คลิตรลงบนตัวตรวจวัด สัญญาณที่ตรวจวัดได้อาจจะเกิดจากสารตัวอย่างทำปฏิกิริยา กับสารละลายที่อยู่รอบๆ

ตัวตรวจวัด หรือทำปฏิกริยา กับสารที่ต้องให้บันตัดตรวจวัด หรือในบางกรณีทำปฏิกริยา กับตัวตรวจวัด สารละลายที่อยู่รอบๆตัวตรวจวัดจะถูกคนตลอดเวลาเพื่อล้างสารตัวอย่างและผลิตภัณฑ์ที่เกิดจากปฏิกริยานั้นผ่านหัวน้ำของตัวตรวจวัดออกไป ทำให้ผิวน้ำของตัวตรวจวัดพร้อมที่จะทำการวิเคราะห์ในครั้งต่อไป เทคโนโลยีนี้ชื่อดีคือ ใช้เวลาในการวิเคราะห์น้อย กล่าวคือ สามารถทำการวิเคราะห์ได้ผลรวดเร็ว เช่น ตัวอย่างบางชนิดจะใช้เวลาเพียง 5 วินาที (Wang and Taha, 1991a) นอกจากนี้ยังใช้สารละลายตัวอย่างน้อย ระบบไม่สูญเสียช้าช้อน สะดวก และใช้ง่าย

จากข้อดีต่างๆนี้เองจึงได้มีรายงานอย่างต่อเนื่องเกี่ยวกับการใช้เทคโนโลยีร่วมกับตัวตรวจวัดหลายชนิด เช่น ตัวตรวจวัดแอมเพромิตริก (amperometric detector) (Wang and Taha, 1991a; Backofen *et al.*, 1998) ตัวตรวจวัดไฟเบอร์อปติกฟลูออโรเมต릭 (fiber-optic fluorometric detector) (Wang *et al.*, 1992) ตัวตรวจวัดโวลตัมเมตري (voltammetry detector) (Brett *et al.*, 1996a; Brett *et al.*, 1996b; Brett *et al.*, 1999) ตัวตรวจวัดความร้อน (thermal detector) (Thavarungkul *et al.*, 1999) และตัวตรวจวัดโพเทนชิโอลิเมต릭 (potentiometric detector) (Wang and Taha, 1991b; Chen *et al.*, 1993) เป็นต้น

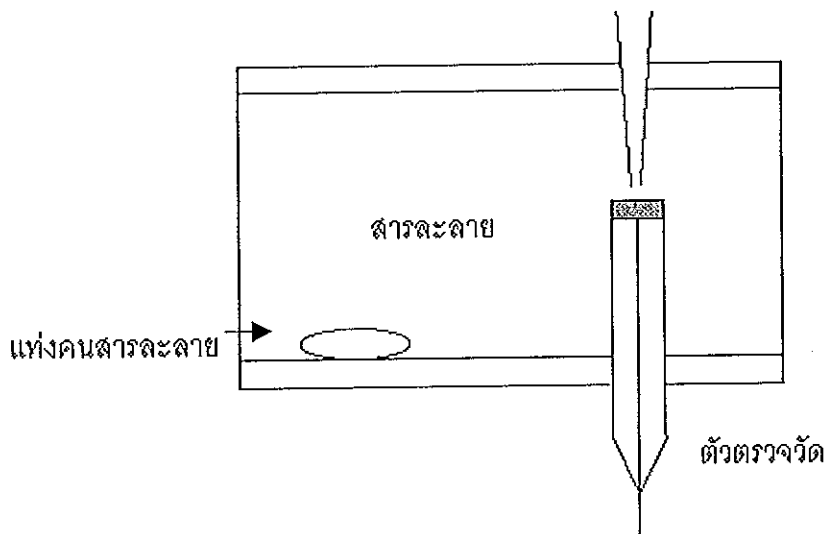
การใช้เทคนิคแบบห้องแยกชั้นอนาไลซิส ร่วมกับตัวตรวจวัดโพเทนชิโอลิเมติกจะใช้โดยอนซีเล็กที่ฟอเล็กโทรด (ion-selective electrode, ISE) ซึ่งเป็นตัวแปลงสัญญาณ (transducer) ที่นิยมใช้กันอย่างกว้างขวาง เพราะสามารถผลิตข้อมูลของอนซีเล็กที่ฟอเล็กโทรดที่สามารถใช้งานได้อย่างเหมาะสมสำหรับงานวิเคราะห์แต่ละอย่างโดยเฉพาะ (Skoog and West, 1963) เช่น การวิเคราะห์หน้าปริมาณคลอร์และฟลูออิเด (Wang and Taha, 1991b) ในรายงานระบุว่าสามารถทำการวิเคราะห์ได้ผลรวดเร็วประมาณ 720 ตัวอย่างต่อชั่วโมง ใช้สารตัวอย่างเพียง 50 ไมโครลิตร มีความแม่นยำ และมีความเที่ยงสูง ซึ่งหมายความว่าการนำมาประยุกต์ใช้วิเคราะห์หน้าปริมาณสารในปัจจุบันที่ต้องการการวิเคราะห์ให้สามารถทำการวิเคราะห์สารปริมาณน้อยๆได้ และได้ผลการวิเคราะห์ออกมากอย่างรวดเร็ว

งานวิจัยนี้ศึกษาเทคนิคแบบห้องแยกชั้นอนาไลซิสร่วมกับไอกอนซีเล็กที่ฟอเล็กโทรด โดยเลือกใช้ไอกอนซีเล็กที่ฟอเล็กโทรด สำหรับไนเตรท (NO_3^- -ISE) เป็นกรณีศึกษา โดยคาดว่าเทคนิคนี้จะพัฒนาเป็นวิธีวิเคราะห์ปริมาณไนเตรทที่สะดวก รวดเร็ว และจำเพาะเจาะจงต่อไนเตรทที่ต้องการจะวิเคราะห์

1.2 การตรวจเอกสาร

เทคนิคแบบห้องแยกชั้นอนโนไลซ์เป็นเทคนิคใหม่ที่พัฒนาขึ้นเมื่อปี ค.ศ. 1991 (Wang and Taha, 1991a) และได้มีการศึกษามาโดยต่อเนื่อง (Wang and Taha, 1991b; Wang et al., 1992; Chen et al., 1993; Brett et al., 1996a; Brett et al., 1996b; Brett et al., 1999; Thavarungkul et al., 1999) ข้อดีของเทคนิคนี้คือ การวิเคราะห์ได้ผลรวดเร็ว ใช้สารละลายตัวอย่างน้อย สะดวก และใช้งานง่าย

ในโครงปีเปตที่ใช้ในการฉีดสารตัวอย่าง



ภาพประกอบ 1 ระบบแบบห้องแยกชั้นอนโนไลซ์

ระบบแบบห้องแยกชั้นอนโนไลซ์ ประกอบด้วยตัวตรวจวัดอยู่ในภาชนะบรรจุสารละลายที่มีปริมาตรประมาณ 1 ลิตร (ภาพประกอบ 1) โดยสารละลายนี้จะเลือกให้ให้เหมาะสมกับปฏิกิริยาที่จะเกิดขึ้นที่ตัวตรวจวัด ในกรณีที่จะฉีดสารตัวอย่างที่มีปริมาตรอยู่ในช่วง 10-100 ไมโครลิตร ลงบนตัวตรวจวัดปฏิกิริยาที่เกิดขึ้นระหว่างสารตัวอย่างกับสารละลายหรือกับสารที่ตึงไว้บนตัวตรวจวัดและในบางครั้งอาจจะเป็นปฏิกิริยาที่เกิดขึ้นกับตัวตรวจวัด จะทำให้เกิดการเปลี่ยนแปลงซึ่งตัวตรวจวัดได้โดยตัวตรวจวัด หลังจากนั้นสารตัวอย่างที่เหลืออยู่และผลิตภัณฑ์ที่เกิดขึ้นจากปฏิกิริยาบนผิวน้ำของตัวตรวจวัดจะถูกถอดออกไป โดยสารละลายในภาชนะที่ถูกคนอยู่ตัดขาด เวลาวิธีนี้เป็นการทำให้ระบบพร้อมสำหรับการวิเคราะห์ครั้งต่อไป

ในรายงานครั้งแรกของเทคนิคแบบห้องเจกชันอนาไลซิส Wang และ Taha (1991a) ใช้ตัวตรวจวัดเคมีโรมะตริกในการวิเคราะห์ habprimaen เฟอโรไซยาไนด์ (ferrocyanide) โดยสารละลายในภาชนะคือ โพแทสเซียมคลอไรด์ 0.1 มิลลาร์ ในการใช้งานจะให้ศักย์ไฟฟ้าคงที่แก่ คาร์บอนเพสต์ดิสก์อิเล็กโทรด (Carbon-paste disk electrode) ซึ่งเป็นอิเล็กโทรดทำงาน และวัดกระแสไฟฟ้าที่เกิดขึ้นเมื่อจากปฏิกิริยาออกซิเดชัน-รีดักชันที่ผิวน้ำของอิเล็กโทรดโดยมีแพลทินัม อิเล็กโทรดเป็นอิเล็กโทรดช่วย (auxillary electrode) และซิลเวอร์-ซิลเวอร์คลอไรด์เป็นอิเล็กโทรดอ้างอิง โดยให้ความต่างศักย์ไฟฟ้าระหว่างอิเล็กโทรดทำงานและอิเล็กโทรดอ้างอิง +0.9 โวลต์ ในระบบนี้ใช้สารตัวอย่าง 20 'ไมโครลิตร เมื่อจัดไฟฟ้าให้กับอิเล็กโทรดทำงาน เฟอโรไซยาไนด์จะถูกออกซิไดส์ด้วยศักย์ไฟฟ้าที่ป้อนให้กับอิเล็กโทรดทำงาน กระแสไฟฟ้าที่เกิดขึ้นมีความสัมพันธ์เป็นเชิงเส้นกับความเข้มข้นของเฟอโรไซยาไนด์ โดยสามารถทำการวิเคราะห์ได้ 720 ตัวอย่างต่อชั่วโมง และให้ค่าเบี่ยงเบนมาตรฐานสัมพัทธ์ 1.6% ในรายงานเดียวกัน Wang และ Taha ยังได้ทดสอบระบบแบบห้องเจกชันอนาไลซิสในการวิเคราะห์ habprimaen ไฮdroquinone (hydroquinone) โดยข้อแตกต่างจากระบบอ้างอิงคือ สารละลายที่ใช้ในภาชนะจะเป็นฟอสเฟต บัฟเฟอร์ 0.1 มิลลาร์ และความต่างศักย์ไฟฟ้าระหว่างอิเล็กโทรดทำงานและอิเล็กโทรดอ้างอิงเป็น +1.1 โวลต์ พ布ว่ากระแสไฟฟ้าและความเข้มข้นมีความสัมพันธ์เชิงเส้นเดียวกัน โดยสัญญาณที่ได้มีค่าเบี่ยงเบนมาตรฐานสัมพัทธ์ 1.1%

ในปีต่อมา มีรายงานเกี่ยวกับการใช้เทคนิคแบบห้องเจกชันอนาไลซิสร่วมกับไฟเบอร์อปติกา ฟลูอโรมะตริก (Wang et al., 1992) เพื่อวิเคราะห์ habprimaen โรดามีนบี (rhodamine B) และ ไโรโบฟลาวิน (riboflavin) โดยอาศัยหลักการที่ไม่เลกุลของโรดามีนบีและไโรโบฟลาวินเมื่อถูกกลืนไฟต่อนจากแหล่งกำเนิดแสงแล้วจะเปลี่ยนจากสถานะพื้นไปสู่สถานะกระตุ้นซึ่งไม่เสถียร เมื่อไม่เลกุลกลับสู่สถานะพื้นจะปล่อยแสงฟลูอโเรสценซ์ โดยที่ครึ่งหนึ่งของเส้นใยไฟเบอร์อปติกใช้นำแสงที่ใช้ในการกระตุ้นและอีกครึ่งหนึ่งใช้รับแสงฟลูอโเรสценซ์ที่เกิดขึ้น แหล่งกำเนิดแสงที่ใช้คือ ชีนอนอาร์กแอลมี 500 วัตต์ และตรวจวัดความเข้มของแสงฟลูอโเรสценซ์ของโรดามีนบีและ ไโรโบฟลาวินที่ความยาวคลื่น 568.7 และ 575.5 นาโนเมตร ตามลำดับ ในการทดลองใช้น้ำประปาจากไอก้อน และฟอสเฟตบัฟเฟอร์ 0.05 มิลลาร์ pH 7.4 เป็นสารละลายในการวิเคราะห์ โรดามีนบี และไโรโบฟลาวิน ตามลำดับ และปริมาณของตัวอย่างคือ 25 'ไมโครลิตร พ布ว่าความเข้มของแสงฟลูอโเรสценซ์เปลี่ยนต่างกับปริมาณโรดามีนบีและไโรโบฟลาวินและสามารถวิเคราะห์สารตัวอย่างได้ 120-500 ตัวอย่างต่อชั่วโมง โดยมีค่าเบี่ยงเบนมาตรฐานสัมพัทธ์ 2-3% และขีด

จำกัดต่ำสุดในการตรวจวัดโลหะมีนบี ของระบบป้องกันที่ 1 ไมโครไมลาร์ และ 1 มิลลิไมลาร์ ตามลำดับ

สำหรับการใช้เทคนิคแบบห้ออินเจกชันอนไลน์ร่วมกับระบบแอดิกสทิบปิงโอลแทมเมตري (Anodic Stripping Voltammetry, ASV) (Brett et al., 1996a) ประกอบด้วยอิเล็กโทรดทำงานที่ทำจากการเคลือบปะอุบทนก拉斯ีคาร์บอน โดยมีชั้วคาโนเมล เป็นอิเล็กโทรดอ้างอิง และแพลทินัมเป็นอิเล็กโทรดช่วย Brett และคณะใช้ระบบนี้วิเคราะห์โลหะหนักในตัวอย่างน้ำทึบซึ่งประกอบด้วยแคนเดเมียม ทองแดง ตะกั่ว และสังกะสี โดยสารละลายที่ใช้คือ โพแทสเซียมไนเตรท 0.1 ไมลาร์ที่มีกรดไนตริก 0.002 ไมลาร์ เป็นสารละลายอิเล็กโทรไลต์ที่ช่วยทำให้ขีดจำกัดของศักย์ไฟฟ้าบวกในการเกิดออกซิเดชันเพิ่มขึ้น การวิเคราะห์เริ่มด้วยการจัดสารตัวอย่างลงบนอิเล็กโทรดทำงานและให้ศักย์ไฟฟ้าแก่อิเล็กโทรดทำงาน -1.0 โวลต์ เป็นเวลา 60 วินาที เพื่อทำให้ไอออนของโลหะถูกดึงดูด ระหว่างนี้สารละลายจะถูกคนตกลอดเวลา ไอออนของโลหะหนักทั้งสี่จะเกิดปฏิกิริยา รีดักชันเก่าติดที่อิเล็กโทรดทำงาน จากนั้นหยุดคนสารละลายเป็นเวลา 30 วินาที และลดศักย์ไฟฟ้าด้วยอัตรา 25 มิลลิโวลต์ต่อวินาทีที่กระแสไฟฟ้าแอนไดกจะเกิดขึ้นอย่างรวดเร็วที่ศักย์ไฟฟ้าประมาณ -1.3 โวลต์ และกระแสไฟฟ้าจะค่อยๆ เพิ่มขึ้นเมื่อศักย์ไฟฟ้าลดลง กระแสไฟฟ้าที่เกิดขึ้นจะเปลี่ยนตรงกับความเข้มข้นของไอออน กระแสไฟฟ้าจะเพิ่มขึ้นจนถึงจุดสูงสุดเมื่อโลหะที่ขึ้นมาออกซิไดส์จนหมดเป็นพิคของกระแสไฟฟ้า ความสูงของพิคของโลหะทั้งสี่ที่แยกออกจากกันอย่างชัดเจนในโอลแทมโมแกรมจะเป็นสัดส่วนโดยตรงกับมวลของโลหะที่เก็บน้ำอิเล็กโทรดทำงาน และปริมาณของแคนเดเมียม สังกะสี ทองแดง และตะกั่ว หาได้จากการเทียบค่าความสูงของพิคของสารตัวอย่างกับทราบมาตรฐานที่ทำไว้แล้ว วิธีนี้มีขีดจำกัดต่ำสุดในการตรวจวัดความเข้มข้นของสังกะสี แคนเดเมียม ตะกั่ว และ ทองแดงที่ผสมอยู่ในตัวอย่างน้ำทึบเท่ากับ 3×10^{-8} ไมลาร์ 1×10^{-7} ไมลาร์ 3×10^{-7} ไมลาร์ และ 2×10^{-8} ไมลาร์ ตามลำดับ

ต่อมา Brett และคณะได้พัฒนาระบบแบบห้ออินเจกชันอนไลน์ร่วมกับระบบแอดิกสทิบปิงโอลแทมเมตري (Brett et al., 1996b) เพื่อเพิ่มขีดความสามารถในการวิเคราะห์ โดยทำให้ความหนาของแผ่นฟิล์มของปะอุทและระยะทางการแพร่บันผิวน้ำอิเล็กโทรดทำงานน้อยกว่าเดิม ทำให้เวลาที่ใช้ในการเกิดปฏิกิริยาที่ผิวน้ำของอิเล็กโทรดทำงานลดลงจากเดิมที่ใช้เวลา 60 วินาทีเหลือเพียง 30 วินาที และโอลแทมโมแกรมพิคที่ได้จะมีลักษณะแคบและสูง ทำให้ขีดจำกัดในการตรวจวัดแคนเดเมียมและตะกั่วลดลงเป็น 2×10^{-9} ไมลาร์ และ 4×10^{-9} ไมลาร์ ตามลำดับ

นอกจากนี้ Brett และคณะ (Brett et al., 1999) ยังได้พัฒนาแบบห้ออินเจกชันอนไลน์เพื่อตรวจวัดโลหะหนัก โดยใช้สแควร์เวฟแอดิกสทิบปิงโอลแทมเมตري (Square Wave Anodic

Stripping Voltammetry, BIA-SWASV) เป็นระบบตรวจวัดโดยพัฒนาในส่วนของอิเล็กโทรด ทำงานให้มีความหนาของแผ่นพิล์มปะอุทเพียง 1 ไมโครเมตร พบร่วมระบบมีความจำเพาะเจาะจงของการวิเคราะห์เพิ่มขึ้น ปริมาณของสารตัวอย่างที่ใช้ลดลงจาก 100 ไมโครลิตรเหลือเพียง 50 ไมโครลิตร (Brett et al., 1996b) และไม่ต้องมีขั้นตอนการเตรียมสารตัวอย่าง และยังคงมีขีดจำกัดในการวัดแคนเดเมียมและตะกั่วในช่วง 2-4 นาโนโมลาร์ (nm) และ 4-5 นาโนโมลาร์ ตามลำดับ

นอกจากนี้ได้มีการใช้เทคนิคแบบทซ์อนเจกชันอนาคตอินไซร์ร่วมกับเอนไซม์ในการวิเคราะห์หาปริมาณซูโคโรส โดยใช้เอนไซม์อินเวอร์เทส (invertase) ตัวบ่งผิวน้ำของเทอร์มิสเตอร์ (thermistor) (Thavarungkul et al., 1999) ซึ่งตรวจวัดความร้อนที่เกิดจากการที่เอนไซม์เร่งปฏิกิริยาไอกิจกรรมของซูโคโรส โดยสารละลายที่ใช้คือ อะซีเตทบัฟเฟอร์ 0.01 มิลลาร์ pH 4.80 ซึ่งเป็น pH ที่เหมาะสมในการทำงานของเอนไซม์อินเวอร์เทส และทำการทดลองที่ 20 องศาเซลเซียส เนื่องจากระบบมีวัดปริมาณความร้อนที่เกิดขึ้นจากปฏิกิริยานิวเคลียร์ในรูปของการเปลี่ยนแปลงอุณหภูมิ เพื่อบ่งบอกไม่ให้ความร้อนที่เกิดขึ้นแพร่กระจายไปยังสารละลายที่อยู่ในภาชนะเร็วเกินไป จึงใช้ปลอกเทอร์มิสเตอร์ยาว 15 มิลลิเมตร สวมคลุมเทอร์มิสเตอร์ตรวจวัดโดยที่ปลอกเทอร์มิสเตอร์จะเจาะรูไว้เพื่อให้สารตัวอย่างและผลิตภัณฑ์ที่เกิดจากปฏิกิริยาแพร่ออกจากผิวน้ำของเทอร์มิสเตอร์ได้ ในงานนี้จึงใช้สารละลายตัวอย่าง 25 ไมโครลิตร สามารถวิเคราะห์สารละลายตัวอย่างได้ 20-30 ตัวอย่างต่อชั่วโมง และให้วิ่งการตอบสนองเชิงเส้นสำหรับซูโคโรส 0.10-0.50 มิลลาร์ และทดสอบการใช้ระบบนี้ในการวิเคราะห์ปริมาณซูโคโรสในน้ำอ้อยพบว่าให้ผลการวิเคราะห์ตรงกับการวิเคราะห์โดยวิธีมาตรฐานอื่นๆ โดยสารตัวอย่างที่ใช้ค่อนข้างดีในต้นที่ไม่ผ่านขั้นตอนการเตรียมตัวอย่าง

สำหรับการใช้เทคนิคแบบทซ์อนเจกชันอนาคตอินไซร์ร่วมกับตัวตรวจวัดโพเทเนซิโอมetri ก็จะใช้ไอคอนซีเล็กที่ฟอเล็กโทรด ในระบบจะประกอบด้วยไอคอนซีเล็กที่ฟอเล็กโทรดซึ่งมีความจำเพาะเจาะจงกับไอคอนที่ต้องการวัดและอิเล็กโทรดอ้างอิง โดยศักย์ไฟฟ้าที่ได้จากไอคอนซีเล็กที่ฟอเล็กโทรดจะมีความสัมพันธ์กับความเข้มข้นของไอคอน ระบบที่มีผู้ศึกษามาแล้วคือการหาปริมาณคลอไรด์และฟลูออไรด์ (Wang and Taha, 1991b) ใน การวิเคราะห์หาปริมาณคลอไรด์ใช้สารละลายโพแทสเซียมไดไฮดรอเจนฟอสเฟต 0.05 มิลลาร์ pH 6.0 ที่มีโซเดียมไนเตรท 0.25 มิลลาร์ ในระบบนี้ใช้สารตัวอย่าง 50 ไมโครลิตร ค่าศักย์ไฟฟ้าที่รัดได้โดยคลอไรด์ไอคอนซีเล็กที่ฟอเล็กโทรดจะขึ้นอยู่กับความเข้มข้นของคลอไรด์ไอคอน ใช้ระบบนี้วิเคราะห์หาปริมาณคลอไรด์ในกาแฟ น้ำมะเขือเทศกระป่อง และน้ำประปา พบร่วมกับการตอบสนองเชิงเส้นในช่วง 0.5-10 มิลลิมลาร์ ในรายงานเดียวกันยังได้ทดสอบการหาปริมาณฟลูออไรด์ด้วย โดยข้อแตกต่างจากระบบข้างต้นคือใช้

สารละลายน้ำที่ประกอบด้วยโซเดียมอะซิติก 0.2 มิลลาร์ กรดอะซิติก 0.17 มิลลาร์ โซเดียมคลอไรด์ 0.35 มิลลาร์ และ 1,2 diaminocyclohexane – N,N,N',N' – tetraacetic acid (DCTA) 1 กรัมต่อ ลิตร พบว่าค่าคีกัลไฟฟ้าที่วัดได้โดยฟลูออโรดีโอกอนซีเล็กที่ฟอเล็กโกรดจะขึ้นอยู่กับความเข้มข้นของฟลูออโรดีโอกอน และให้ช่วงการตอบสนองเชิงเส้นในช่วง 10-5000 ไมโครมิลลาร์ และขึ้นอยู่กับตัวสูดในการตรวจวัด คือ 2 ไมโครมิลลาร์

นอกจากนี้ Chen และคณะ (Chen et al., 1993) ได้นำเทคนิคแบบซึ่อกันออกน้ำไลซิสมานา ให้ในกระบวนการปริมาณโพแทสเซียมและโซเดียมด้วยไอกอนซีเล็กที่ฟอเล็กโกรดเช่นกัน โดยใช้สารละลายน้ำที่โซเดียมคลอไรด์ 0.1 มิลลาร์ที่มีโซเดียมคลอไรด์ 9.8 มิลลิมิลลาร์ เป็นสารละลายน้ำในภาชนะ ในการวิจัยนี้ใช้สารตัวอย่าง 100 ไมโครลิตร และได้ขึ้นอยู่กับตัวสูดในการตรวจวัด 10^{-5} มิลลาร์

จากการวิเคราะห์โดยใช้เทคนิคแบบซึ่อกันออกน้ำไลซิสมานา สามารถกับตัวตรวจวัดต่างๆ ที่กล่าวมาแล้ว สามารถสรุปได้ว่าเทคนิคนี้สามารถทำการวิเคราะห์ได้ง่าย สะดวก รวดเร็ว มีความถูกต้องและแม่นยำ ใช้สารตัวอย่างในการวิเคราะห์ได้อย่างง่ายดาย งานวิจัยนี้จึงมีแนวคิดในการศึกษาเทคนิคแบบซึ่อกันออกน้ำไลซิสโดยเลือกใช้ไอกอนซีเล็กที่ฟอเล็กโกรดซึ่งมีเมมเบรนเลือกผ่าน (selective membrane) เป็นตัวจำกัดชนิดของไอกอนที่ต้องการวิเคราะห์ (Linder et al., 1988)

ไอกอนซีเล็กที่ฟอเล็กโกรดเป็นตัวตรวจวัดแบบโพเทนชิโอล เมตริกที่ทำงานภายใต้สภาวะสมดุล (Berube and Buck, 1989) โดยวัดค่าคีกัลไฟฟ้าที่เกิดขึ้นที่อิเล็กโกรดทำงานเมื่อเทียบกับอิเล็กโกรดอ้างอิงเนื่องจากความแตกต่างของelectrode ของไอกอนที่อยู่สองด้านของเมมเบรน โดยค่าของคีกัลไฟฟ้า (E) จะมีความสัมพันธ์กับelectrode ของไอกอนในสภาวะสมดุลตามสมการ

$$E = Q + 2.303 \frac{RT}{zF} \log a_i$$

โดย Q คือค่าคงที่เนื่องจากปัจจัยต่างๆ ของไอกอนซีเล็กที่ฟอเล็กโกรด (ดูรายละเอียดหัวข้อ 2.3.1) R เป็นค่าคงที่ของแก๊ส T คืออุณหภูมิ (องศาเคลวิน) z คือประจุของไอกอน F คือค่าคงที่ของฟาราเดีย a_i คือ แอดดิทิวติของไอกอนที่ต้องการวิเคราะห์ (Wang, 1984)

การที่ไอกอนซีเล็กที่ฟอเล็กโกรดมีเมมเบรนเลือกผ่านทำให้มีความจำเพาะเจาะจงระดับหนึ่ง สามารถตอบสนองอย่างรวดเร็วและสม่ำเสมอต่อการเปลี่ยนแปลงความเข้มข้นของไอกอน การใช้งานง่าย สะดวก ผลการวัดถูกต้องแม่นยำ (Koncki et al., 1999) ในระบบแบบซึ่อกันออกน้ำไลซิสที่ใช้ในเดวทเป็นกรณีศึกษา เนื่องจากประเทศไทยเป็นประเทศสิกรรมมีการใช้ปุ๋ยซึ่งมีสาร

ประกอบในตรรженที่จัดว่าเป็นสารอาหารที่สำคัญสำหรับพืชเป็นองค์ประกอบซึ่งอยู่ในรูปสารประกอบอินทรีย์ในตรรжен เช่น NH_4^+ , NO_2^- , NO_3^- (อุดมผล พีชนีเพนูลย์, 2535) สาเหตุที่สารประกอบเหล่านี้เข้ามายืนหนาทในน้ำเพาะการให้ปูย์ในปริมาณที่มากเกินความต้องการของพืช เมื่อผ่านตกจะถูกน้ำที่ไหลผ่านดินชะปะ เป็นเหตุให้น้ำได้ดินส่วนมากมีปริมาณในเดรทสูง ซึ่งปริมาณในเดรทมีความสำคัญต่อคุณภาพน้ำ โดยการเพิ่มปริมาณในเดรทในน้ำมีผลทำให้เกิดปรากฏการณ์ ยูโรฟิเคชัน (eutrophication) (Aylott et al., 1997) ซึ่งเป็นปรากฏการณ์ที่เกิดจากสิ่งมีชีวิตในน้ำ โดยเฉพาะพืชน้ำ สาหร่าย มีการเจริญเติบโตอย่างรวดเร็ว ทำให้ออกซิเจนในน้ำถูกนำมาใช้ โดยไม่มีการทดแทน จึงเป็นสาเหตุทำให้เกิดน้ำเสียขึ้น (Kanatharana and Chantanawatana, 1989) และถ้าน้ำมีปริมาณในเดรทมากเกินไปเมื่อบริโภคเข้าไปแล้วจะเป็นอันตรายต่อร่างกาย ทำให้เกิดอาการที่เรียกว่า โคนซีชี (anoxia) (เพริศพิชญ์ คงชาญ, 2533) หรือเมหธีโนกลบิน อเมเนีย (methaemoglobin anemia) หรือ Blue Baby Syndrome (Glazier et al., 1998) ซึ่งเกิดได้โดยง่ายกับหากอยู่น้อยกว่า 6 เดือน (Groeneveld et al., 1998) จากความสำคัญของปริมาณในเดรทดังกล่าวข้างต้น ทำให้มีการพัฒนาเทคนิคที่ใช้ในการวิเคราะห์หาปริมาณในเดรทขึ้น เพื่อให้ได้ผลการวิเคราะห์รวดเร็ว ถูกต้อง และแม่นยำ การหาปริมาณในเดรทด้วยการใช้ไอคอนซีเล็กที่พิเศษเป็นวิธีหนึ่งที่ให้ผลการวิเคราะห์รวดเร็ว (Langmuir and Jacobson, 1970) สามารถทำการวิเคราะห์สารละลายตัวอย่างในเดรทได้ 30-40 ตัวอย่างต่อชั่วโมง ช่วงของการตรวจวัดกรั่งอยู่ในช่วง 1-6000 พีพีเอ็ม (ppm) (Hara and Okazaki, 1985) และสามารถตรวจวัดปริมาณในเดรทในน้ำได้ในช่วง 0.8-4.7 พีพีเอ็ม การใช้งานสะดวก ไม่ต้องเตรียมสารตัวอย่าง อย่างไรก็ตามการวัดโดยการใช้ ไอคอนซีเล็กที่พิเศษ ไม่สามารถจัดสิ่งรบกวนที่มีความไวต่อไอคอนซีเล็กที่พิเศษและไม่สามารถวัดสารตัวอย่างได้อย่างต่อเนื่อง เนื่องจากการใช้ไอคอนซีเล็กที่พิเศษและไม่สามารถวัดสารตัวอย่างได้อย่างต่อเนื่อง ฉะนั้นเมื่อเปลี่ยนสารละลายตัวอย่างในการตรวจวัดทุกครั้ง จึงต้องล้างหัวอิเล็กโทรดก่อนการตรวจวัดในครั้งต่อไป หากที่กล่าวมาแล้วจะเห็นว่า ในการวิเคราะห์ปริมาณในเดรท ด้วยไอคอนซีเล็กที่พิเศษและไม่สามารถวัดสารตัวอย่างในการตรวจวัดทุกครั้ง จึงต้องล้างหัวอิเล็กโทรดก่อนการตรวจวัดในครั้งต่อไป จากการที่กล่าวมาแล้วจะเห็นว่า ในการวิเคราะห์ปริมาณในเดรท ด้วยไอคอนซีเล็กที่พิเศษและไม่สามารถวัดสารตัวอย่างในการตรวจวัดทุกครั้ง จึงต้องล้างหัวอิเล็กโทรดก่อนการตรวจวัดด้วยไอคอนซีเล็กที่พิเศษและไม่สามารถวัดสารตัวอย่างในการตรวจวัดทุกครั้ง จึงคาดว่าเทคนิคแบบที่อินเจกชันไลซิสนี้ จะสามารถพัฒนาเป็นวิธีการวิเคราะห์ปริมาณในเดรท ที่สะดวก รวดเร็ว และจำเพาะเจาะจง

1.3 วัตถุประสงค์

1. ศึกษาหลักการและปัจจัยต่างๆ ที่มีผลต่อการวิเคราะห์ในเทราท์โดยเทคนิคแบบชื่นเจกชันอนาคติส
2. ทดสอบเทคนิคนี้โดยการวิเคราะห์หาปริมาณสารตัวอย่างจากสารละลายมาตรฐาน

1.4 ประโยชน์ที่คาดว่าจะได้รับ

1. เพื่อให้ได้วิธีการหาปริมาณสารที่สะดวกและรวดเร็ว
2. เป็นข้อมูลพื้นฐานในการศึกษาวิจัยและปรับปรุงเทคนิค นี้ เพื่อจะนำไปใช้ประโยชน์ต่อไป

1.5 ขอบเขตของการศึกษา

1. ศึกษาปัจจัยต่างๆ ที่มีผลต่อเทคนิคแบบชื่นเจกชันอนาคติส
2. วิเคราะห์หาปริมาณในเทราท์ในสารละลายมาตรฐาน

บทที่ 2

วิธีการวิจัย

2.1 วัสดุ

2.1.1 สารเคมี

- โซเดียมไดไฮดรอเจนฟอสเฟต ($\text{NaH}_2\text{PO}_4 \cdot \text{H}_2\text{O}$, AR Grade : Merck, Germany)
- โพแทสเซียมไนเตรท (KNO_3 , AR Grade : Baker Analyzed)
- โพแทสเซียมคลอไรด์ (KCl , AR Grade : Baker Analyzed)
- โพแทสเซียมบอร์ไมด์ (KBr , AR Grade : Baker Analyzed)

2.2 เครื่องมือและอุปกรณ์

2.2.1 อุปกรณ์ในการวิเคราะห์ด้วยระบบแบทช์อินเจกชันนาลีซิส

- ชุดอิเล็กโทรด ประกอบด้วยไนเตรทซีเล็กทีฟอิเล็กโทรด(ISE25NO3,Radiometer Copenhagen, France) และอิเล็กโทรดอ้างอิงซิลเวอร์-ซิลเวอร์คลอไรด์ (Radiometer Copenhagen, France) โดย อิเล็กโทรดหั้งสองนี้จะต่อ กับอุปกรณ์วัด (PHM 250 Ion Analyzer, Radiometer Copenhagen, France)
- เครื่องคนสารละลาย (Magnetic stirrer, Framo-Geratetechnik M 21/1, Germany)
- แท่งคนสารละลาย (String bar)
- ปลอกอิเล็กโทรด ทำจากพีวีซี (PVC) สำหรับ symb อิเล็กโทรดเพื่อลดการแพร่ของสารละลายตัวอย่าง
- เครื่องบันทึกผล (Chart recorder, Single channel, Linear Instrument Company, U.S.A.)

2.2.2 อุปกรณ์ฉีดสารตัวอย่าง

- ไนโตรบีเปตที่มีระบบฉีดอัตโนมัติ (Eppendorf micro pipette EDOS 5221, Germany)

2.2.3 อุปกรณ์อื่นๆ

- เครื่องชั่ง

- Mettler Model AE 260 Delta Range : Mettle, U.S.A.

- Mettle PJ 300 : Mettle, Switzerland

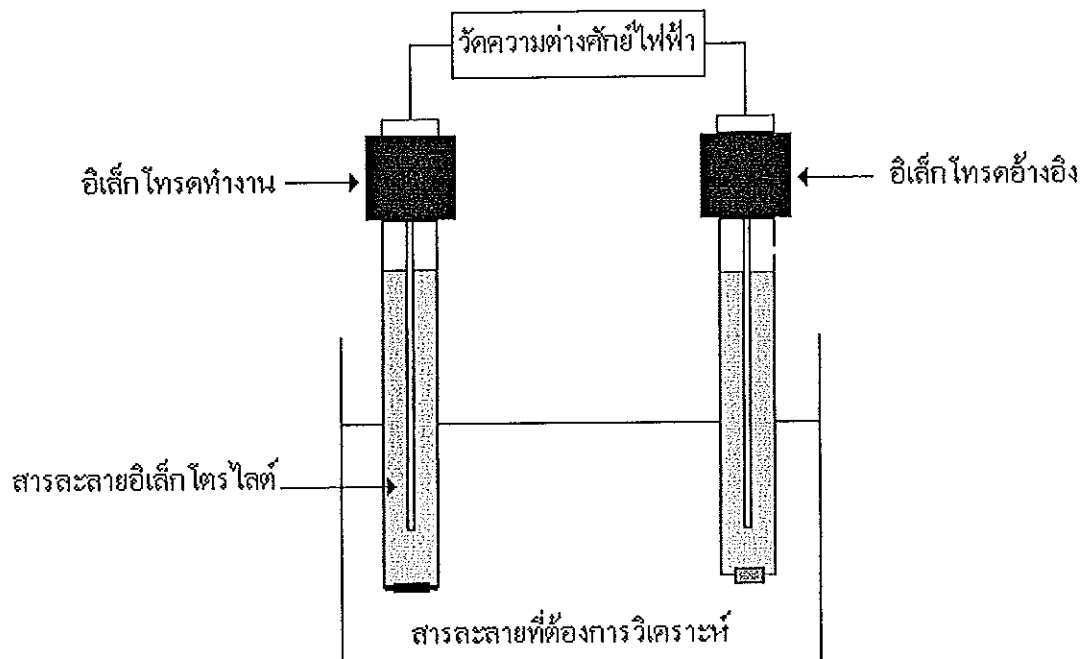
- เครื่องแก้ว (ไพรекс) (Pyrex)

2.3 ระบบการทดลอง

2.3.1 หลักการวัดโดยไอโอนซีเล็กทีฟอเล็กโทรด

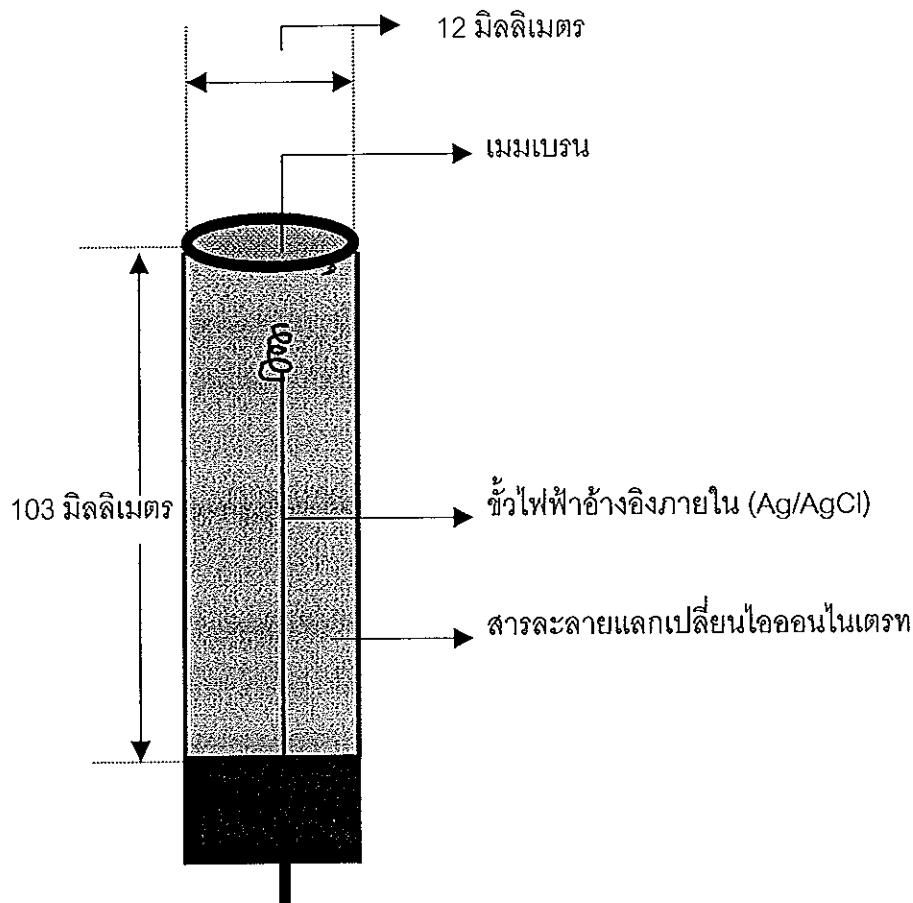
ในระบบโพเทนเซิเมติกข้อมูลเกี่ยวกับปริมาณสารที่ต้องการวัดจะได้จากการวัดค่าความต่างศักย์ไฟฟ้าระหว่างอิเล็กโทรดสองอัน อุปกรณ์ที่จำเป็นประกอบด้วยไอโอนซีเล็กทีฟอเล็กโทรด อิเล็กโทรดอ้างอิง และชุดเครื่องมือที่ใช้วัดความต่างศักย์ไฟฟ้าระหว่างอิเล็กโทรดทั้งสอง ไอโอนซีเล็กทีฟอเล็กโทรดจะเป็นอิเล็กโทรดทำงานที่ไม่ต้องไอโอนที่ต้องการวิเคราะห์ปริมาณ ส่วนอิเล็กโทรดอ้างอิงจะไม่เปลี่ยนแปลงตามความเข้มข้นของไอโอนในสารละลายและมีค่าศักย์ไฟฟ้าคงที่ ในการวัดอิเล็กโทรดทั้งสองจะจุ่มอยู่ในสารละลายตัวอย่าง และเรียกกระบวนการนี้ว่าเซลล์ไฟฟ้าเคมี (gapประกอบ 2) ค่าศักย์ไฟฟ้าที่ได้จากอิเล็กโทรดทำงานเทียบกับอิเล็กโทรดอ้างอิงจะเปรียบเทียบกับaccoตัวติดของไอโอนในสารละลายตัวอย่าง อิเล็กโทรดทำงานจะเป็นmembraneอิเล็กโทรดที่สามารถตอบสนองอย่างรวดเร็วและสม่ำเสมอต่อการเปลี่ยนแปลงความเข้มข้นของไอโอน หรือกลุ่มไอโอน ของสารที่ต้องการวิเคราะห์ (Lindner et al., 1988) อย่างไรก็ตามmembraneชนิดหนึ่งสามารถตอบสนองต่อไอโอนได้หลายชนิด แต่ความไวต่อไอโอนแต่ละชนิดจะแตกต่างกัน (Thomas, 1994) ศักย์ไฟฟ้าที่วัดได้จะเป็นผลเนื่องมาจากการไอโอนที่membraneตอบสนองให้มากที่สุดนั่นเอง การเรียกชื่ออิเล็กโทรดชนิดนี้จึงให้คำว่า ไอโอนซีเล็กทีฟอเล็กโทรด (Frant, 1994)

ปัจจุบันมีไอโอนซีเล็กทีฟอเล็กโทรด สำหรับไอโอนหลายชนิด เช่น พลูอิโดไอโอน (Wang and Taha, 1991a) คลอร์อิโดไอโอน (Hara et al., 1995) แคลเซียมไอโอน (Khalil et al., 1995) โพแทสเซียมไอโอน(Chen et al., 1993) โซเดียมไอโอน (Ohki et al., 1994) ในเดรา ไอโอน (Ebdon et al., 1991) และไฮโดรเจนไอโอน (อวัชชัย ศรีวิบูลย์, 2539) โดยลักษณะทางกายภาพของmembraneมักจะใช้เป็นตัวกำหนดชนิดของไอโอนซีเล็กทีฟอเล็กโทรด ในบางกรณีจะเรียกชื่ออิเล็กโทรดตามลักษณะทางกายภาพของmembrane เช่น ลิควิดmembraneอิเล็กโทรด (liquid membrane electrode) กลาสอิเล็กโทรด (glass electrode หรือ glass membrane electrode) โซลิดสเตทmembraneอิเล็กโทรด (solid-state membrane electrode)



ภาพประกอบ 2 เซลล์ไฟฟ้าเคมีสำหรับวัดโดยไฟแทนซิโอมิตริก

ในงานวิจัยนี้ใช้ในเทอร์เชลล์เลกที่พ่อเล็กให้ดูซึ่งเป็นอิเล็กโทรดชนิดตัววิดเมมเบรน (ภาพประกอบ 3) แผ่นเมมเบรนจะติดอยู่ที่ส่วนปลายสุดของอิเล็กโทรด ตัวอิเล็กโทรดเป็นทรงกระบอกทำด้วยพลาสติก เส้นผ่าศูนย์กลาง 12 มิลลิเมตร ความยาว 103 มิลลิเมตร ภายในมีชั้นไฟฟ้าอ้างอิงชิลเวอร์-ชิลเวอร์คลอร์ไวด์ ที่ล้อมรอบด้วยสารละลายน้ำแลกเปลี่ยนไอออนในเทอร์ฯ โดยเมมเบรนซึ่งอยู่ส่วนปลายสุดของทรงกระบอกจะเป็นส่วนกั้นสารละลายภายนอกไว้ และเป็นส่วนที่สัมผัสกับสารตัวอย่าง



ภาพประกอบ 3 ลักษณะของไนเตรทซีเล็กที่ฟอเล็กโตรดที่ใช้ในงานวิจัย

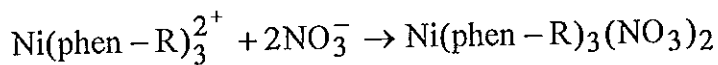
ภายในลิคิวิดเมมเบรนมีสารที่แลกเปลี่ยนไอออนได้ (ion exchanger) ซึ่งจะไวต่อไอออนชนิดหนึ่งๆโดยเฉพาะ สารอินทรีย์ที่แลกเปลี่ยนไอออนนี้จะแทรกอยู่ในเนื้อของเมมเบรนที่ทำจากโพลีไวนิลคลอไรด์ (PVC) (ศุภชัย ใช้เทียมวงศ์, 2541) สารแลกเปลี่ยนไอออนส่วนใหญ่จะเป็นสารเชิงซ้อนเกิดจากสารประเภทโลหะทوانซิหันกับคลีแทนด์ที่เป็นสารอินทรีย์ไม่เลกุลใหญ่จับยึดติดกับเอนไซคอมนิที่เจาะจง ซึ่งจะสามารถยึดตัวทำละลายอินทรีย์ (Merritt and Settle, 1981) โดยส่วนที่แสดงคุณสมบัติในการแลกเปลี่ยนไอออนกับสารตัวอย่างคือส่วนของสารประกอบอินทรีย์ที่เจาะจงไอกอน (เพ็ญศรี ทองนพเนื้อ, 2539)

ไนเตรทซีเล็กที่ฟอเล็กโตรดที่ใช้ในงานวิจัยนี้เป็นของบริษัทเดติโอมิเตอร์ โคเพนไฮเคน (Radiometer, Copenhagen) ซึ่งคุณมีการใช้ระบุเพียงว่าช่องเหลวที่แทรกอยู่ภายในเมมเบรน เป็นตัวพาไอกอนไนเตรท (nitrate ion carrier) แต่จากการตรวจสอบพบว่าไอกอนซีเล็กที่ฟอเล็ก

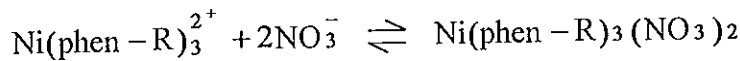
ทรวดสำหรับในเทรอทมีการใช้สารอินทรีย์ที่จะจะต่อในเทรอทไอกอนหลาຍชนิดด้วยกันเช่น Orion 92-07 ใช้ Tris (4,7-diphenyl-1,10-phenanthroline)nickel(II) ละลายใน p-mitrocymene (Hulanicki et al., 1974) Orion 92-07-02 ใช้ tetraoctylammonium nitrate ละลายใน octyl alcohol ส่วน Corning 477316 ใช้ dimethylhexadecylbenzylammonium-nitrate ละลายใน decyl alcohol (Skoog and west, 1963) Radiometer ใช้ tris(bathophenanthroline)nickel (II) nitrate ละลายใน 2-nitrophenyl phenyl ether (Maj-Zurawska et al., 1982) อย่างไรก็ตามหลักการของการแยกเปลี่ยนไอกอนจะคล้ายคลึงกัน ในรายละเอียดของลิคิวิดเมมเบรนที่จะกล่าวถึงต่อไปจะพิจารณาสารแยกเปลี่ยนไอกอนในเทรอทที่มักจะข้างถึงอิกนิดหนึ่งคือสารประกอบ nickel (II) 1,10 – phenanthroline (Merritt and Settle, 1981) เที่ยวนในรูปสารประกอบคือ $\text{Ni}(\text{phen}-\text{R})_3^{2+}$ (ฐานพังช์ สุวัจตนาณ์, 2531)

ในการวัดปริมาณไอกอนเทรอทจะใช้ไอกอนซีเล็กที่ฟื้นตัวกับอิกนิดที่ต้องอิงชิลเวอร์-ชิลเวอร์คลอไรด์ เพื่อให้ควบรวมของเซลล์ไฟฟ้าเคมี โดยอิกนิดทรวดอ้างอิงนี้มีค่าศักย์ไฟฟ้าคงที่ นั่นคือไม่เปลี่ยนแปลงตามการเปลี่ยนแปลงของกระแสไฟฟ้าในวงจรและไม่ขึ้นกับส่วนประกอบของสารตัวอย่าง (เพญศรี ทองนพเนื้อ, 2539) ดังนั้นผลต่างของศักย์ไฟฟ้าระหว่างอิกนิดทรวดทำงานและอิกนิดทรวดอ้างอิงที่ได้จากอุปกรณ์วัดจะแสดงการเปลี่ยนแปลงศักย์ไฟฟ้าที่เกิดขึ้นที่อิกนิดทรวดทำงาน

ศักย์ไฟฟ้าของลิคิวิดเมมเบรนอิกนิดที่ต้องการวัดและสารแยกเปลี่ยนไอกอน (liquid-ion exchanger) ที่จะจะต่อในเทรอทไอกอน กลไกที่เกิดขึ้นพกจะอธิบายได้ดังนี้ ในการเตรียมอิกนิดทรวดก่อนที่จะใช้วัดจะจุ่มอิกนิดทรวดลงในสารละลายโพแทสเซียมในเทรอท สารอินทรีย์ภายในเมมเบรน $\text{Ni}(\text{phen}-\text{R})_3^{2+}$ จะจับตัวกับไอกอนเกิดเป็นแกลีของไอกอน



ในการวัดจะจุ่มอิกนิดทรวดในสารละลายที่ต้องการวิเคราะห์ จะเกิดสมดุลของการแตกตัว (dissociation equilibrium) ที่รอยต่อของเมมเบรนกับสารละลายดังสมการ



ที่รอยต่อระหว่าง เมมเบรน กับสารละลายน้ำอิ่งภายใน ก็จะเกิดกระบวนการเดียวกันและจะเกิดความต่างศักย์ไฟฟ้าระหว่างสองด้านของเมมเบรน ถ้าปริมาณการแตกตัวที่ผิวเมมเบรนทั้งสองนี้มีความต่างศักย์ไฟฟ้าระหว่างสองด้านของเมมเบรน แล้วก็จะเกิดจากความแตกต่างของアクセติวิตีของในเตรทไออกอนของสารละลายนอกและสารละลายน้ำอิเล็กโทรด (Skoog et al., 1992) ความต่างศักย์ไฟฟ้าที่เกิดขึ้นที่สภาวะสมดุลของการแตกตัวนี้เป็นไปตาม

สมการเนินสต์

$$E = \frac{RT}{zF} \ln \frac{a_{\text{NO}_3^- \text{ test}}}{a_{\text{NO}_3^- \text{ reference}}} \quad (2.1)$$

โดย

E = ค่าศักย์ไฟฟ้าในหน่วยเป็นโวลต์ (V)

R = ค่าคงที่ของแก๊ส เท่ากับ 8.3143 จูล/โมล.เคลวิน

T = อุณหภูมิ มีหน่วยเป็นเคลวิน (K)

z = ประจุของไอออน

F = ค่าคงที่ฟาราเดีย เท่ากับ 96,487 คูลอมป์/โมล

$a_{\text{NO}_3^-}$ = アクセติวิตีของในเตรทไออกอน

เนื่องจากที่รอยต่อระหว่างสารละลายน้ำอิ่งภายใน กับผิวของในเตรทไออกอิก็จะเกิดต่อในระหว่างด้านในจะมีค่าアクセติวิตีของในเตรทไออกอนคงที่ ส่วนของสมการที่เกี่ยวข้องกับアクセติวิตีของ NO_3^- จึงเป็นค่าคงที่ (K) ดังนั้นจึงเขียนสมการได้เป็น

$$E = \frac{-RT}{F} \ln a_{\text{NO}_3^- \text{ test}} + K \quad (2.2)$$

ที่อุณหภูมิ 25 องศาเซลเซียส เมื่อแทนค่าตัวแปรต่างๆ และเปลี่ยนฟังก์ชันจากล็อกฐานธรรมชาติ เป็นฐานสิบ ทำให้ค่าคงที่เปลี่ยนจาก K เป็น K' และสมการเปลี่ยนเป็น

$$E = -0.059 \log a_{\text{NO}_3^- \text{ test}} + K' \quad (2.3)$$

เมื่อรวมกับศักย์ไฟฟ้าที่เกิดที่รอยต่อระหว่างสารละลายน้ำอิ่งและอิเล็กโทรดอ้ำงอิ่งซึ่งเป็นค่าคงที่ ค่าศักย์ไฟฟ้าของเซลล์จึงเป็นไปตามสมการ

$$E = Q - 0.059 \log a_{\text{NO}_3^- \text{ test}} \quad (2.4)$$

โดย Q คือผลรวมของค่าคงที่ต่างๆ (Skoog and West, 1980)

จะเห็นได้ว่าค่าศักย์ไฟฟ้าของเซลล์ขึ้นอยู่กับเอดดิวิตีของไนเตรฟิโออกอนในสารละลายที่ต้องการวัด (Skoog and West, 1963) ดังนั้นการวัดการเปลี่ยนแปลงของศักย์ไฟฟ้าจะทำให้วัดถึงการเปลี่ยนแปลงของเอดดิวิตีได้

สมการข้างต้นแสดงความสัมพันธ์ระหว่างศักย์ไฟฟ้าและเอดดิวิตี แต่ในการวัดปริมาณสารดึงที่ต้องการคือ ความเข้มข้นของไอกอน เอดดิวิตีมีความสัมพันธ์กับความเข้มข้นตามสมการ (Skoog and West, 1980)

$$a_i = \gamma_i C_i \quad (2.5)$$

โดย	a_i	=	เอดดิวิตีของไอกอน i ในสารละลาย
C_i	=	ความเข้มข้นของไอกอน i ในสารละลาย	
γ_i	=	สัมประสิทธิ์เอดดิวิตีของไอกอน i	

ในสารละลายที่เจือจางมาก (ความเข้มข้น < 0.001 มิลาร์) ค่าสัมประสิทธิ์เอดดิวิตี (activity coefficient) จะมีค่าใกล้เคียงหนึ่ง ทำให้ค่าเอดดิวิตีของไอกอนเท่ากับความเข้มข้นของไอกอน ดังนั้นค่าศักย์ไฟฟ้าจึงใช้หาความเข้มข้นของไอกอนในสารละลายที่ต้องการวิเคราะห์ ได้ (Wang, 1984)

2.3.2 ระบบแบบซ่อนเจกชันอนาคติส (Batch Injection Analysis - BIA)

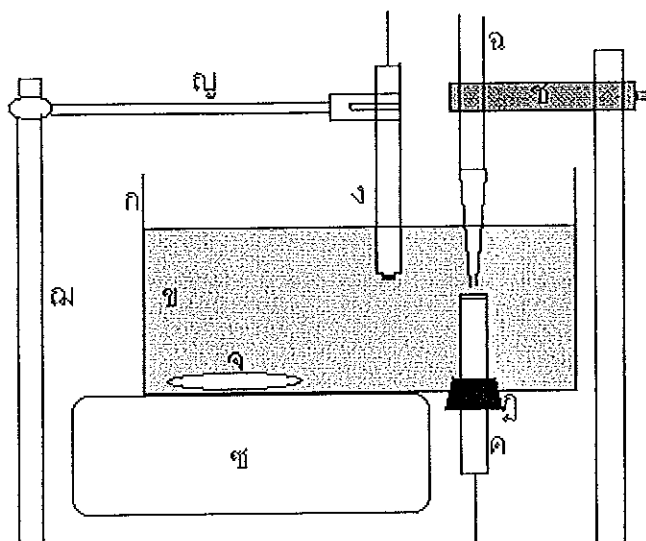
ระบบแบบซ่อนเจกชันอนาคติสเรียกว่า BIA ที่ใช้ในการหาปริมาณไนเตรฟิ

(ภาพประกอบ 4) ประกอบด้วยเซลล์ซึ่งทำจากไดอะกเลส (Diaglass®) ขนาดบิริมาตรา $10 \times 4 \times 7$ ลูกบาศก์เซนติเมตร (ก) วางอยู่บนเครื่องคนสารละลาย (ข) ภายในเซลล์บรรจุสารละลาย 700 มิลลิลิตร (ข) ในสารละลายมีไนเตรฟิลิกที่ฟอกเล็กทอ (ค) เป็นอิเล็กโทรดทำงาน และอิเล็กโทรดอ้างอิงชิดเวอร์-ชิลเวอร์คลอไรด์ (ง) สารละลายในเซลล์คือโซเดียมไดไฮดรอเจนฟอสเฟต 0.1 มิลาร์ สารละลายนี้ถูกคนอยู่ตลอดเวลาด้วยเท่งคนสารละลาย (จ) เพื่อช่วยล้างสารละลายที่จืดลงบนอิเล็กโทรดทำงานออกจากผิวน้ำอิเล็กโทรดหลังจากที่มีการแลกเปลี่ยนไอกอนแล้ว เนื่องจากปริมาตรที่ใช้ในการจัดสารตัวอย่างในระบบการวิเคราะห์นี้จะอยู่ในระดับไมโครลิตร ในขณะที่สาร

ละลายในเซลล์มีปริมาตร 700 มิลลิลิตร ตั้งน้ำ้สารตัวอย่างที่จัดลงไปบนอิเล็กโทรดทำงานจะถูกเจือจางอย่างรวดเร็วโดยสารละลายภายในเซลล์ ทำให้ระบบพัร์คอมที่จะวิเคราะห์ตัวอย่างต่อไปปลายปีเปต (ж) ที่ให้ในการจัดสารตัวอย่างจะถูกสอดอยู่ในช่องที่จะไว้เฉพาะในแผ่นพลาสติก (ж) ขนาดกว้าง 1.80 เซนติเมตร ยาว 4.80 เซนติเมตร และหนา 0.80 เซนติเมตร แผ่นพลาสติกนี้สามารถเลื่อนขึ้นลงได้เพื่อกำหนดตำแหน่งของปลายปีเปต

ในเดรทซีเล็กทีพอดิจิตอลจะสอดอยู่ในจุกยาง (ぐ) ในลักษณะ hairy โดยจุกยางจะยึดแน่นอยู่ในช่องด้านล่างของเซลล์ อิเล็กโทรดอ้างอิงที่จุ่มอยู่ในสารละลายถูกยึดอยู่กับที่โดยตัวจับ (clamp) (ぐ) ที่ยึดอยู่กับแกนโลหะ (ぐ) อิเล็กโทรดทั้งสองต่อ กับอุปกรณ์วัดสัญญาณ (ไอคอน อนาไลเซอร์)

ในการทดลองจัดอุปกรณ์ดังภาพประกอบ 4 หากยังไม่มีการจัดสารตัวอย่างลงบนผิวหน้าเมมเบรนอิเล็กโทรดก็จะไม่มีการแลกเปลี่ยนไอโอน สัญญาณที่ได้มีลักษณะเป็นเส้นเรียบซึ่งจะเป็นระดับอ้างอิงของสัญญาณหรือเบสไลน์ (baseline) เมื่อจัดสารละลายตัวอย่างลงบนผิวน้ำ เมมเบรนอิเล็กโทรด จะเกิดการแลกเปลี่ยนไอโอนระหว่างไอโอนในเดรทในสารละลายตัวอย่างกับไอโอนในเดรทของของเหลวที่แทรกตามรูปนุของเมมเบรนเกิดความต่างศักย์ไฟฟ้าระหว่างภายนอกและภายนอกเมมเบรน (เพญศรี ทองนพเนื้อ, 2539) ซึ่งความสัมพันธ์ของศักย์ไฟฟ้าที่เกิดขึ้นที่เมมเบรนอิเล็กโทรดกับแอดดิติฟของไอโอนในเดรท จะเป็นไปตามสมการ (2.4) ในขณะที่เกิดการแลกเปลี่ยนไอโอนนี้สารละลายในเซลล์ยังมีการคงอยู่ตลอดเวลา ตั้งน้ำ้สารตัวอย่างก็จะพร้อมกับจากบริเวณผิวน้ำเมมเบรนอิเล็กโทรด ทำให้สัญญาณการตอบสนองมีค่าลดลงจนกลับเข้าสู่สภาพเดิม (ภาพประกอบ 5) พัร์คอมที่จะทำการวิเคราะห์ครั้งต่อไป ช่วงเวลาของการแลกเปลี่ยนไอโอนจะแบ่งได้ดังนี้ เวลาที่เริ่มจัดสารตัวอย่างจนถึงจุดที่เริ่มให้สัญญาณการตอบสนองเรียกว่าเวลาตอบสนอง (response time) (เวลาช่วงนี้สั้นมากจึงไม่ได้แสดงไว้ในภาพประกอบ 4) เวลาที่ใช้ตั้งแต่เริ่มตอบสนองจนสัญญาณกลับเข้าสู่สภาพเดิม (ก-ค) คือ เวลาวิเคราะห์ (analysis time) และเวลาที่ใช้ในการล้างสารต่างๆออกจากผิวน้ำเมมเบรนอิเล็กโทรดจนสัญญาณกลับคืนสู่สภาพเดิม (ก-ค) เรียกว่า เวลาล้าง (washout time) ในการวิเคราะห์จะจัดสารตัวอย่างตัวอย่างจะห้าครั้ง วัดความสูงของสัญญาณ (peak height) (ก-ง) ที่เกิดจากค่าศักย์ไฟฟ้าที่เพิ่มขึ้นในการแลกเปลี่ยนไอโอนทั้งห้าครั้งและนำมาหาค่าเฉลี่ย โดยที่ความสูงของสัญญาณจะเป็นสัดส่วนกับความเข้มข้นของสารละลาย



ภาพประกอบ 4 ชุดอุปกรณ์ที่ใช้ในระบบ [batch injection analysis (BIA)]

ก : เศล็ปปิริมาตรขนาด $10 \times 14 \times 7$ ลูกบาศก์เซนติเมตร

ข : สารละลายปริมาตร 700 มิลลิลิตร

ค : อิเล็กโทรดทำงาน (ไอโอดินฟีล์ดทีฟอิเล็กโทรด :

NO_3^- -ISE)

ง : อิเล็กโทรดข้างอิ่ง

จ : แท่งคนสารละลาย

ฉ : ไมโครปิปเปตที่ใช้ในการจัดสารละลาย

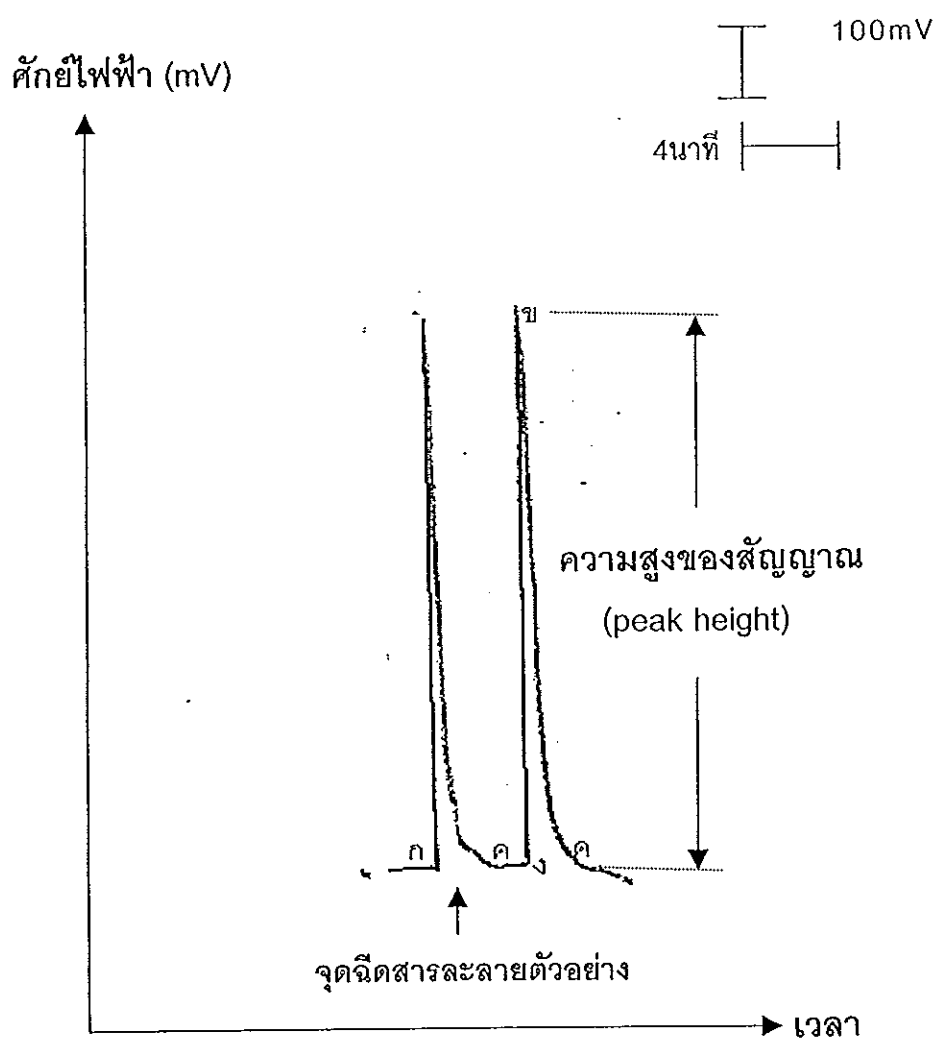
ช : แผ่นพลาสติก

ช : เครื่องคนสารละลาย

ณ : แกนโลหะ

ญ : ตัวจับแกนโลหะ

ฎ : จุกยาง



ภาพประกอบ 5 ตัวอย่างสัญญาณจากเทคนิค BIA ที่วัดค่าการตอบสนองในรูปการเปลี่ยนแปลงของศักย์ไฟฟ้า โดยนีดสารละลายโพแทสเซียมในเตราท 1.0×10^{-3} มोลาร์

ก : จุดนีดสารตัวอย่าง

ก-ค : เวลาวิเคราะห์ คือตั้งแต่เริ่มตอบสนองจนสัญญาณกลับเข้าสู่สภาพเดิม (analysis time)

ค-ง : เวลาถ่าง (washout time)

ค-ง : ขนาดการตอบสนอง คือ ความสูงของสัญญาณ (peak height)

2.4 การวิเคราะห์ผล

ในการวิเคราะห์ผลเพื่อหาสภาวะที่เหมาะสมสำหรับใช้ในเตรธีเล็กที่ฟอกอิเล็กโกรดในเทคนิคแบบห้องน้ำในประเทศจีน ได้ใช้แบบทดสอบทางเคมีที่มีผลต่อสัญญาณการตอบสนองอันได้แก่

- การคนสารละลาย
- อัตราเร็วที่ใช้ในการฉีดสารละลาย
- ระยะห่างระหว่างปลายปีเปตกับเมมเบรนอิเล็กโกรด
- ปริมาณสารตัวอย่าง
- ปลอกอิเล็กโกรด

การวิเคราะห์ผลให้วิธีเขียนกราฟและพิจารณาผลที่ได้ที่สุดจากกราฟ โดยนำค่าเฉลี่ยที่ได้จากการฉีดสารละลายตัวอย่าง 5 ครั้งมาพิจารณาค่าที่ให้สัญญาณการตอบสนองสูงสุด ให้เวลาวิเคราะห์น้อยที่สุด และให้ค่าเบี่ยงเบนมาตรฐานต่ำสุดซึ่งหมายถึงว่าการทดลองนั้นมีความเที่ยงสูง

อีกส่วนหนึ่งเป็นการวิเคราะห์ผลเกี่ยวกับระยะเวลาที่เหมาะสมในการใช้ในเตรธีเล็กที่ฟอกอิเล็กโกรด ซึ่งได้แก่

- อายุการใช้งานของเมมเบรนอิเล็กโกรดที่มีต่อสัญญาณการตอบสนองของเมมเบรน
- ระยะเวลาที่เหมาะสมในการจุ่มอิเล็กโกรดในสารละลายโพแทสเซียมในเตรธ 0.1 มิลลาร์ เพื่อให้การตอบสนองคืนสู่สภาพเดิม
- ระยะเวลาที่เหมาะสมในการใช้เมมเบรนอิเล็กโกรด
- ศักยภาพของคลอไวร์ดและไบร์โนดซึ่งเป็นสารที่อาจจะมีผลต่อการตอบสนองของอิเล็กโกรด

การวิเคราะห์ผลทำโดยนำสัญญาณการตอบสนองมาวิเคราะห์โดยวิธี ANOVA (Analysis of Variance) โดยใช้โปรแกรม irristat (Biometrics Unit, International Rice Research Institute, Manila, Philippines) เริ่มจากการนำค่าเฉลี่ยที่ได้จากการฉีดสารละลายตัวอย่าง 5 ครั้ง ($n=5$) ของลักษณะที่ต่างกันนี้มาวิเคราะห์ว่าเรียนชีนในแผนการทดลองแบบชีวาร์ด [Completely randomized design (CRD)] ซึ่งเป็นแผนการทดลองแบบสุ่มตัดตอน ใช้สำหรับการทดลองที่มีปัจจัยเพียงกลุ่มเดียว (จัดเป็นทรีเมนต์ที่ทำการศึกษา) จำนวนปัจจัยอื่นๆ เช่น ระยะห่างระหว่างปลายปีเปตกับเมมเบรนอิเล็กโกรด ความยาวของปลอกอิเล็กโกรด ระยะห่างของรูของปลอกอิเล็ก

โดยด้วยเมมเบรนอิเล็กโทรด ฯลฯ ในภารททดลองนี้กำหนดให้เท่ากัน จากนั้นคำนวณหาค่า F ซึ่งเป็นค่าการกระจายทางสถิติซึ่งกระจายแบบอัตราส่วนความแปรปรวน เพื่อหาค่าไวกรุติของ F ที่จะทำให้ภารทสอบมีนัยสำคัญทางสถิติ และนำไปเปรียบเทียบค่า F จากตารางที่ระบุความแตกต่าง 0.05 นั้นคือ มีระดับความแตกต่าง 5% หรือมีช่วงความเชื่อมั่น 95% หากค่า F ที่คำนวณได้มากกว่า $F_{0.05}$ (จากตาราง) (ไฟศาล เหล่าสุวรรณ, 2535) แสดงว่า ค่าเฉลี่ยมีความแตกต่างกันในทางสถิติ หรือมีความแตกต่างอย่างมีนัยสำคัญ แต่ถ้าค่า F ที่คำนวณได้น้อยกว่า $F_{0.05}$ (จากตาราง) แสดงว่า ความแตกต่างไม่มีนัยสำคัญ

2.5 การหาสภาวะที่เหมาะสมของปัจจัยพื้นฐานของระบบแบบท่อในเจักษันอนาคต

ในระบบแบบท่อในเจักษันอนาคตที่ใช้ออนซีลิกทีฟอิเล็กโทรด เป็นตัวตรวจปัจจัยที่นำไปมีผลต่อสัญญาณการตอบสนอง ได้แก่

- อัตราการคนสารละลาย ซึ่งจะมีผลต่อการแพร์กระจายสารตัวอย่างไปยังสารละลายภายในเซลล์ หลังจากที่มีการตรวจวัดแล้ว
- อัตราเร็วที่ใช้ในการขีดสารละลาย จะมีผลต่อการแพร์กระจายของสารในขณะที่ทำการวิเคราะห์
- ระยะห่างระหว่างปลายปีเพตกับเมมเบรนอิเล็กโทรด ระยะห่างที่ไม่เหมาะสมอาจจะทำให้สารตัวอย่างแพร์กระจายออกไปก่อนที่อิเล็กโทรดจะตรวจวัดได้
- ปริมาตรของสารละลายตัวอย่าง ซึ่งจะมีผลต่อกำลังของการตอบสนอง

ระบบภารททดลองเพื่อหาสภาวะที่เหมาะสมประกอบด้วยโซเดียมไดออกไซด์และฟอสเฟต

0.1 มิลลาร์ ปริมาตร 700 มิลลิลิตร เป็นสารละลายภายในเซลล์ และให้ไฟแอลอฟท์ในช่องความเข้มข้น 1.0×10^{-5} และ/หรือ 1.0×10^{-4} มิลลาร์ เป็นสารละลายตัวอย่าง โดยการเลือกใช้ช่วงความเข้มข้นนี้ เนื่องจากกรณามัธย ระหว่างสารชีวนะสุข กำหนดให้ว่าหนึ่งรวมชาติที่จะให้บริโภคได้ต้องมีปริมาณในอาหารไม่เกิน 10 มิลลิกรัมต่อลิตร (กรมอนามัย, 2535) หรือ 7.1×10^{-4} มิลลาร์ นั้นคือระบบที่จะให้เคราะห์ควรจะตรวจวัดปริมาณในอาหารในช่วงนี้ (หรือดีกว่า)

ในการศึกษาแต่ละปัจจัยข้างต้นจะทำการทดสอบจำนวน 8 ชุดภารททดลอง และใน 8 ชุดที่ทำการทดสอบจะทำการทดสอบแต่ละปัจจัยจากค่าที่น้อยที่สุดไปค่าที่มากที่สุดและจากค่าที่มากที่สุดไปค่าที่น้อยที่สุดอย่างละ 4 ชุดภารททดลอง เพื่อทดสอบความเที่ยงในการตรวจวัดของในอาหารซีลิกทีฟอิเล็กโทรดที่ใช้ร่วมกับระบบนี้

2.5.1 ผลของอัตราการคนสารละลาย

การคนสารละลายในระบบแบบที่อ่อนเจ้าชันคณาไลซิสก์เพื่อล้างสารตัวอย่างที่เหลืออยู่ออกจากเมมเบรนอิเล็กโทรดให้กระจายไปยังสารละลายในเซลล์หงษ์จากที่มีการตรวจวัดแล้ว เพื่อทำให้ระบบพร้อมสำหรับการวิเคราะห์ครั้งต่อไป ดังนั้นอัตราเร็วในการคนสารละลายอาจจะมีผลต่อสัญญาณที่เกิดขึ้น ถ้าอัตราการคนเร็วเกินไปอาจจะทำให้สารตัวอย่างออกจากผิวน้ำอิเล็กโทรดเร็วเกินไป และถ้าช้าเกินไปทำให้สารที่อยู่ที่ผิวน้ำอิเล็กโทรดเคลื่อนที่ออกจากผิวได้ช้า ไอออนในสารตัวอย่างที่จะเข้าไปแทนที่อาจจะแพร่ไปยังส่วนอื่นๆในเซลล์ก่อนที่จะเกิดการแลกเปลี่ยนไอออน กับอิเล็กโทรด ในการทดลองเพื่อพิจารณาผลจากปัจจัยดังกล่าวให้สารละลายโพแทสเซียมในเทรา 1.0×10^{-4} มิลาร์ 25 ไมโครลิตร จีดลงบนเมมเบรนอิเล็กโทรดที่อัตราเร็วในการคนสารละลาย 100 300 400 และ 500 รอบต่อนาที

2.5.2 ผลของอัตราเร็วที่ใช้ในการฉีดสารละลาย

ในการฉีดสารจะใช้ไมโครปิป็อก EDOS 5221 (Eppendorf, Germany) ที่มีระบบควบคุมอัตราเร็วในการฉีดให้เป็นไปอย่างสม่ำเสมอโดยสามารถตั้งอัตราเร็วในสเกลตั้งแต่ 1 ถึง 8 โดยตัวเลขที่เพิ่มขึ้น หมายถึงอัตราเร็วในการฉีดสารละลายที่เพิ่มขึ้น อัตราเร็วที่ใช้ในการฉีดสารละลายจะมีผลต่อการแพร่กระจายของสารในขณะที่ทำการวิเคราะห์ อัตราเร็วในการฉีดสารละลายที่เร็วเกินไปอาจจะทำให้สารละลายตัวอย่างถูกดันให้แพร่กระจายออกไปจากบริเวณผิวน้ำอิเล็กโทรดก่อนที่จะเกิดการแลกเปลี่ยนไอออน และถ้าช้าเกินไปอาจจะทำให้สารตัวอย่างที่ใช้ร่วมปฏิกิริยาน้อยถูกเจือจากด้วยสารละลายภายนอกที่จะไปถึงบริเวณผิวน้ำอิเล็กโทรด ทำให้ค่าการตอบสนองที่ได้มีค่าน้อย อัตราเร็วที่เหมาะสม คืออัตราเร็วที่จะให้ค่าการตอบสนองสูงและมีค่าเบี่ยงเบนน้อย การทดลองนี้ใช้สารละลายโพแทสเซียมในเทราที่มีความเข้มข้น 1.0×10^{-5} และ 1.0×10^{-4} มิลาร์ 25 ไมโครลิตร จีดลงบนผิวน้ำเมมเบรนอิเล็กโทรดด้วยอัตราเร็วในสเกล 1 3 4 5 และ 7 ซึ่งอัตราเร็ว 1 จะหมายถึง อัตราเร็วการฉีดสารละลายที่ช้าที่สุด

2.5.3 ผลของระยะห่างระหว่างปลายปีเปตกับเมมเบรนอิเล็กโทรด

ในการฉีดสารละลายลงในปีเปตบนผิวน้ำอิเล็กโทรด หากตำแหน่งของปีเปตห่างจากผิวน้ำอิเล็กโทรดเป็นระยะทางมากเกินไป อาจจะทำให้สารละลายตัวอย่างแพร่กระจายออกไปก่อนที่อิเล็กโทรดจะตรวจวัดได้ทำให้การตอบสนองที่ได้มีค่าน้อย ซึ่งจะไปทำให้ผลการวิเคราะห์มีค่าความผิดพลาดเกิดขึ้นได้มาก แต่ถ้าระยะทางนี้น้อยเกินไปสารละลายตัวอย่างในส่วนต้นๆที่จีดลงบนเมมเบรนอิเล็กโทรดอาจจะถูกดันให้ออกไปจากผิวน้ำของเมมเบรนอิเล็กโทรดโดยสารละลาย

ตัวอย่างที่เคลื่อนที่ตามมาก่อนที่อิเล็กโทรดจะเกิดการแลกเปลี่ยนไอออนได้ ทำให้สัญญาณการตอบสนองที่ได้มีค่าน้อย ในการศึกษาเพื่อหาระยะห่างที่เหมาะสมระหว่างปลายปีเปตกับผิวน้ำ อิเล็กโทรดนี้จะฉีดสารละลายโพแทสเซียมในเดรท 1.0×10^{-5} และ 1.0×10^{-4} มิลลาร์ 25 ไมโครลิตร โดยกำหนดให้ระยะห่างระหว่างปลายปีเปตกับผิวน้ำอิเล็กโทรด เป็น 1.0 2.0 3.0 4.0 และ 5.0 มิลลิเมตร และใช้อัตราเร็วของการฉีดที่ 4 ซึ่งพบว่าเป็นอัตราเร็วที่เหมาะสมที่สุดจากการทำการทดลอง 2.5.2

2.5.4 ผลของปริมาตรของสารละลายตัวอย่าง

เมื่อสารละลายตัวอย่างที่ฉีดลงบนเมมเบรนอิเล็กโทรดมีปริมาตรเพิ่มขึ้น สัญญาณการตอบสนองที่ได้ก็ควรจะเพิ่มขึ้น แต่ค่าการตอบสนองของสัญญาณนี้จะขึ้นกับการเคลื่อนที่ของไอออนระหว่างการเกิดการแลกเปลี่ยนไอออนที่บริเวณผิวน้ำเมมเบรนอิเล็กโทรด ดังนั้นจึงน่าจะมีปริมาตรที่เหมาะสมที่ทำให้ได้ค่าการตอบสนองของสัญญาณที่ดีที่สุด ใน การทดลองนี้ใช้สารละลายโพแทสเซียมในเดรท 1.0×10^{-4} มิลลาร์ โดยทดสอบที่ปริมาตรของสารละลาย 10 15 20 25 30 40 50 70 และ 100 ไมโครลิตร ใช้ระยะห่างระหว่างปลายปีเปตกับเมมเบรนอิเล็กโทรด 2 มิลลิเมตรและใช้อัตราเร็วในการฉีดที่ 4 จากผลการทดลอง 2.5.2 และ 2.5.3 ตามลำดับ

2.6 การหาสภาวะที่เหมาะสมในการวิเคราะห์ในเดรท

ที่ผ่านมาเป็นการทดลองเพื่อหาสภาวะที่เหมาะสมของปัจจัยต่างๆ ในเทคนิคแบบซึ่อกันเจกชัน อนาคต แต่จุดประสงค์ในงานวิจัยนี้ต้องการนำเทคนิคแบบซึ่อกันเจกชันอนาคตไปใช้ในการวิเคราะห์หน้าในเดรท โดยใช้ไอออนเชลล์ที่พิเศษที่อิเล็กโทรด จึงต้องศึกษาปัจจัยที่เกี่ยวข้องกับการวิเคราะห์หน้าในเดรท โดยศึกษาปัจจัยต่างๆ ดังข้อ 2.6.1-2.6.5

สภาวะที่ใช้ในการทดลองในหัวข้อนี้ จะใช้สภาวะที่เหมาะสมของปัจจัยพื้นฐานของระบบแบบซึ่อกันเจกชันอนาคตที่ได้จากการทดลอง 2.5 คือ

- อัตราเร็วในการคนสารละลาย	300	รอบต่อนาที
- อัตราเร็วที่ใช้ในการฉีดสารละลาย	4	
- ระยะห่างระหว่างปลายปีเปตกับเมมเบรนอิเล็กโทรด	2.0	มิลลิเมตร
- ปริมาตรของสารละลายตัวอย่าง	20	ไมโครลิตร

2.6.1 ความเที่ยงของในตรวจชีลิกทีฟอเล็กโกรด

การวิเคราะห์ทางเคมีสมัยใหม่จำเป็นต้องแข่งกับเวลา นั่นคือ เทคนิคต่างๆที่ใช้ควรจะวิเคราะห์ให้ได้ผลอย่างรวดเร็ว แม่นยำ และมีความเที่ยงสูง จึงทำการทดสอบความเที่ยงในการตรวจวัดของในตรวจชีลิกทีฟอเล็กโกรด ที่ใช้ในเทคนิคนี้ โดยฉีดสารละลายโพแทสเซียมในตรวจ 1.0×10^{-4} มิลลาร์ อายุ่งต่อเนื่อง 30 ครั้ง

2.6.2 ผลของความเข้มข้นของสารตัวอย่างที่ฉีดไปแล้ว (memory effect)

การวิเคราะห์หาปริมาณสารโดยใช้เทคนิคแบบชิปแยกชั้นอนาไลซิส สารละลายภายในเซลล์จะถูกคนอยู่ตลอดเวลา เพื่อล้างสารตัวอย่างบนผิวหน้าตัวตรวจวัดออกไป ทำให้ผิวน้ำของตัวตรวจวัดพร้อมที่จะทำการวิเคราะห์ในครั้งต่อไป และสามารถทำการตรวจวัดได้อย่างต่อเนื่อง โดยที่สารตัวอย่างที่ฉีดลงบนเมมเบรนชีลิกโกรด จะไม่มีผลต่อการตรวจวัดสารตัวอย่างที่จะทำการวิเคราะห์ในครั้งต่อไป เพื่อทดสอบว่าสารตัวอย่างที่ฉีดลงไปแล้วจะไม่มีผลต่อผลการทดลองในครั้งต่อไปจึงได้ทำการทดลอง 2 ชุด โดย

ชุดที่ 1 ฉีดสารละลายโพแทสเซียมในตรวจ 1.0×10^{-5} มิลลาร์สับกับ 1.0×10^{-4} มิลลาร์ 20 ในครอสติตร 20 ชุด เพื่อศูนย์ความเข้มข้นที่ฉีดไปก่อนจะทำให้ค่าการตอบสนองของการฉีดครั้งหลังเพิ่มขึ้นหรือลดลงหรือไม่ และ

ชุดที่ 2 เมื่อจากการฉีดสารตัวอย่างลงไปในเซลล์หลายๆ ครั้ง จะทำให้สารละลายภายในเซลล์มีความเข้มข้นของสารตัวอย่างอยู่ระดับหนึ่ง ซึ่งอาจจะมีผลทำให้ค่าการตอบสนองของชีลิกโกรดต่างไปจากเมื่อไม่มีสารตัวอย่าง ทดสอบโดยหาค่าการตอบสนองจากการฉีดสารละลายโพแทสเซียมในตรวจ 1.0×10^{-4} มิลลาร์ 20 ในครอสติตร 100 ครั้ง หลังจากนั้นเปลี่ยนสารละลายในเซลล์ โดยเติมโพแทสเซียมในตรวจ 1.0×10^{-4} มิลลาร์ 2 มิลลลิตร (เท่ากับปริมาตรที่ฉีด 100 ครั้ง) ลงไปในบัฟเฟอร์ที่อยู่ในการทดลอง จากนั้นฉีดสารละลายโพแทสเซียมในตรวจ 1.0×10^{-4} มิลลาร์ 20 ในครอสติตร จำนวน 100 ครั้ง

2.6.3 ขีดจำกัดต่ำสุดในการตรวจวัด (detection limit)

การวิเคราะห์สารตัวอย่างในแต่ละเทคนิคจำเป็นที่จะต้องทราบขีดจำกัดต่ำสุดในการตรวจวัดของเทคนิคนั้นด้วย จากคู่มือการใช้ในตรวจชีลิกโกรดแบบชิปวัดระบุว่า ขีดจำกัดต่ำสุดในการตรวจวัดคือ 5×10^{-6} มิลลาร์ จึงทำการศึกษาโดยใช้สารละลายโพแทสเซียมในตรวจ 1.0×10^{-6} และ 1.0×10^{-5} มิลลาร์ โดยพิจารณาจากความเข้มข้นที่ให้ค่าการตอบสนองมากกว่าสัญญาณ

รบกวน 2 เท่า (Christian, 1980 ; Strobel, 1973) และถือว่าเป็นความเข้มข้นที่ให้สีด้ำด่ำสุดในการตรวจวัด

2.6.4 ผลของคลอไคร์ดและบอร์มาเด

จุดประสงค์หนึ่งของระบบการทดลองนี้ ก็เพื่อที่จะวิเคราะห์หาปริมาณใน terrestrial ในตัวอย่างน้ำธรรมชาติ ซึ่งนอกจากจะมีใน terrestrial แล้ว ยังมีในอนุชนิดอื่น เช่น คลอไคร์ด บอร์มาเด แคลเซียม และ คาร์บอนเนต เป็นต้น ปัจจุบัน จำกศูนย์วิจัยการใช้ใน terrestrial ได้แก่ คลอไคร์ดและบอร์มาเด จะมีผลต่อการวัดไอโอดินใน terrestrial ซึ่งไอโอดินทั้งสองปัจจุบันอยู่ในน้ำธรรมชาติในช่วง 20-600 ppm (อุดมผล พีชนีเพบูลร์, 2535) หรือ $5.6 \times 10^{-4} - 1.7 \times 10^{-2}$ มิลาร์ จึงทำการศึกษาเพื่อดูว่า คลอไคร์ด และบอร์มาเด จะมีผลต่อการวิเคราะห์ใน terrestrial อย่างไร โดยแบ่งการทดลองออกเป็น 3 ชุด โดยตัวอย่างในแต่ละชุดประกอบด้วย

- 1) โพแทสเซียมใน terrestrial และโพแทสเซียมคลอไคร์ด
- 2) โพแทสเซียมใน terrestrial และโพแทสเซียมบอร์มาเด
- 3) โพแทสเซียมใน terrestrial โพแทสเซียมคลอไคร์ดและโพแทสเซียมบอร์มาเด

โดยโพแทสเซียมใน terrestrial มีความเข้มข้น 1.0×10^{-5} 1.0×10^{-4} 1.0×10^{-3} และ 1.0×10^{-2} มิลาร์ ซึ่ง แต่ละความเข้มข้นจะมีปริมาณโพแทสเซียมคลอไคร์ดหรือโพแทสเซียมบอร์มาเด หรือทั้งสองอย่าง คือ คลอไคร์ดและโพแทสเซียมบอร์มาเด 1.0×10^{-5} 1.0×10^{-4} 1.0×10^{-3} และ 1.0×10^{-2} มิลาร์ ผสมอยู่ด้วย

2.6.5 ช่วงความเข้มข้นที่ให้การตอบสนองเชิงเส้น

ในการวิเคราะห์หาปริมาณสารตัวอย่างของแต่ละเทคนิค สารตัวอย่างควรจะมีความเข้มข้นอยู่ในช่วงที่ให้ผลการตอบสนองเชิงเส้น เนื่องจากการคำนวณทำได้ง่าย และให้ค่าการวิเคราะห์ที่ถูกต้องแม่นอน ในการหาช่วงการตอบสนองเชิงเส้นนี้ ใช้สารละลายโพแทสเซียมใน terrestrial 1.0×10^{-6} 1.0×10^{-5} 1.0×10^{-4} 1.0×10^{-3} 1.0×10^{-2} และ 1.0×10^{-1} มิลาร์

2.7 การวิเคราะห์หาปริมาณใน terrestrial ในสารละลายมาตรฐาน

ที่ผ่านมาเป็นการทดลองเพื่อหาสภาวะที่เหมาะสมของปัจจัยต่างๆ ในเทคนิคแบบซึ่งกันและกัน ชั้นตอนไลซิส โดยมีจุดประสงค์เพื่อทดสอบความเป็นไปได้ของกระบวนการนำเทคนิคแบบซึ่งกันและกันมาใช้ในการวิเคราะห์หาปริมาณใน terrestrial ในตัวอย่างน้ำธรรมชาติ โดยใช้ใน terrestrial ที่เล็กที่พอดี

ให้ดีเป็นตัวตรวจวัด ก่อนที่จะทำการทดสอบกับตัวอย่างจริงควรจะทดสอบระบบโดยการหาปริมาณไนเตรฟในสารละลามาตรฐานที่เตรียมขึ้นมา เริ่มด้วยการใช้สารละลามาตรฐานความเข้มข้น 1.0×10^{-5} 1.0×10^{-4} 1.0×10^{-3} และ 1.0×10^{-2} มิลลาร์ ซึ่งเตรียมในโซเดียมไดไฮดรอเจนฟอสเฟต 0.1 มิลลาร์ จีดลงบนอิเล็กโทรด นำผลการตอบสนองที่ได้มาเขียนกราฟมาตรฐานแสดงความสัมพันธ์ระหว่างค่าการตอบสนองกับค่าล็อกความเข้มข้นของไนเตรฟ และคำนวณหาสมการเชิงเส้นของกราฟ

ในขั้นต่อไปทดสอบหาปริมาณไนเตรฟ โดยเตรียมสารละลายน้ำอย่างของไนเตรฟที่จะใช้ทดสอบในโซเดียมไดไฮดรอเจนฟอสเฟต 0.1 มิลลาร์ ที่ความเข้มข้น 1.0×10^{-5} 1.0×10^{-4} 1.0×10^{-3} 5.0×10^{-4} 5.0×10^{-3} และ 5.0×10^{-2} มิลลาร์ โดยเลือกเตรียมความเข้มข้นให้อยู่ในช่วงของกราฟมาตรฐาน

นำสารตัวอย่างนี้ไปวิเคราะห์ด้วยเทคนิคแบบซีอินเจกชันอนไลน์ซิส จากค่าการตอบสนองที่ได้นำมาคำนวณเป็นความเข้มข้นของไนเตรฟจากกราฟมาตรฐาน

2.8 ศึกษาเบรย์บทียบระบบแบบซีอินเจกชันอนไลน์เมื่อมีและไม่มีปลอก

ส่วนหัวอิเล็กโทรด

จากการวิเคราะห์หาปริมาณไนเตรฟจากสารละลายน้ำอย่างของไนเตรฟที่เตรียมขึ้นมาและรู้ค่าความเข้มข้น โดยเทคนิคแบบซีอินเจกชันอนไลน์ซิส (2.7) พบร่วมกับความเข้มข้นของไนเตรฟที่ได้จากการทดสอบดังกล่าวมีความแตกต่างจากค่าจริงมาก ทั้งนี้น่าจะเนื่องจากความไวของระบบ (ความชันของกราฟมาตรฐาน) มีค่าต่ำกว่าค่าเพียง 23 มิลลิโวลต์ต่อ 10 เท่าความเข้มข้นซึ่งไม่เป็นไปตามทฤษฎีของเนินส์ที่มีค่า 59 มิลลิโวลต์ต่อ 10 เท่าความเข้มข้น ความไวของระบบที่ค่อนข้างต่ำนี้คาดว่าเกิดจากสารตัวอย่างที่จีดลงบนเมมเบรนอิเล็กโทรดแพะออกจากผิวน้ำอิเล็กโทรดเร็วกว่าปกติทำให้การแลกเปลี่ยนไนโตรเจนบิโรมเมมเบรนอิเล็กโทรดเกิดได้น้อย มีผลทำให้ค่าศักย์ไฟฟ้าที่รัดได้น้อยตามไปด้วย ดังนั้นเพื่อป้องกันไม่ให้สารตัวอย่างแพร่กระจายไปสู่สารละลามากในเซลล์รัดเร็วเกินไป จึงทดลองใช้ปลอกส่วนหัวอิเล็กโทรด (ภาพประกอบ 6)

การทดลองเพื่อหาสภาวะที่เหมาะสมเมื่อส่วนปลอกอิเล็กโทรด ระบบทดลองประกอบด้วยโซเดียมไดไฮดรอเจนฟอสเฟต 0.1 มิลลาร์ ปริมาตร 700 มิลลิลิตร เป็นสารละลามากในเซลล์ สภาวะที่ใช้ในการทำการทดลองในการหาปัจจัยพื้นฐานจะใช้สภาวะเดียวกับการทดสอบแบบไม่ส่วนปลอกอิเล็กโทรด (2.5 และ 2.6)

2.8.1 ผลกระทบอิเล็ก trod

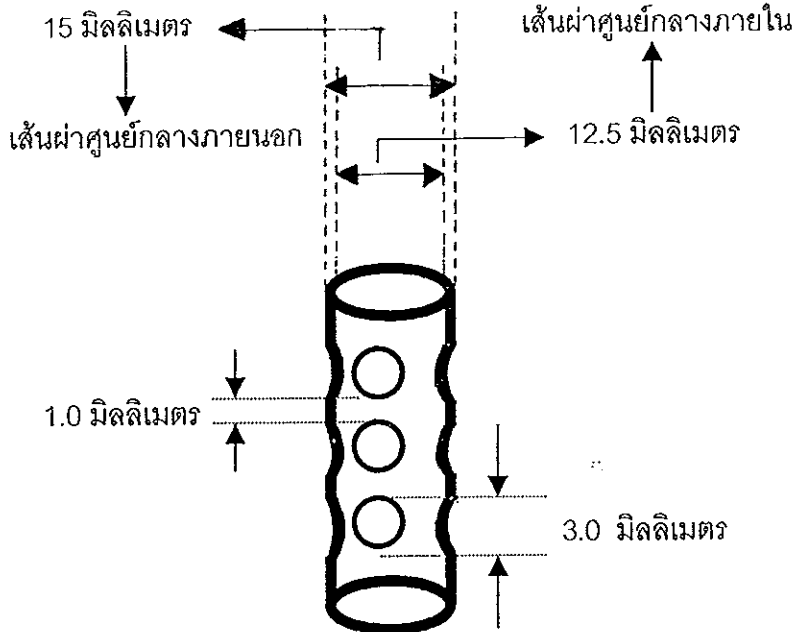
เนื่องจากกระบวนการทดลองนี้ใช้การวัดการแลกเปลี่ยนไอออนที่เกิดขึ้นบริเวณผิวน้ำ เมมเบรนอิเล็ก trod ในรูปของการเปลี่ยนแปลงค่าการตอบสนอง การเพร์กราวยของสารตัวอย่าง ไปยังสารละลายส่วนอื่นๆ เริ่วเกินไปทำให้ค่าการตอบสนองที่ได้น้อย ดังนั้นจึงทดลองใช้ปลอก SVM ไอออนชีล็อกที่ฟิล์มอิเล็ก trod เพื่อให้สารตัวอย่างมีเวลาอยู่ที่หัวอิเล็ก trod นานขึ้น

ปลอกอิเล็ก trod ที่ใช้มีขนาดเส้นผ่าศูนย์กลางภายใน 12.5 มิลลิเมตร และเส้นผ่าศูนย์กลางภายนอก 15.0 มิลลิเมตร เจาะรูขนาดเส้นผ่าศูนย์กลาง 3.0 มิลลิเมตร 3 ระดับ ระดับละ 2 คู่ ตรงข้ามกันและให้มีระยะห่างระหว่างแต่ละระดับนั้นเท่า ๆ กัน เพื่อช่วยในการเพร์กราวยของสารตัวอย่างออกจากผิวน้ำเมมเบรนอิเล็ก trod เพื่อให้ระบบเข้าสู่สภาพเดิมพร้อมที่จะใช้วิเคราะห์ในครั้งต่อไป ดังภาพประกอบ 6 มีระยะห่างระหว่างแต่ละระดับ 1.0 มิลลิเมตร และให้ขอบล่างของรูระดับแรกอยู่สูงจากผิวน้ำของเมมเบรนอิเล็ก trod เป็นระยะ 3.0 มิลลิเมตรดังนั้นความยาวทั้งหมดของปลอกอิเล็ก trod เป็น 21 มิลลิเมตร

ทดลองโดยจีดสารละลายโพแทสเซียมในเดรท 1.0×10^{-5} 1.0×10^{-4} 1.0×10^{-3} และ 1.0×10^{-2} มิลาร์ ลงบนผิวน้ำของเมมเบรนอิเล็ก trod ที่อยู่ในสารละลายโซเดียมไดไฮดรเจนฟอสเฟต 0.1 มิลาร์ โดยศึกษาเปรียบเทียบค่าการตอบสนองของสัญญาณแบบไม่ส่วนปลอกอิเล็ก trod และแบบส่วนอิเล็ก trod

สภาวะที่ใช้ในการทดลอง คือ

- อัตราเร็วในการคนสารละลาย	300	รอบต่อนาที
- อัตราเร็วที่ใช้ในการจีดสารละลาย	4	
- ระยะห่างระหว่างปลายปีเปตกับเมมเบรนอิเล็ก trod	2.0	มิลลิเมตร
- ปริมาตรของสารละลายตัวอย่าง	20	ไมโครลิตร
- ระยะห่างของรูระดับแรกของปลอกอิเล็ก trod จากเมมเบรน		
อิเล็ก trod	2.0	มิลลิเมตร



ภาพประกอบ 6 ลักษณะของปลอกอิเล็กโทรดซึ่งทำจาก PVC เจาะรูขนาดเส้นผ่าศูนย์กลาง 3.0 มิลลิเมตร 3 ระดับ ระดับละ 2 คู่ตรงข้ามกัน และให้มีระยะห่างระหว่างแต่ละระดับน้ำหนาเท่าๆ กัน 1.0 มิลลิเมตร

2.9 เปรียบเทียบผลการวิเคราะห์ปัจจัยพื้นฐานของระบบแบบชิ้นงานไอลชิส

จากการทดลองใน 2.8 พบว่าการตอบสนองของอิเล็กโทรดเมื่อมีปลอกจะมีค่ามากกว่าเมื่อไม่มีปลอกประมาณ 10% ดังนั้นจึงควรต้องศึกษาปัจจัยพื้นฐานด่างๆ ของระบบแบบชิ้นงานไอลชิสใหม่ในขณะที่อิเล็กโทรดมีปลอกสวม และเนื่องจากในการทดลองเมื่อมีปลอกใช้เมมเบรนอิเล็กโทรดคนละอันกับที่ใช้ในข้อ 2.5 และ 2.6 ซึ่งเป็นการทดลองแบบไม่ส่วนปลอก (เมมเบรนอิเล็กโทรดอันเดิมหมดสภาพไป) ผลที่ได้จึงไม่สามารถเปรียบเทียบกับผลใน 2.5-2.6 ได้ ดังนั้นจึงทำการศึกษาเปรียบเทียบผลการวิเคราะห์ปัจจัยพื้นฐานของระบบ เมื่อมีและไม่มีปลอกสวมหัวอิเล็กโทรดไปพร้อมกันโดยแต่ละการทดลองจะศึกษาแบบไม่ส่วนปลอกอิเล็กโทรดก่อนแล้วจึงทำการศึกษาแบบส่วนปลอกอิเล็กโทรด แต่ละปัจจัยจะทำการทดลองจำนวน 8 ชุด โดยศึกษาแบบไม่ส่วนและส่วนปลอกอิเล็กโทรด อย่างละ 4 ชุด และใน 4 ชุดที่ทำการทดลองทั้งสองแบบจะทำการทดลองจากค่าที่น้อยที่สุดไปค่าที่มากที่สุดและจากค่าที่มากที่สุดไปค่าที่มากที่สุดอย่างละ 2 ชุดการทดลอง

การทดลองเพื่อเปรียบเทียบผลการวิเคราะห์เมื่อมีและไม่มีปลอกสวมหัวอิเล็กโทรด จะศึกษาผลของปัจจัยดังๆ ดังนี้

2.9.1 การคุณสารละลายน้ำ

ทำการทดลองเหมือนกับ 2.5.1

2.9.2 อัตราเร็วที่ใช้ในการจัดสารละลายน้ำ

ทำการทดลองเหมือนกับ 2.5.2

2.9.3 ระยะห่างระหว่างปลายปีเปตกับแม่เบรนอิเล็กโทรด

ทำการทดลองเหมือนกับ 2.5.3

2.9.4 ปริมาณของสารละลายน้ำอย่างตัวอย่าง

ทำการทดลองเหมือนกับ 2.5.4

ระบบทดลองประกอบด้วยโซเดียมไดไฮดรอเจนฟอสเฟต 0.1 มิลลาร์ ปริมาตร 700 มิลลิลิตร เป็นสารละลายน้ำเซลล์ และใช้สารละลายน้ำแอลกอฮอล์ 1.0 × 10⁻⁴ มิลลาร์ เป็นสารละลายน้ำอย่างตัวอย่าง

สภาวะที่ใช้ในการทดลอง 2.9.1-2.9.4 คือ

- อัตราเร็วในการคุณ	300	รอบต่อนาที
(ยกเว้นการทดลองที่ 2.9.1)		
- อัตราเร็วที่ใช้ในการจัดสารละลายน้ำ	4	
(ยกเว้นการทดลองที่ 2.9.2)		
- ระยะห่างระหว่างปลายปีเปตกับแม่เบรนอิเล็กโทรด	2.0	มิลลิเมตร
(ยกเว้นการทดลองที่ 2.9.3)		
- ปริมาณของสารละลายน้ำอย่างตัวอย่าง	20	ไมโครลิตร
(ยกเว้นการทดลองที่ 2.9.4)		

2.10 การหาสภาวะที่เหมาะสมในการวิเคราะห์ใน terrestrialแบบรวมปลอกอิเล็กโทรด

จากการทดลอง 2.8.1 พนว่าค่าการตอบสนองที่วัดได้มีความปลอดภัยอิเล็กโทรด มีค่าสูงขึ้น อาจจะมีผลทำให้ได้สภาวะที่เหมาะสมในการวิเคราะห์ใน terrestrialได้ดีขึ้น เมื่อเปรียบเทียบกับการวัดแบบรวมปลอกอิเล็กโทรด โดยศึกษาหาสภาวะที่เหมาะสมในการวิเคราะห์ใน terrestrial ดังนี้

2.10.1 ชีดจำากัดต่ำสุดในการตรวจวัด

ทำการทดลองเหมือน 2.6.3

2.10.2 ช่วงความเข้มข้นที่ให้ค่าการตอบสนองเชิงเส้น

ทำการทดลองเหมือน 2.6.5

สภาวะที่ใช้ในการทดลองเป็นสภาวะที่หมายรวมจากการทดลอง 2.9 คือ

- อัตราเร็วในการคนสารละลาย	300	รอบต่อนาที
- อัตราเร็วที่ใช้ในการฉีดสารละลาย	4	
- ระยะห่างระหว่างปลายบีเพตกับเมมเบรนอิเล็กโทรด	2.0	มิลลิเมตร
- ปริมาณของสารละลายตัวอย่าง	20	ไมโครลิตร

2.11 การวิเคราะห์หาปริมาณในเทอร์ทในสารละลายน้ำมาระฐานเมื่อสูบปuffอก

อิเล็กโทรด

เมื่อฉีดสารตัวอย่างลงบนเมมเบรนอิเล็กโทรดที่สูบปuffอกอิเล็กโทรด จากผลการทดลองข้างต้นพบว่าจะให้ค่าการตอบสนองและค่าความชันของกราฟมาตรฐานสูงกว่าแบบไม่สูบปuffอกอิเล็กโทรด จึงทำการศึกษาเพื่อดูว่าในการวิเคราะห์หาปริมาณในเทอร์ทจากสารละลายน้ำมาระฐานโดยสูบปuffอกอิเล็กโทรด ค่าที่ได้จากเทคนิคแบบซึ่อนเจกชันอนาคติสกับค่าจริงมีความแตกต่างกันอย่างไร โดยเตรียมสารละลายโพแทสเซียมในเทอร์ทมาตรฐานในโซเดียมไดไฮดรอเจนฟอสเฟต 0.1 มิลลาร์ ที่ความเข้มข้น 1.0×10^{-5} 1.0×10^{-4} 1.0×10^{-3} และ 1.0×10^{-2} มิลลาร์ เพื่อใช้ในการหากราฟมาตรฐานจากนั้นเตรียมสารละลายโพแทสเซียมในเทอร์ทมาตรฐาน 1.0×10^{-5} 1.0×10^{-4} 1.0×10^{-3} 5×10^{-5} 5×10^{-4} และ 5×10^{-3} มิลลาร์ เป็นสารละลายตัวอย่าง และนำไปทำการวิเคราะห์ด้วยเทคนิคแบบซึ่อนเจกชันอนาคติส

ค่าการตอบสนองที่ได้จากการฉีดสารตัวอย่างมาตรฐานจะนำมาคำนวณเป็นความเข้มข้นของในเทอร์ทจากกราฟมาตรฐาน

2.12 การหาระยะเวลาที่เหมาะสมในการใช้ในเทอร์ทซึ่อิเล็กโทรดที่ฟอิเล็กโทรด

การปรับปรุงระบบแบบซึ่อนเจกชันอนาคติสโดยใช้ปuffอกอิเล็กโทรดนั้นถึงแม้จะทำให้ความไวของระบบลดลง แต่เมื่อใช้ระบบวิเคราะห์หาปริมาณในเทอร์ทจากสารละลายน้ำมาระฐาน (2.11) พบร่วมผลการวัดที่ได้คลาดเคลื่อนไปจากค่าจริงอยู่ในช่วง 2-74% จากการสังเกตพบว่าเมื่อระยะเวลาในการทดลองเพิ่มขึ้นสัญญาณการตอบสนองจะค่อยๆลดลง ทั้งนี้อาจจะเนื่องจากส่วนของเมมเบรนอิเล็กโทรดซึ่งเกี่ยวข้องกับการแลกเปลี่ยนไอออนระหว่างของเหลวที่แทรกอยู่ตามกฎพูล

ของเมมเบรนกับไออกอนของสารตัวอย่างมีความส่วนราชการลดลง จึงได้ทดสอบสมมติฐานดังกล่าว และหาทางปรับปรุงระบบให้ดีขึ้นโดยศึกษาปัจจัยต่างๆดังนี้ 2.12.1-2.12.4

ในการทดลองใช้สภาวะในการทดลอง ดังนี้

- อัตราเร็วในการคนในการคนสารละลาย	300	รอบต่อนาที
- อัตราเร็วในการฉีดสารละลาย	4	
- ปลายปีเปตห่างจากเมมเบรนอิเล็กโทรด	2.0	มิลลิเมตร
- ปริมาตรสารละลายตัวอย่าง	20	ไมโครลิตร

2.12.1 ผลของเวลาในการใช้เมมเบรนอิเล็กโทรดที่มีต่อสัญญาณการตอบสนองของ เมมเบรน

ระบบการทดลองนี้วัดความต่างศักย์ไฟฟ้าที่เกิดขึ้นจากการแลกเปลี่ยนไออกอนที่เกิดขึ้นบริเวณผิวน้ำเมมเบรนอิเล็กโทรดระหว่างไออกอนของสารตัวอย่างกับไออกอนของเหลวที่แทรกอยู่ตามรูปที่ 2 จากรายงานของเมมเบรน จากการทดลองพบว่าการที่อิเล็กโทรดแขวนอยู่ในของเหลวเป็นเวลา นานและให้วัดอย่างต่อเนื่องทำให้สัญญาณการตอบสนองลดลง ทั้งนี้อาจจะเนื่องจากสารละลายตัวอย่างมีความเข้มข้นของไออกอนในต่ำน้อยกว่าไออกอนในต่ำที่ในของเหลวที่แทรกอยู่ตามรูปที่ 2 ของเมมเบรน จึงเกิดการเคลื่อนที่ของไออกอนในต่ำที่ในของเหลวซึ่งมีความเข้มข้นสูงกว่าไปยังสารละลายภายในเซลล์ซึ่งมีความเข้มข้นของไออกอนในต่ำน้อยกว่า (Wang, 1984) ทำให้ความสามารถของสารละลายในการแลกเปลี่ยนไออกอนของเมมเบรนลดลงดังนั้นสัญญาณการตอบสนองที่วัดได้จะมากหรือน้อยกว่าจะขึ้นกับระยะเวลาในการใช้เมมเบรนอิเล็กโทรด ได้ทำการศึกษาเพื่อดูว่าระยะเวลาในการใช้เมมเบรนอิเล็กโทรดจะมีผลต่อสัญญาณการตอบสนองอย่างไร โดยฉีดสารละลายโพแทสเซียมในต่ำที่ 1.0×10^{-3} มิลาร์ ลงบนเมมเบรนอิเล็กโทรดอย่างต่อเนื่องจำนวน 100 ครั้ง เป็นเวลา 5 ชั่วโมงและพิจารณาผลการตอบสนองโดยวิธีทางสถิติ (ANOVA)

2.12.2 ผลของระยะเวลาที่เหมาะสมในการจุ่มในต่ำที่เพื่อให้ค่าการตอบสนองคืนสู่สภาพเดิม

จากผลการทดลอง 2.12.1 พบว่า การใช้ในต่ำที่เพื่อให้ค่าการตอบสนองลดลงอย่างมีนัยสำคัญ ซึ่งหากทำการวิเคราะห์ มีค่าความผิดพลาดเกิดขึ้นได้มาก

วิธีแก้ไขคือจุ่มเมมเบรนอิเล็กโทรดในสารละลายโพแทสเซียมในต่ำที่ 0.1 มิลาร์ซึ่งจะทำให้ค่าการตอบสนองดีขึ้น (คุณภาพการใช้ในต่ำที่เพื่อให้ค่าการตอบสนองลดลงอย่างมีนัยสำคัญ ซึ่งหากทำการวิเคราะห์ มีค่าความผิดพลาดเกิดขึ้นได้มาก)

จึงศึกษาหาระยะเวลาที่ใช้จุ่มในสารละลายโพแทสเซียมในเตรทที่น้อยที่สุดที่จะทำให้ค่าการตอบสนองของในเตรಥีเล็กที่พอดีขึ้นและให้ผลที่ไม่แตกต่างอย่างมีนัยสำคัญ และสามารถทำการวิเคราะห์ต่อไป โดยใช้ในเตรಥีเล็กที่พอดีก็จะลดสัญญาณการตอบสนองในระบบเบทชัน เจกชันอนาไลซิสเป็นเวลา 1 ชั่วโมง หลังจากนั้นจุ่มในเตรಥีเล็กที่พอดีก็จะลด ในสารละลายโพแทสเซียมในเตรท 0.1 มิลลาร์ เป็นเวลาต่างๆ กัน คือ 15, 30, 45 หรือ 60 นาที หลังจากนั้นจึงสารละลายลงบนเมมเบรนอิเล็กโทรดและเปรียบเทียบสัญญาณการตอบสนองก่อนและหลังจุ่ม อิเล็กโทรด

2.12.3 การวิเคราะห์หาปริมาณในเตรทในสารละลามมาตรฐาน

จากผลการทดลองข้างต้น พนว่าค่าการตอบสนองของสัญญาณไม่มีความแตกต่างอย่างมีนัยสำคัญในช่วงชั่วโมงแรกที่ทำการวัด จึงทำการศึกษาเพื่อดูว่าในการวิเคราะห์หาปริมาณในเตรทจากสารละลามที่เตรียมขึ้นมา ที่ภายในช่วงเวลา 1 ชั่วโมง โดยเทคนิคเบทชันเจกชันอนาไลซิสมีค่าเทียบกับค่าจริงจะมีความแตกต่างกันอย่างไร โดยเตรียมสารละลามโพแทสเซียมในเตรทมาตรฐานในโซเดียมไดไฮดรอกซิฟอสเฟต 0.1 มิลลาร์ ที่ความเข้มข้น 1.0×10^{-5} 1.0×10^{-4} 1.0×10^{-3} และ 1.0×10^{-2} มิลลาร์ เพื่อใช้ในการหากราฟมาตรฐาน

หลังจากนั้นจึงสารละลามตัวอย่างโพแทสเซียมในเตรทที่เตรียมไว้ที่ความเข้มข้น 1.0×10^{-5} 1.0×10^{-4} 1.0×10^{-3} 5×10^{-5} 5×10^{-4} และ 5×10^{-3} มิลลาร์ นำค่าการตอบสนองที่ได้มาคำนวณเป็นความเข้มข้นของในเตรทจากกราฟมาตรฐาน

2.13 อายุการใช้งานของเมมเบรนอิเล็กโทรด

จากการทดลองเมื่อใช้ลิควิดเมมเบรนอิเล็กโทรดไปประมาณ 150 ชั่วโมง อิเล็กโทรดจะให้ค่าการตอบสนองต่ำลงมาก และต้องใช้เมมเบรนอันใหม่ นอกจากนี้ยังพบว่าในขณะที่เมมเบรนยังใช้งานได้ เมื่ออิเล็กโทรดทำการทดลองอย่างต่อเนื่องค่าการตอบสนองต่อตัวอย่างความเข้มข้นเดียวกันยังมีความแตกต่างอย่างมีนัยสำคัญ ทั้งนี้จะเนื่องจากไม่เกิดก่อตัวของกราฟแลกเปลี่ยนไออกอนถูกล้างออกไป ด้วยเหตุนี้จึงพิจารณาหากำลังการใช้งานของเมมเบรนอิเล็กโทรดโดยพิจารณาการตอบสนองของเมมเบรนอิเล็กโทรดที่ การตอบสนองเมื่อเริ่มการทดลอง 30 60 90 120 และ 150 ชั่วโมง โดยผลการวิเคราะห์นั้นจะเปรียบเทียบขนาดของสัญญาณและความไวของระบบ รวมทั้งทดสอบทางสถิติหากะยะเวลาในการใช้เมมเบรนอิเล็กโทรดที่จะให้ผลที่ไม่มีความแตกต่างอย่างมีนัยสำคัญ

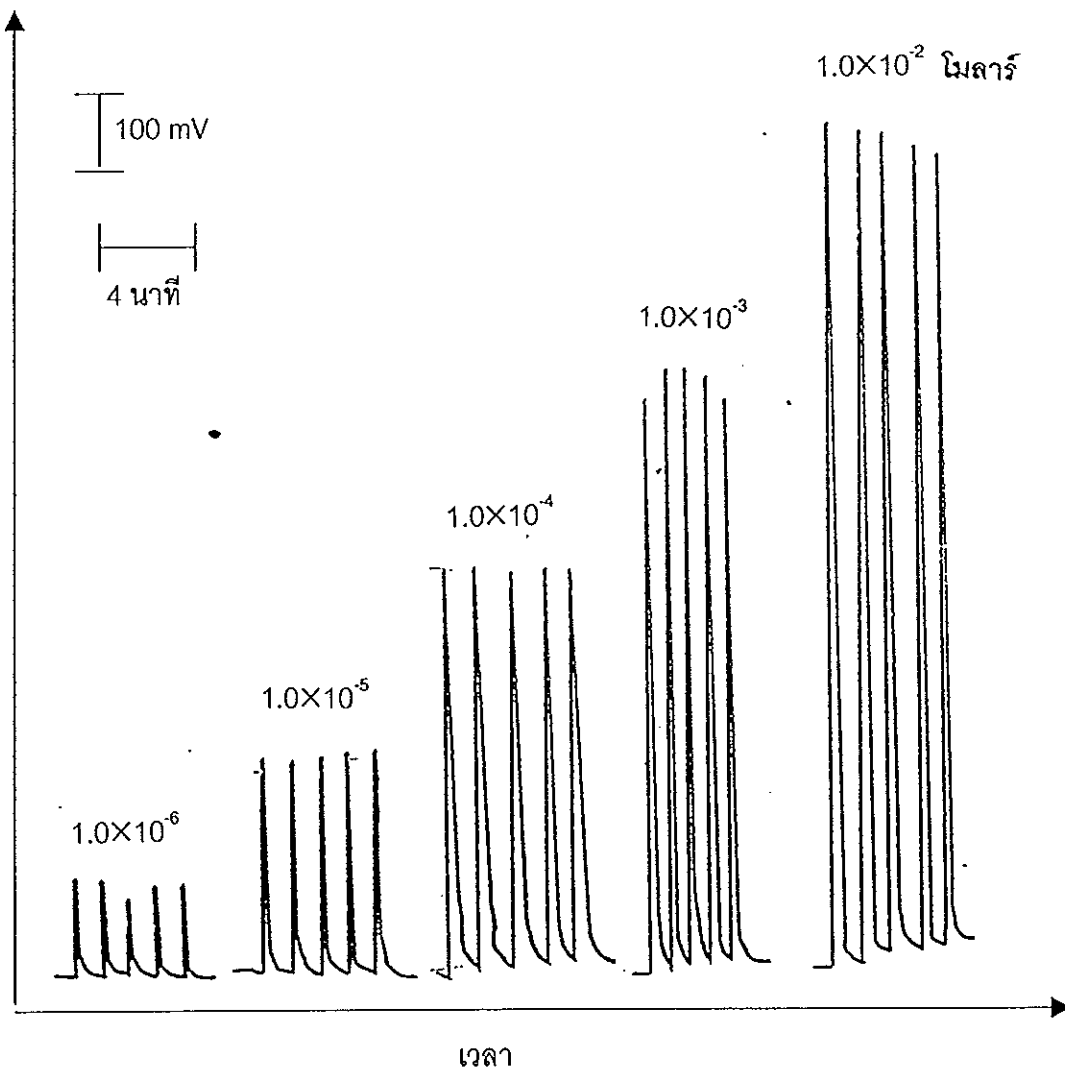
บทที่ 3

ผลและการอภิปรายผล

3.1 ลักษณะของสัญญาณการตอบสนอง

ในระบบแบบทรูนเจกชันอนาคตใหม่ เมื่อจัดสารละลายตัวอย่างลงบนผิวน้ำเมมเบรน อิเล็กโทรดสัญญาณที่ได้จะเป็นเส้นเรียบ ซึ่งเป็นระดับอ้างอิงหรือเบสไลน์ เมื่อจัดสารละลายตัวอย่างลงบนผิวน้ำอิเล็กโทรดจะเกิดการแลกเปลี่ยนระหว่างไอโอนของสารตัวอย่างกับไอโอนในของเหลวที่แทรกอยู่ในเมมเบรนที่ผิวน้ำของเมมเบรนอิเล็กโทรดเกิดความต่างศักย์ไฟฟ้าขึ้นและความต่างศักย์ไฟฟ้าที่เกิดขึ้นนี้ขึ้นอยู่กับความเข้มข้นของไอโอนในเตรทในสารละลายตัวอย่าง โดยที่ความต่างศักย์ไฟฟ้าจะเพิ่มขึ้นเมื่อความเข้มข้นของไอโอนในเตรทในสารละลายตัวอย่างเพิ่มขึ้น (ภาพประกอบ 7) ในขณะที่เกิดการแลกเปลี่ยนไอโอนนี้สารละลายในเซลล์ยังมีการคนอญ่าตตลอดเวลา ดังนั้นสารตัวอย่างก็จะพร่องออกไปจากบริเวณผิวน้ำเมมเบรนอิเล็กโทรด ทำให้สัญญาณการตอบสนองที่เกิดขึ้นมีค่าลดลงจนกลับสู่เบสไลน์พร้อมที่จะทำการวิเคราะห์ในครั้งต่อไป ในการวิเคราะห์สารตัวอย่างข้อมูลที่ใช้คือ ความสูงของสัญญาณการตอบสนองที่เกิดจากการแลกเปลี่ยนไอโอน โดยที่ความสูงของสัญญาณและเวลาต่อสัญญาณจะเป็นสัดส่วนกับความเข้มข้นของสารละลายตัวอย่าง

ศักย์ไฟฟ้า



ภาพประกอบ 7 สัญญาณการตอบสนองที่ความเข้มข้นของสารละลายโพแทสเซียม
ในเตราทต่างๆ กัน

3.2 การหาสภาวะที่เหมาะสมของปัจจัยพื้นฐานของระบบแบบอินเจกชันอนาไลซิส

ในการศึกษาปัจจัยพื้นฐานเพื่อหาสภาวะที่เหมาะสมที่สุดของระบบแบบอินเจกชันอนาไลซิสในแต่ละปัจจัยจะทดลอง 8 ชุด ใน 8 ชุดจะทดสอบแต่ละปัจจัยจากค่าที่น้อยที่สุดไปค่าที่มากที่สุดและจากค่าที่มากที่สุดไปค่าที่น้อยที่สุด 4 ชุด โดยทดลองค่าละ 5 ครั้ง จากการทดลองทุกปัจจัยพบว่าไม่ว่าจะทดสอบจากค่าน้อยไปมากหรือมากไปน้อยจะให้ผลในลักษณะเดียวกัน ดังนั้นจึงแสดงด้วยรูปถ่ายผลการทดลองเพียงปัจจัยละ 3 ชุด ในกรณีเคราะห์ผลให้วิธีเรียนกราฟและพิจารณาผลที่ดีที่สุด โดยพิจารณาจากค่าที่ให้สัญญาณการตอบสนองสูงสุด ใช้เวลาวิเคราะห์น้อยที่สุด และเนื่องจากการวิเคราะห์ผลที่ได้จะนำค่าเฉลี่ยจากการซีดสารละลายตัวอย่าง 5 ครั้ง จึงพิจารณาค่าเบี่ยงเบนมาตรฐานซึ่งเป็นค่าที่ใช้แสดงถึงความเที่ยงของ การทดลองที่ทำขึ้นหลักๆ 5 ครั้ง และถ้าค่าเบี่ยงเบนมาตรฐานมีค่าต่ำก็แสดงว่าการทดลองนั้นมีความเที่ยงสูง

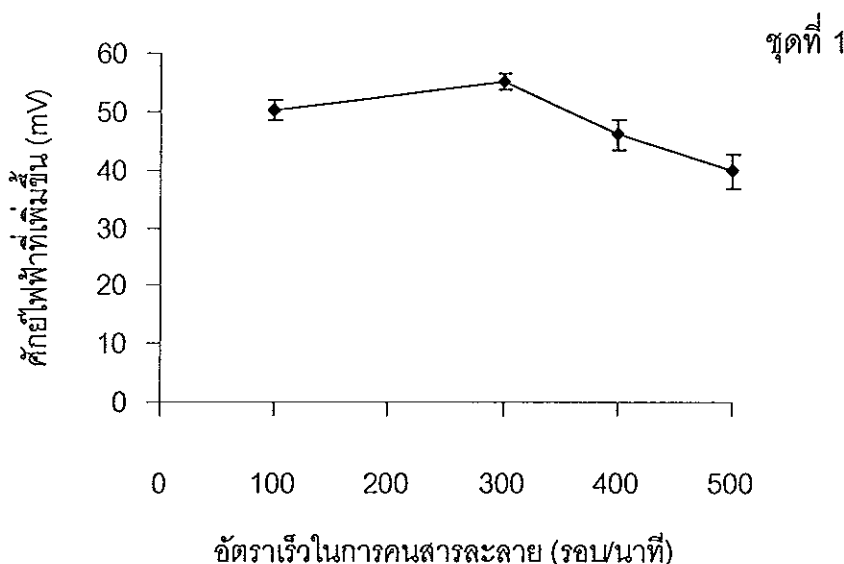
3.2.1 ผลของอัตราการคนสารละลาย

จากการศึกษาผลของอัตราเร็วในการคนสารละลาย 100, 300, 400 และ 500 รอบต่อนาที (2.5.1) พบว่าขนาดของสัญญาณการตอบสนอง(ค่าศักย์ไฟฟ้าที่เพิ่มขึ้น) จะสูงที่สุดที่อัตราเร็ว 300 รอบต่อนาที (ตาราง 1 ภาพประกอบ 8) การที่อัตราเร็ว 400 และ 500 รอบต่อนาที ให้สัญญาณการตอบสนองที่ต่ำกว่า เนื่องจากการคนสารละลายเป็นการเร่งการเคลื่อนที่ของไอโอดินออกจากริเวณผิวน้ำอิเล็กโทรด (Bard and Faulkner, 1980) ซึ่งทำให้ระบบเข้าสู่สภาวะสมดุลเร็วขึ้น แต่ถ้าสารตัวอย่างเคลื่อนที่ออกจากผิวน้ำอิเล็กโทรดเร็วเกินไป การแลกเปลี่ยนไอโอดินของระบบนี้จึงไม่ถึงสภาวะสมดุลที่แท้จริง (เพ็ญศรี ทองนพเนื้อ, 2539) ส่วนที่อัตราเร็ว 100 รอบต่อนาที ให้สัญญาณการตอบสนองต่ำกว่าเท่านั้น เพราะอัตราการคนสารละลายต่ำทำให้สารที่อยู่ที่ผิวน้ำอิเล็กโทรดเคลื่อนที่ออกจากผิวน้ำได้ช้าไอก่อนในสารตัวอย่างที่จะเข้าไปแทนที่จะแพร่ไปยังส่วนอื่นๆ ในเซลล์ก่อนที่จะเกิดการแลกเปลี่ยนไอก่อนกับอิเล็กโทรด ซึ่งเป็นผลเนื่องจากความแตกต่างระหว่างความเข้มข้นของสารละลายที่ซีดลงไปกับสารละลายภายในเซลล์ (ในการทดลองเบื้องต้นได้ใช้อัตราเร็ว 200 รอบต่อนาทีด้วย แต่พบว่าให้สัญญาณการตอบสนองใกล้เคียงกับที่ 100 รอบต่อนาที) ส่วนเวลาต่อสัญญาณมีค่าน้อยลงเมื่ออัตราเร็วในการคนสารละลายเพิ่มขึ้น (ตาราง 1 ภาพประกอบ 9) เนื่องจากเมื่ออัตราเร็วในการคนสารละลายเพิ่มขึ้นการแพร่กระจายของสารละลายตัวอย่างเกิดได้เร็วขึ้น

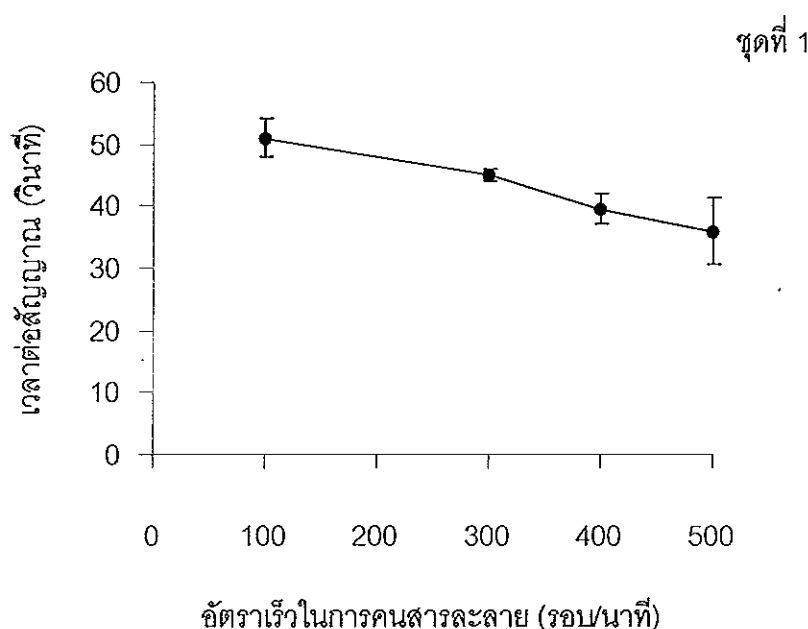
เมื่อพิจารณาแล้วอัตราเร็วในการคนสารละลายที่เหมาะสมที่สุดคือ 300 รอบต่อนาที เนื่องจากให้สัญญาณการตอบสนองสูงที่สุด ค่าเบี่ยงเบนมาตรฐานต่ำที่สุด และใช้เวลาไม่นานนัก

ตาราง 1 ขนาดของสัญญาณการตอบสนองและเวลาต่อสัญญาณที่อัตราเร็วในการคนสาหระละลายต่างกัน

อัตราเร็วในการคน สารละลาย (รอบ/นาที)	ศักย์ไฟฟ้าที่เพิ่มขึ้น			เวลาต่อสัญญาณ			
	(mV)			(วินาที)			
	ชุดที่			ชุดที่			
1	2	3	1	2	3		
100	50.2±1.8	51.0±1.6	54.0±1.6	51.0±3.2	51.2±2.7	50.0±1.6	
300	55.2±1.3	54.6±1.5	50.0±1.6	45.0±1.0	42.0±2.7	42.0±2.2	
400	46.0±2.6	46.6±2.6	46.4±1.9	39.6±2.4	36.6±3.0	35.2±4.4	
500	39.8±2.9	35.8±2.2	37.2±1.9	36.0±5.3	30.0±4.5	29.6±3.6	



ภาพประกอบ 8 ความสัมพันธ์ระหว่างสัญญาณการตอบสนองกับอัตราเริ่วในการคุณสารละลาย
(ชุดที่ 1 จากตาราง 1 ชุดเดียวกันให้ผลในลักษณะเดียวกัน)



ภาพประกอบ 9 ความสัมพันธ์ระหว่างเวลาต่อสัญญาณกับอัตราเริ่วในการคุณสารละลาย
(ชุดที่ 1 จากตาราง 1 ชุดเดียวกันให้ผลในลักษณะเดียวกัน)

3.2.2 ผลของอัตราเร็วที่ใช้ในการจัดสารละลาย

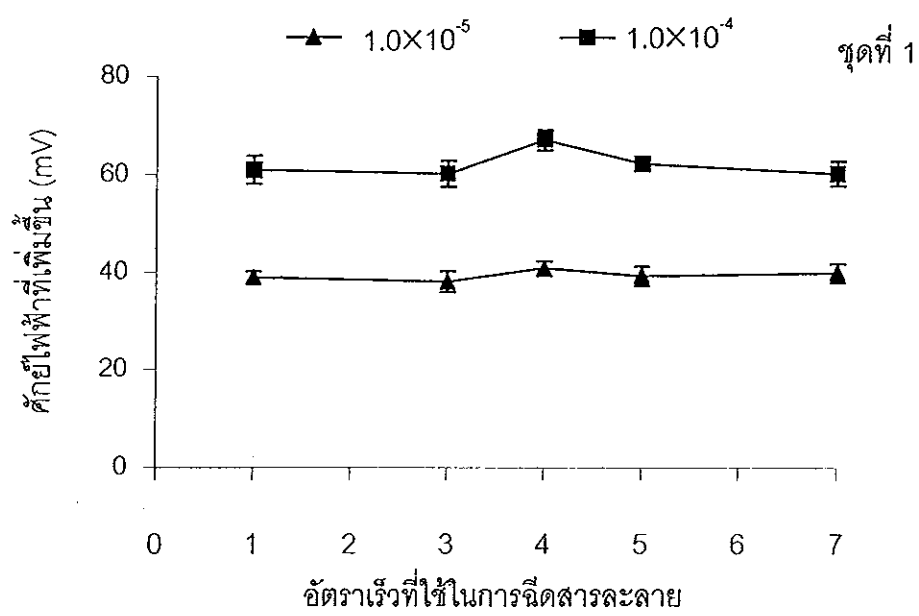
เมื่อศึกษาผลของอัตราเร็วที่ใช้ในการจัดสารละลายตัวอย่าง โดยเครื่อง EDOS 5221 (2.5.2) โดยทำการทดลองที่ความเข้มข้นของโพแทสเซียมในเทราท 1.0 $\times 10^{-5}$ และ 1.0 $\times 10^{-4}$ มิลาร์ พบว่า สัญญาณการตอบสนองจะสูงสุดที่อัตราเร็ว 4 (ตาราง 2 ภาพประกอบ 10) อัตราเร็วในการจัดสารละลายตัวอย่างที่มากกว่า คือ 1 และ 3 จะให้การเปลี่ยนแปลงของศักย์ไฟฟ้าต่ำ ทั้งนี้ น่าจะเนื่องจากมีความแตกต่างระหว่างความเข้มข้นของสารละลายที่จัดลงไปกับสารละลายภายในเซลล์ เมื่ออัตราเร็วของการเดินทางของสารละลายตัวอย่างซึ่งทำให้สารตัวอย่างที่ใช้ซึ่งมีปริมาณน้อยถูกเจือจากโดยแพร่ไปยังสารละลายในเซลล์ซึ่งมีความเข้มข้นของไอโอดินต่ำกว่า (Bard and Faulkner, 1980) ก่อนที่จะไปถึงบริเวณผิวน้ำอิเล็กโทรด

เมื่อใช้อัตราเร็วในการจัดสารละลายตัวอย่างเร็วเกินไป คือ อัตราเร็ว 5 และ 7 ก็จะให้ค่าการตอบสนองต่ำกว่าเดิมกัน เพราะเมื่อจัดสารละลายตัวอย่างเร็วเกินไปจะทำให้สารละลายตัวอย่างถูกดันให้แพร่กระจายออกไปจากบริเวณผิวน้ำอิเล็กโทรดก่อนที่จะเกิดการแลกเปลี่ยนไอโอดิน และเมื่อพิจารณาค่าเบี่ยงเบนมาตรฐานสัมพัทธ์เฉลี่ยระหว่างความเข้มข้นของโพแทสเซียมในเทราท 1.0 $\times 10^{-5}$ และ 1.0 $\times 10^{-4}$ มิลาร์ ของอัตราเร็ว 1, 3, 4, 5 และ 7 จะมีค่าใกล้เดียงกัน คือ 5 %, 5 %, 3 %, 5 % และ 5% ตามลำดับ

ในการวิเคราะห์จึงเลือกใช้อัตราเร็วในการจัดสารละลายโพแทสเซียมในเทราทที่ อัตราเร็ว 4 เนื่องจากให้สัญญาณการตอบสนองสูงที่สุด

ตาราง 2 ขนาดของสัญญาณการตอบสนองเมื่อใช้อัตราเร็วในการฉีดสารละลายต่างๆ กัน

อัตราเร็วในการฉีดสารละลาย	ศักยภาพเพิ่มขึ้น (mV)					
	ความเข้มข้นของสารละลายโพแทสเซียมในต่ำ (ไมลาร์)					
	1.0×10^{-5}			1.0×10^{-4}		
	ชุดที่			ชุดที่		
	1	2	3	1	2	3
1	38.9 ± 1.3	39.6 ± 2.4	23.2 ± 1.2	61.0 ± 2.9	58.7 ± 2.8	49.8 ± 3.0
3	38.1 ± 2.1	39.0 ± 2.4	23.0 ± 0.2	60.2 ± 2.7	59.5 ± 2.2	55.0 ± 2.7
4	40.8 ± 1.5	39.9 ± 1.9	23.5 ± 0.5	67.0 ± 2.1	61.7 ± 1.6	55.9 ± 1.8
5	39.3 ± 2.0	39.4 ± 1.7	22.6 ± 1.0	62.3 ± 1.0	61.6 ± 3.4	54.9 ± 3.0
7	39.9 ± 1.9	39.1 ± 2.4	22.2 ± 1.0	60.3 ± 2.5	60.3 ± 3.0	53.8 ± 2.9



ภาพประกอบ 10 ความสัมพันธ์ระหว่างสัญญาณการตอบสนองกับอัตราเร็วที่ใช้ในการฉีดสารละลาย (ชุดที่ 1 จากตาราง 2 ชุดอื่นๆ ให้ผลในลักษณะเดียวกัน)

3.2.3 ผลของระยะห่างระหว่างปลายปีเปตกับเมมเบรนอิเล็กโทรด

ขณะที่ทำการทดลองเพื่อศึกษาหาสภาวะที่เหมาะสมต่างๆ ดังกล่าวข้างต้น จะได้

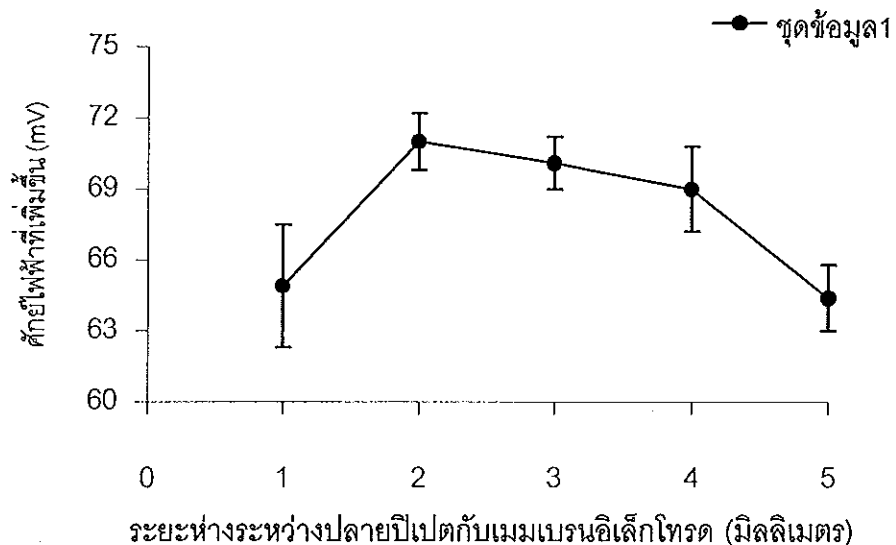
ระยะห่างระหว่างปลายปีเปตกับเมมเบรนอิเล็กโทรด 2.0 มิลลิเมตร เนื่องจากเป็นระยะที่เหมาะสมที่สุดจากการศึกษาของ Chen และคณะ (Chen et al., 1993) และเมื่อได้ศึกษาผลของระยะห่างระหว่างปลายปีเปตกับเมมเบรนอิเล็กโทรดในระบบบี (2.5.3) พบว่าที่ระยะห่างระหว่างปลายปีเปต กับเมมเบรนอิเล็กโทรดเป็น 2.0 และ 3.0 มิลลิเมตร จะให้ค่าการตอบสนองสูงกว่าที่ระยะอื่นๆ

(ตาราง 3 ภาพประกอบ 11) ทั้งนี้เนื่องจากเมื่อระยะห่างระหว่างปลายปีเปตกับเมมเบรนอิเล็กโทรดมากเกินไป (4.0 และ 5.0 มิลลิเมตร) โอกาสที่สารตัวอย่างซึ่งมีความเข้มข้นสูงจะแพร่ไปยังสารละลายที่อยู่ในเซลล์ที่มีความเข้มข้นต่ำกว่าเกิดได้มากขึ้น (Bard and Faulkner, 1980) สารละลายตัวอย่างที่จะไปแลกเปลี่ยนไออกอนที่ผิวน้ำเมมเบรนอิเล็กโทรดจึงลดน้อยลง ทำให้สัญญาณที่วัดได้มีขนาดลดลง ส่วนที่ระยะห่างระหว่างปลายปีเปตกับเมมเบรนอิเล็กโทรดน้อยเกินไป (1.0 มิลลิเมตร) สัญญาณที่ได้ก็จะต่ำเช่นกัน เพราะเมื่อปลายปีเปตอยู่ใกล้อิเล็กโทรดมากสารละลายตัวอย่างที่จัดลงบนเมมเบรนอิเล็กโทรด จะถูกดันให้ออกไปจากผิวน้ำของเมมเบรนอิเล็กโทรดได้เร็ว กว่าเมื่อปีเปตอยู่ห่างออกไป ทำให้สารตัวอย่างมีเวลาสัมผัสกับผิวน้ำของเมมเบรนอิเล็กโทรดน้อย และเมื่อค่าเบี่ยงเบนมาตรฐานสัมพัทธ์เคลื่อน 3 ชุด ที่ระยะห่างระหว่างปลายปีเปตกับเมมเบรนอิเล็กโทรด 1.0 2.0 3.0 4.0 และ 5.0 มิลลิเมตร จะมีค่าเท่ากับ 4 % 2 % 3 % 3 % และ 2 % ตามลำดับ

ระยะที่เหมาะสมควรจะเป็นระยะที่ให้ค่าการตอบสนองสูงประกอบกับค่าเบี่ยงเบนมาตรฐานสัมพัทธ์ที่ต่ำ ดังนั้นระยะห่างระหว่างระยะ 2.0 มิลลิเมตร และ 3.0 มิลลิเมตร จึงเลือกที่จะใช้ระยะห่างระหว่างปลายปีเปตจากเมมเบรนอิเล็กโทรด 2.0 มิลลิเมตร เนื่องจากให้ค่าการตอบสนองเคลื่ย 3 ชุดใกล้เคียงกับที่ระยะ 3.0 มิลลิเมตร แต่ให้ค่าเบี่ยงเบนมาตรฐานสัมพัทธ์น้อยกว่า

ตาราง 3 ขนาดของสัญญาณการตอบสนองกับระยะห่างระหว่างปลายปีเปตกับเมมเบรนอิเล็กโทรด

ระยะห่างระหว่างปลายปีเปตกับเมมเบรนอิเล็กโทรด (มิลลิเมตร)	ศักย์ไฟฟ้าที่เพิ่มขึ้น (mV)		
	ชุดที่		
	1	2	3
1	64.9 ± 2.6	62.3 ± 3.9	64.8 ± 1.6
2	71.0 ± 1.2	65.3 ± 1.4	65.8 ± 0.9
3	70.1 ± 1.1	65.5 ± 1.9	65.3 ± 2.0
4	69.0 ± 1.8	65.0 ± 2.0	65.0 ± 2.0
5	64.4 ± 1.4	63.8 ± 1.7	64.4 ± 1.4



ภาพประกอบ 11 ความสัมพันธ์ระหว่างสัญญาณการตอบสนองกับระยะห่างระหว่างปลายปีเปตกับเมมเบรนอิเล็กโทรด (ชุดที่ 1 จากตาราง 3 ชุดอื่นๆให้ผลในลักษณะเดียวกัน)

3.2.4 ผลของปริมาณของสารละลายตัวอย่าง

จากการศึกษาผลของปริมาตรที่ให้ในการฉีดสารละลายตัวอย่าง (2.5.4) พบว่า ที่ปริมาตรสารละลายตัวอย่างน้อย สัญญาณการตอบสนองก็จะน้อย (ตาราง4 ภาพประกอบ12) เนื่องจากเมื่อในเตรียมีปริมาณน้อยการแลกเปลี่ยนไอโอดินบริเวณผิวน้ำอิเล็กโทรดก็จะน้อยตามไปด้วย อีกทั้งขณะที่ฉีดสารละลายลงไปในระบบ ไอโอดินในสารละลายที่ถูกพาเข้าหาผิวน้ำอิเล็กโทรดจะถูกเจือจาง โดยพร้อมไปยังสารละลายภายในเซลล์บางส่วน ทำให้สารละลายเจือจางลงจากเดิม นอกจากนี้การคนสารละลายเป็นการเร่งการเคลื่อนที่ของไอโอดินบริเวณผิวน้ำอิเล็กโทรดทำให้ระบบเข้าสู่สภาวะสมดุลเร็วขึ้นซึ่งอาจจะไม่ใช้สภาวะสมดุลที่แท้จริง (เพ็ญศรี ทองนพเนื้อ, 2539) ทำให้สัญญาณการตอบสนองที่ได้ต่ำ เมื่อเพิ่มปริมาตรของสารละลายตัวอย่าง สัญญาณการตอบสนองจะเพิ่มสูงขึ้น จนกระทั่งถึงที่ปริมาตร 25 ไมโครลิตร หลังจากนั้นแม้ว่าจะเพิ่มปริมาตรของสารละลายตัวอย่างมากขึ้นเพียงใดก็ตาม สัญญาณการตอบสนองได้จะเพิ่มขึ้นเล็กน้อย หรือมีค่าเกือบคงที่ เพราะพื้นที่ผิวน้ำอิเล็กโทรดมีบริเวณจำกัดถึงแม่ปริมาตรสารละลายตัวอย่างจะมาก แต่ส่วนที่จะสัมผัสถกับสารแลกเปลี่ยนไอโอดินซึ่งอยู่บริเวณผิวน้ำอิเล็กโทรดมีได้มากที่สุดเท่ากับพื้นที่ผิวน้ำอิเล็กโทรดเท่านั้น

จากการทดลองนี้จึงสามารถสรุปได้ว่าปริมาตรที่เหมาะสมที่สุดคือ 20 ไมโครลิตร ซึ่งให้ค่าการตอบสนองสูงสุดกับค่าเบี่ยงเบนมาตรฐานที่ต่ำ

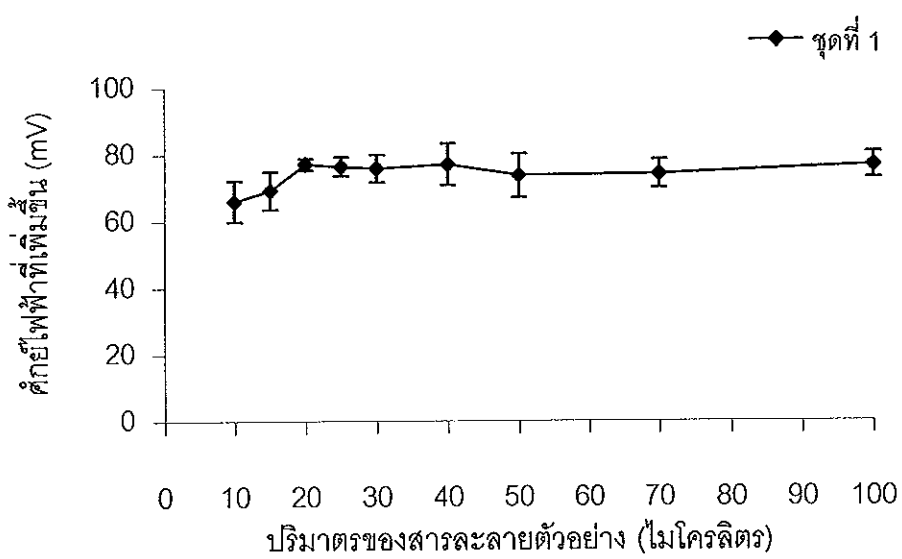
จากการศึกษาหาสภาวะที่เหมาะสมของปั๊จจัยพื้นฐานของระบบแบบห้องเจกซัน
อนาคต สูปเปิดตั้งนี้

- อัตราเร็วในการคนสารละลาย	300	รอบต่อนาที
- อัตราเร็วในการฉีดสารละลาย	4	
- ระยะห่างระหว่างปลายปิปเปตกับเมมเบรนอิเล็กโทรด	2	มิลลิเมตร
- ปริมาตรของสารละลายตัวอย่าง	20	ไมโครลิตร

ที่สภาวะดังกล่าวใช้เวลาต่อสัญญาณ 35 - 60 วินาที (ซึ่งอยู่กับความเข้มข้นของตัวอย่าง) นั่นคือสามารถวิเคราะห์ตัวอย่างได้ 60 - 100ครั้งต่อหนึ่งชั่วโมง

ตาราง 4 ขนาดของสัญญาณการตอบสนองกับปริมาณสารละลายน้ำอย่าง

ปริมาณของ สารละลายน้ำอย่าง (ไมโครลิตร)	ศักย์ไฟฟ้าที่เพิ่มขึ้น (mV)		
	ชุดที่		
	1	2	3
10	66.0 ± 6.1	72.3 ± 8.7	73.2 ± 5.6
15	69.2 ± 5.6	77.6 ± 5.5	72.5 ± 5.4
20	77.1 ± 1.7	78.0 ± 2.8	75.5 ± 4.1
25	76.4 ± 2.8	72.5 ± 6.0	76.5 ± 8.2
30	75.8 ± 4.1	67.6 ± 7.1	70.0 ± 6.4
40	77.0 ± 6.2	67.9 ± 5.1	68.7 ± 2.8
50	73.7 ± 6.5	66.9 ± 4.9	67.6 ± 5.1
70	74.2 ± 4.2	71.0 ± 3.3	70.8 ± 4.2
100	76.8 ± 3.8	67.8 ± 3.1	68.9 ± 3.1



ภาพประกอบ 12 ความสัมพันธ์ระหว่างสัญญาณการตอบสนองกับปริมาณสารละลายน้ำอย่าง (ชุดที่ 1 ตาราง 4 ชุดอื่นให้ผลในลักษณะเดียวกัน)

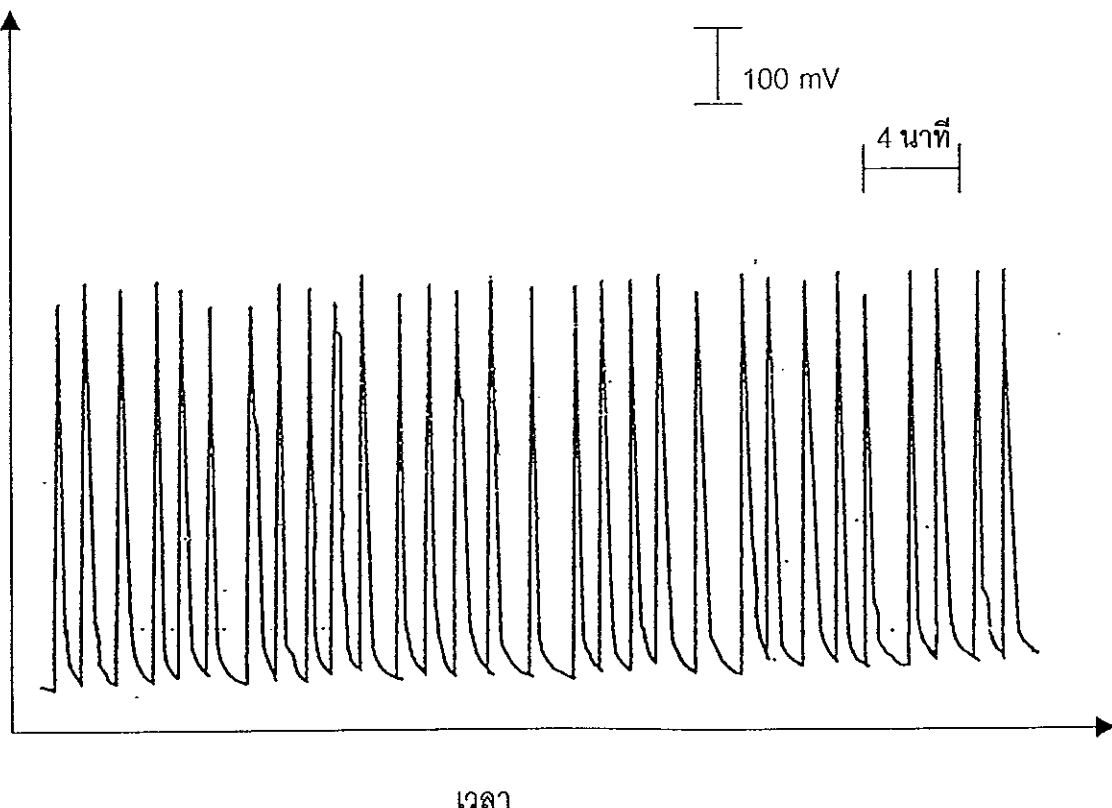
3.3 การหาสภาวะที่เหมาะสมในการวิเคราะห์ในตรวจ

3.3.1 ความเที่ยงของในตรวจที่เล็กที่ฟอกเล็กໂทรด

ในการศึกษาความเที่ยงของการวิเคราะห์ในตรวจด้วยในตรวจที่เล็กที่ฟอกเล็กໂทรดในเทคนิคแบบทซึ่นจากชั้นอนาໄලซิส (2.6.1) โดยจัดสารละลายโพแทสเซียมในตรวจ 1.0×10^{-4} มิลาร์ ออย่างต่อเนื่อง 30 ครั้ง (ภาพประกอบ 13) พบว่า ค่าเฉลี่ยของการตอบสนองเป็น 69.1 ± 1.3 mV ซึ่งคิดเป็นค่าเบี่ยงเบนมาตรฐานสัมพัทธ์ 2 %

ถ้าแบ่งกลุ่มการทดลองกลุ่มละ 5 ครั้ง จะได้ค่าการตอบสนองเฉลี่ยของแต่ละชุดเป็น 68.9 ± 0.1 68.3 ± 2.0 69.0 ± 1.0 69.5 ± 0.6 69.0 ± 1.8 และ 69.8 ± 1.4 mV ตามลำดับ ซึ่งใกล้เคียงกับเมื่อทดลอง 30 ครั้งและมีค่าเบี่ยงเบนมาตรฐานใกล้เคียงกัน ค่าเบี่ยงเบนมาตรฐานสัมพัทธ์ 0.2 % 2.9 % 1.5 % 0.9 % 2.6 % และ 2.0 % ซึ่งเป็นค่าเบี่ยงเบนมาตรฐานสัมพัทธ์ที่ต่ำ ดังนี้ในทุกการทดลองต่อๆมาจึงจัดสารละลายตัวอย่าง 5 ครั้งและใช้ค่าเฉลี่ยมาตียนกราฟ และพิจารณาผลที่ได้ที่สุดจากการ ซึ่งสรุปได้ว่าผลการวิเคราะห์ของเทคนิคนี้มีความเที่ยงเป็นที่ยอมรับได้ (ค่า F ที่คำนวณได้สูงกว่า $F_{0.05}$ จากตาราง แสดงว่าความแตกต่างไม่มีนัยสำคัญ) (เพศาล เหล่าสุวรรณ, 2535)

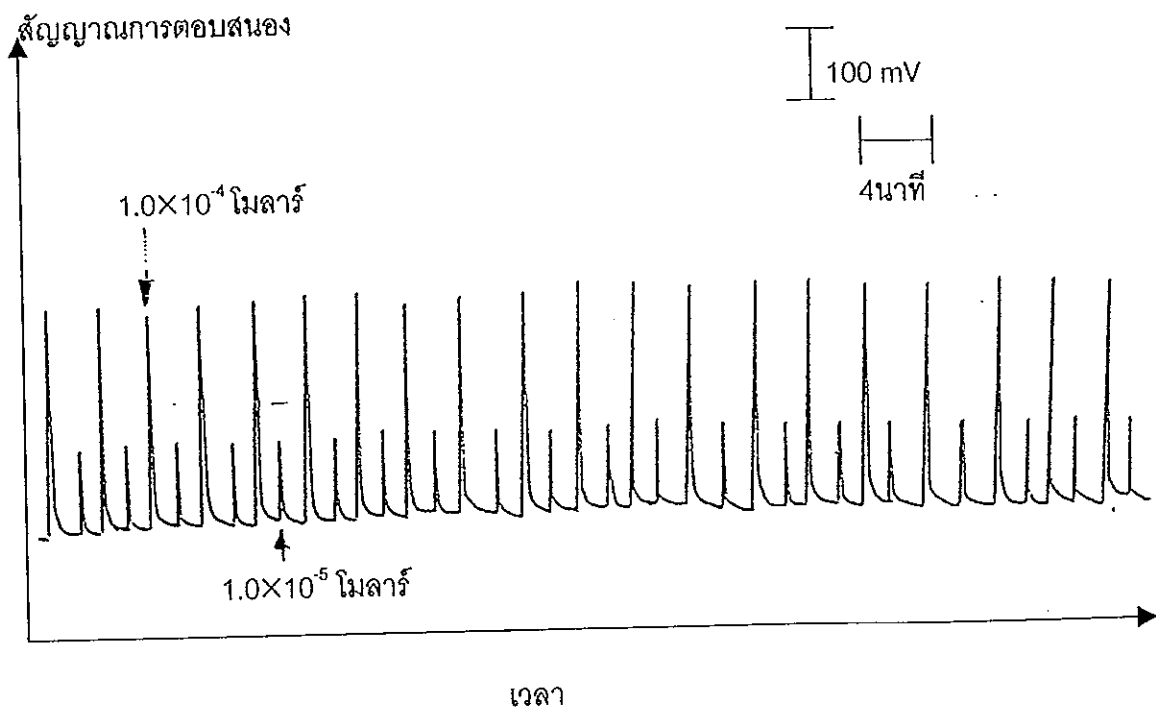
สัญญาณการตอบสนอง



ภาพประกอบ 13 การตอบสนองของในเตราที่เล็กที่พ่อเล็กโกรดในเทคนิคแบบร่องเจกชัน
アナライシスメモジックラムピングスイッチを用いてテラ 1.0 × 10⁻⁴ ノルモル モル
ต่อเนื่อง 30 ครั้ง ค่าเฉลี่ยของการตอบสนอง เท่ากับ 69.1 ± 1.3 mV
ซึ่งคิดเป็นค่าเบี่ยงเบนมาตรฐานสัมพัทธ์ 2 %

3.3.2 ผลของความเข้มข้นของสารตัวอย่างที่ฉีดไปแล้ว

เนื่องจากการวิเคราะห์น้ำบริโภคสารโดยใช้เทคนิคแบบห้องเจกชันอนาคติสจะวัดสารอย่างต่อเนื่อง โดยที่สารตัวอย่างที่ฉีดไปแล้วจะต้องไม่มีผลต่อการวัดสารตัวอย่างที่จะวิเคราะห์ในครั้งต่อไป ในการทดลอง 2.6.2 ชุดที่ 1 เมื่อฉีดสารละลายน็อกเกลส์เชียมในเตรท 1.0×10^{-5} สลับกับ 1.0×10^{-4} มิลลาร์ อย่างต่อเนื่อง 20 ชุด (ภาพประกอบ 14) พบว่า ค่าเฉลี่ยของการตอบสนองต่อสารละลายน็อกเกลส์เชียม 1.0×10^{-5} มิลลาร์ เป็น 22.7 ± 0.3 mV และสำหรับ 1.0×10^{-4} มิลลาร์ เป็น 59.6 ± 1.3 mV ซึ่งให้ค่าเบี่ยงเบนมาตรฐานสัมพัทธ์ 1% และ 2% ตามลำดับ จากผลการทดลองดังกล่าวจะเห็นว่าความเข้มข้นของสารตัวอย่างที่ฉีดไปแล้วจะไม่มีผลต่อผลการวิเคราะห์สารตัวอย่างครั้งต่อไป



ภาพประกอบ 14 การตอบสนองของไนเตรทซีเลกทิฟอิเล็กโทรดที่ใช้ร่วมกับเทคนิคแบบห้องเจกชันอนาคติส เมื่อฉีดสารละลายน็อกเกลส์เชียมในเตรท 1.0×10^{-5} สลับกับ 1.0×10^{-4} มิลลาร์ 20 ครั้ง

ในระบบการทดลองหลังจากฉีดสารตัวอย่างลงไปในเซลล์หลายครั้ง สารละลายภายในเซลล์จะมีความเข้มข้นของสารตัวอย่างอยู่ในระดับหนึ่ง ซึ่งอาจจะมีผลทำให้ค่าการตอบสนองของอิเล็กโทรดต่างไปจากเมื่อไม่มีสารตัวอย่าง จากการทดลอง 2.6.2 ชุดที่ 2 พบว่า เมื่อฉีดสารละลายโพแทสเซียมในเตรท 1.0×10^{-4} มิลาร์ 20 ในครอสิตรา 100 ครั้ง จะได้ค่าการตอบสนองเฉลี่ย 25.8 ± 2.5 mV คิดเป็นค่าเบี่ยงเบนมาตรฐานสัมพห์ที่ 10% หลังจากเปลี่ยนสารละลายในเซลล์ใหม่โดยเติมสารละลายโพแทสเซียมในเตรท 1.0×10^{-4} มิลาร์ 2.0 มิลลิลิตร ลงไปทำให้สารละลายภายในเซลล์มีความเข้มข้นของในเตรท 2.85×10^{-7} มิลาร์ เมื่อฉีดสารละลายโพแทสเซียมในเตรท 1.0×10^{-4} มิลาร์ 20 ในครอสิตราจำนวน 100 ครั้ง จะได้ค่าการตอบสนองเฉลี่ย 25.3 ± 3.0 mV ซึ่งให้ค่าเบี่ยงเบนมาตรฐานสัมพห์ที่ 12% ซึ่งสรุปได้ว่าสารตัวอย่างที่ฉีดลงบนเมมเบรนอิเล็กโทรด จะไม่มีผลต่อการทดลองในครั้งต่อไป และค่าการตอบสนองแตกต่างอย่างไม่มีนัยสำคัญทดสอบโดย ANOVA ที่ระดับความแตกต่าง 5%

3.3.3 ขีดจำกัดต่ำสุดในการตรวจวัด

การศึกษาขีดจำกัดต่ำสุดในการตรวจวัด (2.6.3) พบว่าความเข้มข้นของในเตรทที่ให้สัดส่วนระหว่างสัญญาณการตอบสนองต่อสัญญาณรบกวนเท่ากับ 2 (Christian, 1980; Strobel, 1973) คือขีดจำกัดต่ำสุดของระบบการทดลองซึ่งอยู่ที่ความเข้มข้นของในเตรท 1.0×10^{-5} มิลาร์

3.3.4 ผลของคลอไพริดและบอร์ไมด์

โดยอนบางชนิด เช่น คลอไพริด บอร์ไมด์ และไนโตรฟิล์บอร์ไนโตรฟิลิกโทรด (คุณมีการใช้ในเตรทที่ใช้ไฟฟ้าอิเล็กโทรด ของบริษัทเอดิโนมิเตอร์ โคเพนไฮ根) จากการวิเคราะห์โดย ANOVA ที่ระดับความแตกต่าง 5% พบว่า

- เมื่อสารละลายตัวอย่างของในเตรทมีคลอไพริดหรือบอร์ไมด์เป็นองค์ประกอบ ความเข้มข้นของคลอไพริดทุกความเข้มข้นจะไม่มีผลต่อการตอบสนอง สำหรับบอร์ไมด์ที่ความเข้มข้นตั้งแต่ 1.0×10^{-2} มิลาร์ขึ้นไปเท่านั้น ที่ทำให้ค่าการตอบสนองมีความแตกต่างอย่างเป็นนัยสำคัญ จากเมื่อไม่มีบอร์ไมด์ (ตาราง 5 และ 6 ภาพประกอบ 15 และ 16)

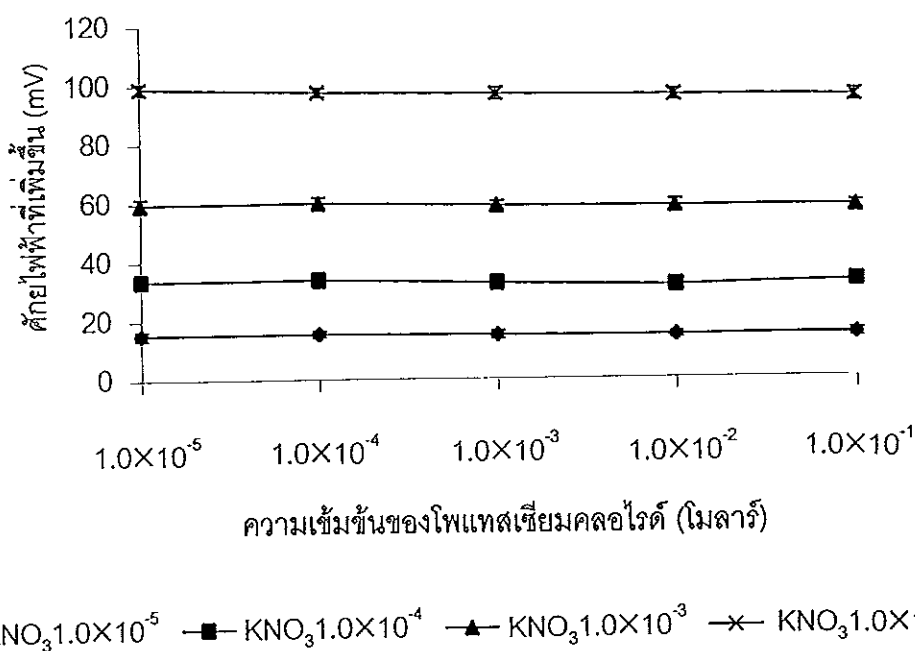
- สารละลายตัวอย่างที่ประกอบด้วยในเตรท คลอไพริดและบอร์ไมด์ ให้ผลใกล้เคียงกับข้างต้น กล่าวคือที่ความเข้มข้นของคลอไพริดและบอร์ไมด์ 1.0×10^{-2} มิลาร์ ขึ้นไปเท่านั้นที่ค่าการตอบสนองเริ่มมีความแตกต่างอย่างมีนัยสำคัญจากเมื่อไม่มีคลอไพริดและบอร์ไมด์ (ตาราง 7 ภาพประกอบ 17) ซึ่งอาจจะเป็นผลจากบอร์ไมด์เป็นหลัก

ผลการทดลองดังกล่าวสอดคล้องกับค่าสัมประสิทธิ์การคัดเลือก (selectivity coefficient, K) ของไนเตรทซีเล็กทีฟอิเล็กโทรต (คุณภาพการใช้ในเตราท) โดย $K_{NO_3^-, Cl^-} = 0.005$ ซึ่งหมายความว่า เมมเบรนเทบจะไม่มีความเฉพาะจังกับคลอไรด์ไอโอดินเลย ส่วน $K_{NO_3^-, Br^-} = 0.13$ หมายความว่าเมมเบรนเฉพาะจังกับไบโรมีดได้เป็น 0.13 เท่าของไนเตรท อย่างไรก็ตามหากวิธีนี้จะนำไปใช้ในการวิเคราะห์หาปริมาณไนเตรทในตัวอย่างน้ำซึ่งจะมีคลอไรด์และไบโรมีดไอโอดินอยู่เพียง 3.0×10^{-5} มิลาร์ ซึ่งในช่วงความเข้มข้นดังกล่าวไอกอนทั้งสองนี้ไม่น่าจะมีผลกระทบต่อการวิเคราะห์

ในการทดลองไม่ได้ทดสอบในไตรท์ เนื่องจากในมาตรฐานคุณภาพน้ำประเทศไทย (2534) (ศุภมาศ พนิชศักดิ์พัฒนา, 2540) ไม่วะบุค่าของไนตรท์และเนื่องจากค่าสัมประสิทธิ์การคัดเลือก ของไนตรท์มีค่าเท่ากับ 0.13 ซึ่งเท่ากับค่าสัมประสิทธิ์การคัดเลือกของไบโรมีด คาดว่าผลการทดลองก็ไม่แตกต่างจากไบโรมีด

ตาราง 5 สัญญาณการตอบสนองกับความเข้มข้นของสารละลายนิโตรเจนในเตราที่มีปริมาณโพแทสเซียมคลอไรด์ต่างๆ กัน

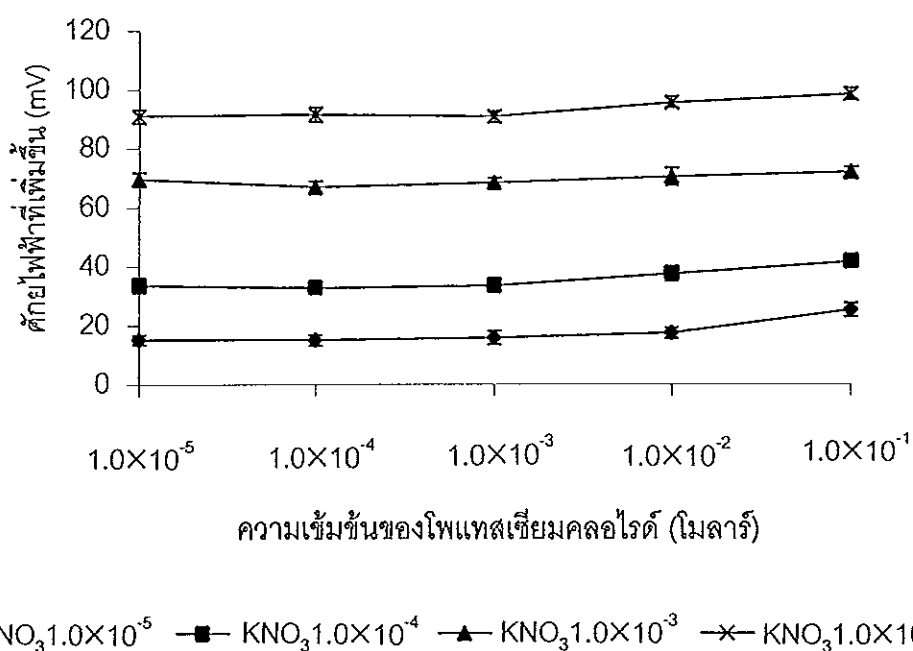
ความเข้มข้นของสารละลายนิโตรเจนในเตราที่มีปริมาณโพแทสเซียมคลอไรด์ต่างๆ กัน (ไมลาร์)	ศักย์ไฟฟ้าที่เพิ่มขึ้น (mV)			
	ความเข้มข้นของสารละลายนิโตรเจนในเตราท์ (ไมลาร์)			
	1.0 × 10 ⁻⁵	1.0 × 10 ⁻⁴	1.0 × 10 ⁻³	1.0 × 10 ⁻²
	15.3 ± 1.5	33.8 ± 1.9	59.7 ± 2.2	98.4 ± 1.5
KNO ₃	15.2 ± 1.4	33.5 ± 2.0	59.6 ± 2.0	98.9 ± 1.7
KNO ₃ +KCl 1.0 × 10 ⁻⁴	15.4 ± 1.0	33.8 ± 1.5	60.0 ± 1.8	97.5 ± 1.5
KNO ₃ +KCl 1.0 × 10 ⁻³	14.8 ± 1.3	32.5 ± 1.7	58.8 ± 1.4	96.7 ± 2.0
KNO ₃ +KCl 1.0 × 10 ⁻²	14.5 ± 1.0	31.5 ± 1.3	58.5 ± 1.9	96.0 ± 1.8
KNO ₃ +KCl 1.0 × 10 ⁻¹	14.9 ± 1.3	32.8 ± 1.5	58.2 ± 1.6	95.6 ± 2.0



ภาพประกอบ 15 ความสัมพันธ์ระหว่างสัญญาณการตอบสนองกับความเข้มข้นของโพแทสเซียมในเตราที่มีโพแทสเซียมคลอไรด์ที่ความเข้มข้นต่างๆ

ตาราง 6 ผลบัญญานการตอบสนองกับความเข้มข้นของสารละลายนิโตรเจนไนเตรทที่มีปริมาณนิโตรเจนไนเตรตนิรภัยต่างๆ กัน

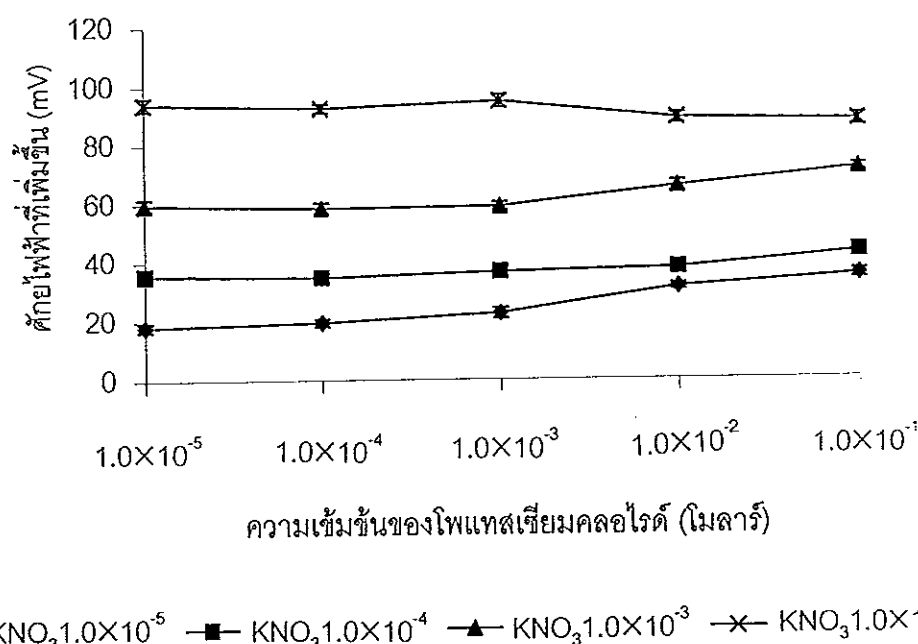
ความเข้มข้นของสารละลายนิโตรเจนไนเตรทที่มีปริมาณนิโตรเจนไนเตรตนิรภัยต่างๆ กัน (ไมลาร์)	ศักย์ไฟฟ้าที่เพิ่มขึ้น (mV)			
	ความเข้มข้นของสารละลายนิโตรเจนไนเตรทที่มีปริมาณนิโตรเจนไนเตรตนิรภัยต่างๆ กัน (ไมลาร์)			
	1.0×10^{-5}	1.0×10^{-4}	1.0×10^{-3}	1.0×10^{-2}
KNO_3	14.9 \pm 1.9	33.8 \pm 1.5	69.7 \pm 2.2	92.4 \pm 2.5
$\text{KNO}_3 + \text{KBr } 1.0 \times 10^{-5}$	15.2 \pm 1.6	33.6 \pm 2.1	69.5 \pm 2.3	90.9 \pm 2.4
$\text{KNO}_3 + \text{KBr } 1.0 \times 10^{-4}$	15.0 \pm 1.8	32.8 \pm 1.9	67.0 \pm 1.8	91.5 \pm 2.5
$\text{KNO}_3 + \text{KBr } 1.0 \times 10^{-3}$	15.8 \pm 2.3	33.5 \pm 1.5	68.5 \pm 1.4	90.7 \pm 2.0
$\text{KNO}_3 + \text{KBr } 1.0 \times 10^{-2}$	17.4 \pm 1.8	37.5 \pm 2.3	70.5 \pm 2.9	95.7 \pm 1.9
$\text{KNO}_3 + \text{KBr } 1.0 \times 10^{-1}$	25.4 \pm 2.3	41.8 \pm 1.9	72.2 \pm 1.7	98.6 \pm 2.0



ภาพประกอบ 16 ความสัมพันธ์ระหว่างสัญญาณการตอบสนองกับความเข้มข้นของนิโตรเจนไนเตรทในเตราทที่มีนิโตรเจนไนเตรตนิรภัยต่างๆ กัน

ตาราง 7 สัญญาณการตอบสนองกับความเข้มข้นของสารละลายน้ำเดรทที่มีปริมาณโพแทสเซียมคลอไรด์และโพแทสเซียมไบร์ไมด์ต่างๆ กัน

ความเข้มข้นของสารละลายน้ำเดรทที่มีปริมาณ โพแทสเซียมไบร์ไมด์ (ไมลาร์)	ศักย์ไฟฟ้าที่เพิ่มขึ้น (mV)			
	ความเข้มข้นของสารละลายน้ำเดรท			
	(ไมลาร์)			
	1.0×10^{-5}	1.0×10^{-4}	1.0×10^{-3}	1.0×10^{-2}
KNO_3	18.2±1.2	35.8±1.8	61.5±2.2	94.4±2.0
$\text{KNO}_3 + \text{KCl} + \text{KBr } 1.0 \times 10^{-5}$	18.0±1.4	35.5±2.0	59.6±2.0	93.9±2.2
$\text{KNO}_3 + \text{KCl} + \text{KBr } 1.0 \times 10^{-4}$	19.4±1.3	34.8±1.5	58.4±1.9	92.5±1.5
$\text{KNO}_3 + \text{KCl} + \text{KBr } 1.0 \times 10^{-3}$	22.4±1.8	36.5±1.6	58.8±1.4	94.7±2.3
$\text{KNO}_3 + \text{KCl} + \text{KBr } 1.0 \times 10^{-2}$	31.1±1.0	37.5±1.6	65.5±1.9	88.7±1.8
$\text{KNO}_3 + \text{KCl} + \text{KBr } 1.0 \times 10^{-1}$	34.9±1.5	42.8±1.3	71.2±1.2	87.6±2.0



ภาพประกอบ 17 ความสัมพันธ์ระหว่างสัญญาณการตอบสนองกับความเข้มข้นของโพแทสเซียมไบร์ไมด์ที่มีโพแทสเซียมคลอไรด์และโพแทสเซียมไบร์ไมด์ที่ความเข้มข้นต่างๆ

3.3.5 ช่วงความเข้มข้นที่ให้ค่าการตอบสนองเชิงเส้น

การหาความสัมพันธ์ระหว่างศักย์ไฟฟ้าและความเข้มข้นของไอกอน พิจารณาจากสมการศักย์ไฟฟ้าของเซลล์ที่ใช้วัดในเทราท์ไอกอน (สมการ 2.4)

$$E = Q - 0.059 \log a_{\text{NO}_3^- \text{ test}}$$

และเมื่อพิจารณาเปรียบเทียบกับสมการเส้นตรง

	y	=	$mx + c$	(3.1)
เมื่อ	y	=	ค่าการตอบสนอง	
	m	=	ความชันของกราฟ	
	x	=	ความเข้มข้นของสารที่ต้องการวิเคราะห์	
	c	=	จุดตัดของกราฟ	

จะเห็นว่าหากเขียนกราฟระหว่างค่าศักย์ไฟฟ้า (E เป็น y) และล็อกของความเข้มข้นไอกอน ($\log a_{\text{NO}_3^- \text{ test}}$ เป็น x) จะได้กราฟเส้นตรงซึ่งมีความชัน 0.059 โวลต์ ดังนั้นในการวิเคราะห์ผลการทดลองจากข้อมูลต่างๆ จึงเขียนกราฟความสัมพันธ์ระหว่างค่าศักย์ไฟฟ้าและล็อกของการวิเคราะห์ที่มีช่องความเข้มข้น

ตาราง 8 แสดงผลการตอบสนองของไอกอนที่ใช้เล็กโගเรตต์ต่อสารละลายในเทราท์ความเข้มข้นต่างๆ จะเห็นว่าเมื่อวัดด้วยเทคนิคแบบที่อินเจกชันอนาคติสช่วงความเข้มข้นของสารละลายในเทราท์ 1.0×10^{-5} ถึง 1.0×10^{-2} มิลลาร์ จะให้สัญญาณการตอบสนองที่มีความสัมพันธ์เป็นเชิงเส้นกับค่าล็อกของความเข้มข้น (ภาพประกอบ 18) โดยมีความไววิเคราะห์เพียง 23 มิลลิโวลต์ต่อ 10 เท่าของความเข้มข้น ซึ่งน้อยกว่าตามทฤษฎีของเนินส์ (59 มิลลิโวลต์ต่อ 10 เท่าของความเข้มข้น) 60% ส่วนการวัดแบบบุ่มช่วงความเข้มข้นของสารละลายในเทราท์ 1.0×10^{-6} ถึง 1.0×10^{-1} มิลลาร์ จะให้สัญญาณการตอบสนองมีความสัมพันธ์เป็นเชิงเส้นกับค่าล็อกของความเข้มข้น

จากการทดสอบโดยใช้อิเล็กโගเรตต์วัดปริมาณไอกอนโดยจุ่มลงในสารละลายและวัดก่อนการตอบสนองคงที่ (สภาพสมดุล) พบร้าค่าความไววิเคราะห์อยู่ในช่วง 57-59 มิลลิโวลต์ต่อ 10 เท่าของความเข้มข้น (ตาราง 8 ภาพประกอบ 19) ซึ่งเป็นไปตามสมการเนินส์ แสดงว่าค่าความไววิเคราะห์ที่น้อยลงของระบบแบบที่อินเจกชันอนาคติส น่าจะมีผลเนื่องมาจากการปริมาตรสารที่น้อยลงนั่นคือ เพียง 20 มิลลิลิตร นอกจานี้อาจจะเป็นผลเนื่องจากเวลาที่ใช้ในการวิเคราะห์ด้วย

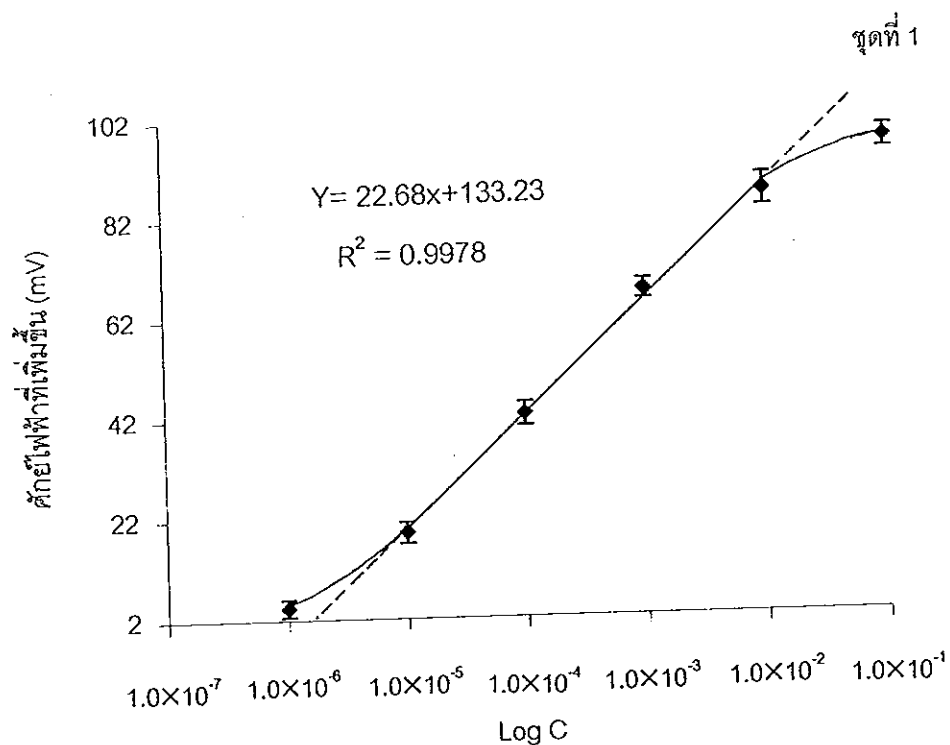
ในการวัดแบบจุ่มจะใช้เวลาวิเคราะห์ต่อตัวอย่างมากขึ้นเมื่อความเข้มข้นของสารตัวอย่างน้อยลง (ตาราง 8) ที่ความเข้มข้น 1.0×10^{-1} มิลาร์ ใช้เวลาประมาณ 45 วินาที ที่ความเข้มข้น 1.0×10^{-6} มิลาร์ ใช้เวลาประมาณ 5 นาที สำหรับเทคนิคแบบห้องเจกซันอนาไลซิสเวลาที่สารละลายอยู่ที่ผิวอิเล็กโทรดเท่ากันทุกความเข้มข้น ทั้งนี้เนื่องจากอัตราเร็วในการคนสารละลาย อัตราเร็วในการจัดสารละลาย ระยะห่างระหว่างปลายปืนเปตกันแมมเบรนอิเล็กโทรด และปริมาตรของสารตัวอย่างเท่ากัน จึงทำให้เวลาที่สารละลายมีโอกาสแลกเปลี่ยนไอออนน้อยกว่าการวัดแบบจุ่ม ดังนั้นการแลกเปลี่ยนไอออนจึงไม่ถึงสภาวะสมดุลที่แท้จริง ทำให้ค่าการตอบสนองจากเทคนิคแบบห้องเจกซันอนาไลซิสน้อยกว่าการวัดแบบจุ่ม ด้วยเหตุผลเดียวกันความไวของระบบจึงต่ำกว่าที่ควรจะเป็นตามสมการเบนส์ (59 มิลลิวอลต์ต่อ 10^{-6} เท่าความเข้มข้น) ซึ่งเป็นค่าความไววิเคราะห์ที่เกิดเมื่อระบบอยู่ในสภาวะสมดุล

นอกจากนี้เมื่อจัดสารละลายลงไปในระบบ จากการแตกต่างระหว่างความเข้มข้นของสารละลายที่จัดลงไปกับสารละลายภายในเซลล์ ทำให้เกิดการแพร่กระจายของไนเตรฟิโอกอนบางส่วนจากที่ความเข้มข้นสูงไปยังสารละลายภายในเซลล์ซึ่งมีความเข้มข้นต่ำกว่า ทำให้สารละลายที่เคลื่อนที่เข้าสู่ผิวน้ำอย่างเล็กๆ น้อยเดียวจากเดิม ซึ่งเป็นอีกเหตุผลหนึ่งที่ทำให้ค่าการตอบสนองที่รวดเร็วโดยเทคนิคนี้ต่างกว่าการวัดแบบจุ่มซึ่งความเข้มข้นของสารละลายตัวอย่างมีค่าคงที่

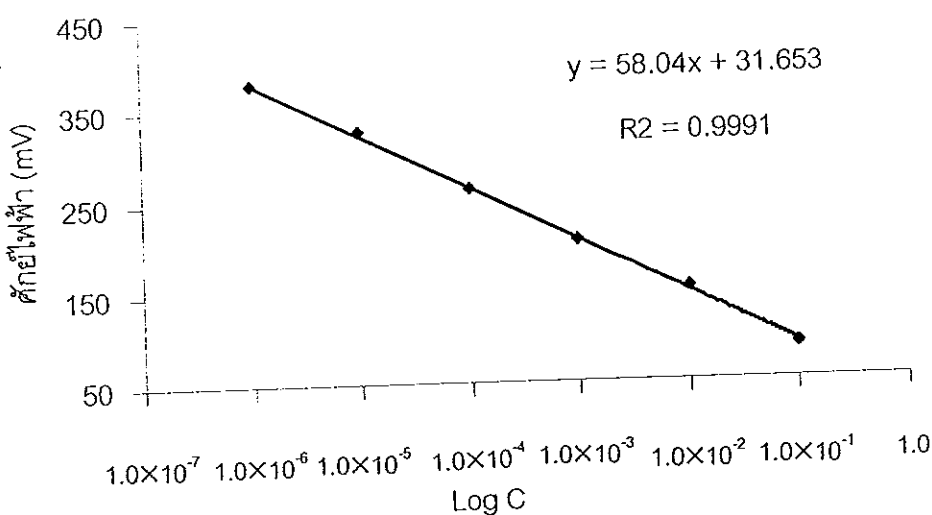
ตาราง 8 สัญญาณการตอบสนองที่ความเข้มข้นของสารละลายน้ำมันในเครื่องต่างๆ กับ
เมื่อวัดด้วยเทคนิคแบบทซ์อินเจกชันอนาคตและวัดแบบจุ่ม

ความเข้มข้นของสารละลายน้ำมัน	ศักย์ไฟฟ้าที่เพิ่มขึ้น (mV)			เวลาต่อ (นาที)	ศักย์ไฟฟ้า			เวลาต่อ
	วัดด้วยเทคนิค BIA				สัญญาณ	วัดแบบจุ่ม		
ในเครื่อง	จุดที่		ของเทคนิค BIA			จุดที่		วัดแบบจุ่ม
(มิลลิ)	1	2	3	(นาที)	1	2	3	(นาที)
1.0×10^{-6}	4.4 ± 1.7	วัดไม่ได้	12.8 ± 1.2	20	378.4	378.4	375.6	300
1.0×10^{-5}	19.2 ± 2.1	17.4 ± 1.5	18.7 ± 1.4	30	325.3	323.7	326.7	240
1.0×10^{-4}	42.5 ± 2.4	39.8 ± 1.7	35.5 ± 2.0	42	261.4	265.9	267.2	180
1.0×10^{-3}	67.1 ± 2.0	61.2 ± 2.1	53.6 ± 2.6	55	203.8	208.4	206.1	140
1.0×10^{-2}	86.6 ± 3.2	86.0 ± 2.5	68.2 ± 2.7	75	152.4	154.6	155.3	60
1.0×10^{-1}	96.7 ± 2.3	100.5 ± 3.0	92.7 ± 2.9	90	87.4	78.4	91.5	45
ความไวของระบบ	22.68	22.72	16.66		58.04	58.99	57.02	
(มิลลิโอลต์/10 เห้าของความเข้มข้น)								
ผู้มีประวัติการกดอย	0.9978	0.9991	9983		0.9991	0.9971	0.9987	
เชิงเส้นกำลังสอง								

หมายเหตุ การวัดด้วยเทคนิคแบบทซ์อินเจกชันอนาคตและใช้วิธีการวัดค่าสัมบูรณ์ของศักย์ไฟฟ้าที่เปลี่ยนแปลงไป โดยวัดจากความสูงของสัญญาณที่เกิดขึ้นจึงทำให้สัญญาณมีค่าเพิ่มขึ้นเมื่อความเข้มข้นของสารละลายน้ำมันเพิ่มขึ้น ส่วนการวัดแบบจุ่มศักย์ไฟฟ้าที่วัดได้คือศักย์ไฟฟ้าที่สภาวะสมดุลและเป็นไปตามสมการ $E = Q - 0.059 \log a_{NO_3^-}$ test จึงมีค่าลดลงเมื่อความเข้มข้นเพิ่มขึ้น



ภาพประกอบ 18 ความสัมพันธ์ระหว่างสัญญาณการตอบสนองกับความเข้มข้นของสารละลายน้ำอะเซติกใน例外ที่ความเข้มข้นต่างๆ (ชุดที่ 1 วัดด้วยเทคนิคแบบห้องเจริญเติบโต)



ภาพประกอบ 19 ความสัมพันธ์ระหว่างสัญญาณการตอบสนองกับความเข้มข้นของสารละลายน้ำอะเซติกใน例外ที่ความเข้มข้นต่างๆ (ชุดที่ 1 วัดแบบจุ่ม)

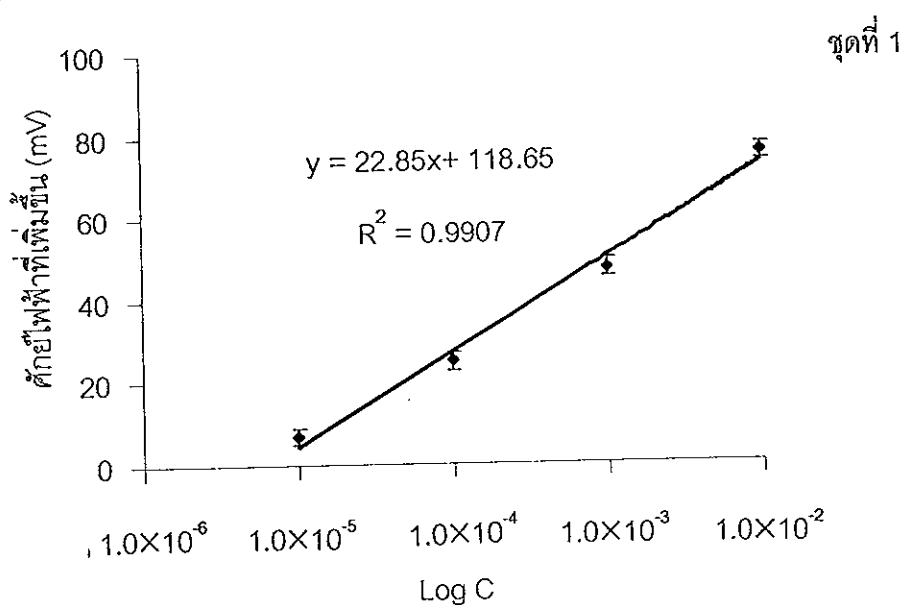
3.4 การวิเคราะห์นำไปริมานในเศรษฐกิจในสาระภาษามาตรฐาน

ในการวิเคราะห์นำไปริมานในเศรษฐกิจจากสาระภาษามาตรฐานด้วยเทคนิคแบบชี้อินเจกชัน

อน่าໄลซิส (2.7) เริ่มต้นจากการทำกราฟมาตรฐาน (ตาราง 9 ภาพประกอบ 20) เพื่อให้ในกราฟอน่าໄลซิส (2.7) เริ่มต้นจากการทำกราฟมาตรฐาน (ตาราง 9 ภาพประกอบ 20) เพื่อให้ในกราฟ คำนวณหาความเข้มข้นของสาระภาษาตัวอย่าง หลังจากนั้นนำสาระภาษาในเศรษฐกิจที่เตรียมขึ้นมา ไปวิเคราะห์ด้วยเทคนิคแบบชี้อินเจกชันอน่าໄลซิส ได้สัญญาณการตอบสนองดังแสดงในตาราง 10 แล้วจึงนำค่านี้ไปคำนวณหาความเข้มข้นของสาระภาษาตัวอย่างจากสมการของกราฟมาตรฐาน (ตาราง 10) เมื่อเปรียบเทียบค่าความเข้มข้นของในเศรษฐกิจที่วิเคราะห์ได้จากเทคนิคแบบชี้อินเจกชัน อน่าໄลซิส (ภาพประกอบ 21) จะได้ผลการวิเคราะห์แตกต่างจากค่าจริงมาก (ตาราง 11) ทั้งนี้เนื่องจากความไม่ของระบบ (ความชันของกราฟมาตรฐาน) มีค่าต่ำเพียง 23 มิลลิโวลต์ต่อ 10 เท่า ของความเข้มข้น ซึ่งต่ำกว่าตามทฤษฎีของเนินส์ต์ (59 มิลลิโวลต์ต่อ 10 เท่าของความเข้มข้น) นอกจากความไม่ของระบบที่ค่อนข้างต่ำแล้วผลการตอบสนองซึ่งมีความสัมพันธ์กับค่าล็อกของความเข้มข้นของไอดอลน์ในเศรษฐกิจทำให้ความแม่นของระบบน้อย หากค่าการตอบสนองคลาดเคลื่อนไปเพียงเล็กน้อยจะทำให้ผลการวิเคราะห์เกิดความคลาดเคลื่อนมาก หากความไม่ของระบบเป็นไปเพียงเล็กน้อยจะทำให้ค่าความเข้มข้นไป ± 1 มิลลิโวลต์ จะทำให้เกิดความคลาดตามตามทฤษฎีเนินส์ต์การตอบสนองที่เปลี่ยนไปเพียง $\pm 4\%$ ในกรณีของระบบนี้ความไม่ของระบบมีค่าเพียง 23 มิลลิโวลต์ต่อ 10 เท่าความเข้มข้น หากผลการวิเคราะห์เปลี่ยนไป ± 1 มิลลิโวลต์ จะทำให้เกิดความคลาดเคลื่อนในผลการทดสอบ $\pm 11\%$ ของความเข้มข้น จากผลการทดสอบซึ่งมีค่าเบี่ยงเบนอยู่ในช่วง $\pm 1.2 - \pm 2.3$ มิลลิโวลต์ เพราะฉะนั้นผลการวิเคราะห์จะคลาดเคลื่อนไป 13-26% ดังนั้นหากปรับปรุงให้ความไม่ของระบบมีค่าต่ำลงและค่าเบี่ยงเบนมาตรฐานต่ำลง ผลการวิเคราะห์ก็จะมีความคลาดเคลื่อนน้อย

ตาราง 9 สัญญาณการตอบสนองจากสารละลายในเทรามาตรฐาน เพื่อใช้เป็นกราฟมาตรฐาน

ความเข้มข้นของ สารละลายในเทราท มาตรฐาน (ไมลาร์)	สัญญาณการตอบสนอง (mV)		
	ชุดที่		
	1	2	3
1.0×10^{-5}	6.8 ± 1.9	6.4 ± 1.0	3.3 ± 1.1
1.0×10^{-4}	25.0 ± 2.1	25.3 ± 1.6	15.8 ± 1.0
1.0×10^{-3}	47.4 ± 2.3	47.3 ± 2.0	35.5 ± 1.6
1.0×10^{-2}	75.5 ± 2.0	68.2 ± 1.8	48.6 ± 1.3
ความไวของระบบ (มิลลิโวลต์/10เท่าของความเข้มข้น)	22.85	20.74	15.56
สัมประสิทธิ์การถดถอย	0.9907	0.9991	0.9921
เงินเดือนกำลังสอง			



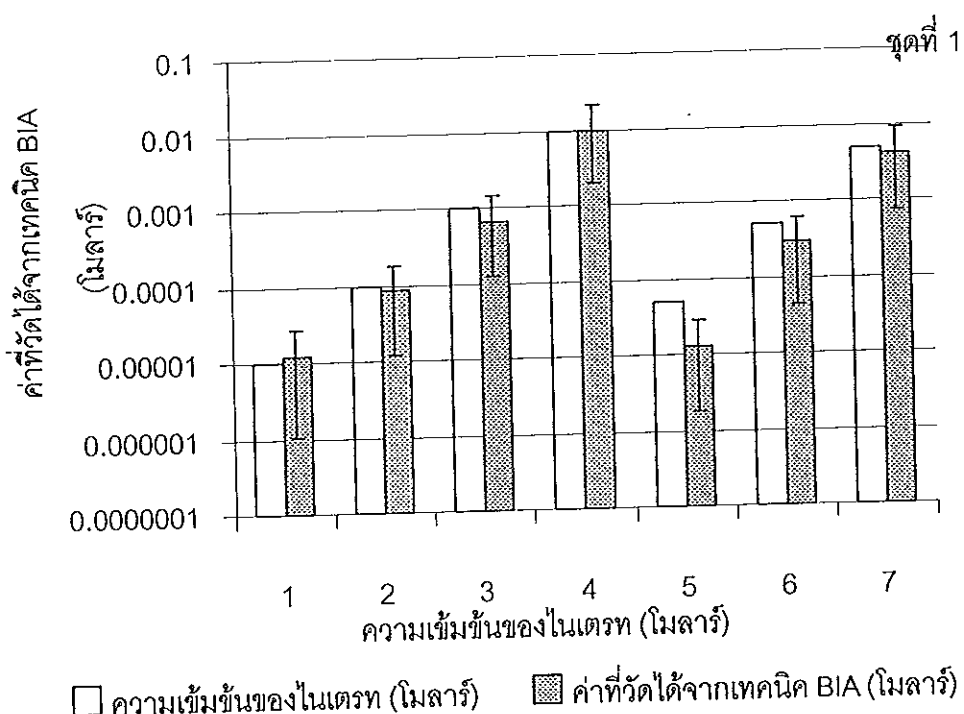
ภาพประกอบ 20 สัญญาณการตอบสนองจากสารละลายในเทรามาตรฐานที่ได้จากการ
เทคนิคแบบทซีอันเจกชันอนามัยชิส เพื่อใช้เป็นกราฟมาตรฐาน (ชุดที่ 1)

ตาราง 10 สัญญาณการตอบสนองและผลการวิเคราะห์ปริมาณในเทรอที่รัดได้จากสารละลาย
ในเตรียมมาตรฐานด้วยเทคนิคแบบชีโนนเจกชันอนาคติส

ความเข้มข้นของ สารละลายในเทรอ มาตรฐาน (ไมลาร์)	ศักย์ไฟฟ้าที่เพิ่มขึ้น (mV)			ค่าที่รัดได้จากเทคนิค แบบชีโนนเจกชันอนาคติส(ไมลาร์)		
	ชุดที่			ชุดที่		
	1	2	3	1	2	3
1.0×10^{-5}	6.5 ± 1.2	5.6 ± 1.7	3.5 ± 1.2	1.2×10^{-5}	9.9×10^{-6}	1.2×10^{-5}
1.0×10^{-4}	25.6 ± 1.5	26.8 ± 1.3	16.0 ± 1.4	8.5×10^{-5}	1.0×10^{-4}	7.4×10^{-5}
1.0×10^{-3}	46.1 ± 2.0	40.3 ± 1.5	31.8 ± 2.0	6.7×10^{-4}	4.7×10^{-4}	7.7×10^{-4}
1.0×10^{-2}	72.8 ± 2.2	65.8 ± 2.0	50.9 ± 2.0	9.8×10^{-3}	7.9×10^{-3}	1.3×10^{-2}
5.0×10^{-5}	6.9 ± 1.4	15.6 ± 1.8	12.4 ± 1.0	1.3×10^{-5}	3.0×10^{-5}	4.4×10^{-5}
5.0×10^{-4}	37.7 ± 1.5	33.4 ± 1.9	22.6 ± 1.5	2.9×10^{-4}	2.2×10^{-4}	2.0×10^{-4}
5.0×10^{-3}	64.4 ± 2.0	57.5 ± 2.0	44.0 ± 1.3	4.2×10^{-3}	3.1×10^{-3}	4.7×10^{-3}

ตาราง 11 ผลการวิเคราะห์ปริมาณในเทรอที่รัดได้จากสารละลายในเตรียมมาตรฐานชุดที่ 1 ด้วย
เทคนิคแบบชีโนนเจกชันอนาคติส

ความเข้มข้นของ สารละลายในเทรอ มาตรฐาน (ไมลาร์)	ศักย์ไฟฟ้า ที่เพิ่มขึ้น (mV)	ค่าที่คำนวน ได้จากการค่าเฉลี่ย ของศักย์ไฟฟ้า (ไมลาร์)	ค่าเปลี่ยนแปลง ในเชิงบวก (ไมลาร์)	ค่าเปลี่ยนแปลง ในเชิงลบ (ไมลาร์)	ความแตกต่างระหว่าง ค่าที่ได้จากการค่า BIA กับค่าความเข้มข้นของ ในเทรอ (%)
1.0×10^{-5}	6.5 ± 1.2	1.2×10^{-5}	1.4×10^{-5}	1.1×10^{-5}	20
1.0×10^{-4}	25.6 ± 1.5	8.5×10^{-5}	9.8×10^{-5}	7.3×10^{-5}	-15
1.0×10^{-3}	46.1 ± 2.0	6.7×10^{-4}	8.2×10^{-4}	5.5×10^{-4}	-33
1.0×10^{-2}	72.8 ± 2.2	9.8×10^{-3}	1.2×10^{-2}	7.9×10^{-3}	-20
5.0×10^{-5}	6.9 ± 1.4	1.3×10^{-5}	1.5×10^{-5}	1.1×10^{-5}	-74
5.0×10^{-4}	37.7 ± 1.5	2.9×10^{-4}	3.3×10^{-4}	2.5×10^{-4}	-42
5.0×10^{-3}	64.4 ± 2.0	4.2×10^{-3}	5.2×10^{-3}	3.5×10^{-3}	-16



ภาพประกอบ 21 เปรียบเทียบผลการวิเคราะห์ปริมาณในเดรทในสารละลายมาตรฐานชุดที่ 1 ระหว่างเทคนิคแบบซึ่งกันและกันกับค่าความเข้มข้นของในเดรท

3.5 ศึกษาเปรียบเทียบระบบแบบที่อินเจกชันอนาคตอีสเมื่อมีและไม่มีปลอกอิเล็กทรอนิกส์

3.5.1 ผลของปลอกอิเล็กทรอนิกส์

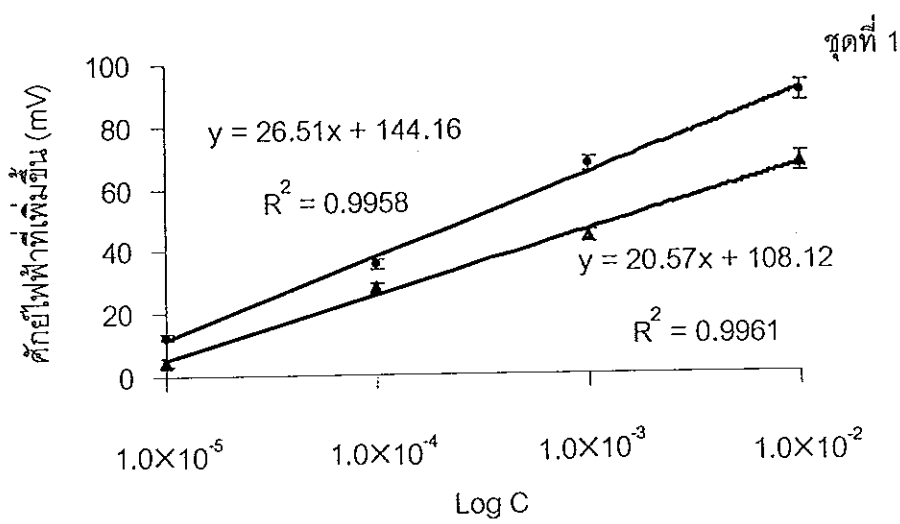
การศึกษาการใช้ปลอกอิเล็กทรอนิกส์เพื่อปรับปรุงสัญญาณการตอบสนองให้ดีขึ้น (2.8.1)

พบว่า การส่วนปลอกอิเล็กทรอนิกส์ทำให้ได้สัญญาณการตอบสนองสูงกว่าแบบปั่นส่วนปลอกอิเล็กทรอนิกส์ (ตาราง 12 ภาพประกอบ 22) ทั้งนี้อาจจะเนื่องจากการส่วนปลอกอิเล็กทรอนิกส์จะป้องกันไม่ให้สารตัวอย่างแพร่กระจายไปยังสารละลายภายในเซลล์เร็วกว่าเดิม ทำให้การแลกเปลี่ยนไอออนที่เกิดขึ้นบริเวณผิวน้ำอิเล็กทรอนิกส์เกิดได้มากขึ้น มีผลให้ค่าการตอบสนองของสัญญาณสูงขึ้นและความไวของระบบแบบที่อินเจกชันอนาคตอีสแบบปลอกอิเล็กทรอนิกส์มีค่าสูงกว่าแบบปั่นส่วนปลอกอิเล็กทรอนิกส์ 3 ชุด โดยมีค่าสูงกว่าประมาณ 20% เต็มๆ ยังต่ำกว่าค่าตามทฤษฎีของเมินสต์โดยความไวของระบบนี้จะต่ำกว่าประมาณ 56 %

สำหรับเวลาต่อสัญญาณแบบส่วนปลอกอิเล็กทรอนิกส์จะใช้เวลาต่อสัญญาณที่ความเข้มข้นต่างๆ มากกว่าแบบปั่นส่วนปลอกอิเล็กทรอนิกส์ประมาณ 20-60 % (ตาราง 13 ภาพประกอบ 23) ถึงแม้ว่าจะใช้เวลาต่อสัญญาณสูงกว่าแบบปั่นส่วนปลอกอิเล็กทรอนิกส์แต่เนื่องจากให้ค่าการตอบสนองสูงกว่า ดังนั้นระบบที่ส่วนปลอกอิเล็กทรอนิกส์จะให้ผลการทดลองที่ดีขึ้น

ตาราง 12 ผลของปลอกอิเล็กโทรดที่มีต่อสัญญาณการตอบสนอง

สารละลายน้ำเหลว ในเครื่อง (ไมลาร์)	ศักย์ไฟฟ้าที่เพิ่มขึ้น (mV)					
	แบบไม่รวมปลอกอิเล็กโทรด			แบบรวมปลอกอิเล็กโทรด		
	ชุดที่			ชุดที่		
	1	2	3	1	2	3
1.0×10^{-5}	4.7 \pm 1.3	6.8 \pm 0.6	8.6 \pm 1.5	12.4 \pm 1.0	19.2 \pm 1.3	15.5 \pm 1.2
1.0×10^{-4}	27.7 \pm 1.7	25.0 \pm 1.0	24.5 \pm 1.8	35.6 \pm 1.6	49.2 \pm 1.9	37.2 \pm 1.4
1.0×10^{-3}	44.4 \pm 2.0	39.2 \pm 2.2	45.7 \pm 2.5	67.3 \pm 2.1	67.1 \pm 2.4	59.5 \pm 2.2
1.0×10^{-2}	67.7 \pm 3.2	75.5 \pm 4.8	66.1 \pm 3.6	90.2 \pm 3.4	96.9 \pm 3.2	92.8 \pm 3.4
ความไวของระบบ (มิลลิไอลด์/10 เท่าความเข้มข้น)	20.57	22.03	19.37	26.51	25.01	25.42
สัมประสิทธิ์การทดสอบเชิงเส้นกำลังสอง	0.9961	0.9541	0.9963	0.9958	0.9911	0.9881

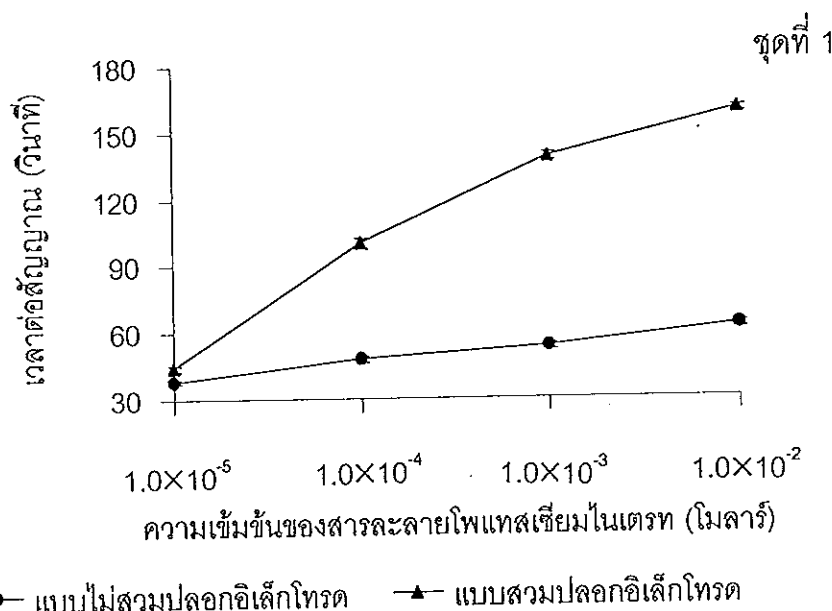


▲ แบบไม่รวมปลอกอิเล็กโทรด • แบบรวมปลอกอิเล็กโทรด

ภาพประกอบ 22 เปรียบเทียบสัญญาณการตอบสนองกับความเข้มข้นของสารละลายน้ำเหลวในเครื่อง เมื่อมีและไม่มีปลอกอิเล็กโทรด (ชุดที่ 1 จากตาราง 12)
ชุดอื่นให้ผลในลักษณะเดียวกัน)

ตาราง 13 ผลของปลอกอิเล็กโทรดที่มีต่อเวลาต่อสัญญาณ

ความเข้มข้นของสารละลายโพแทสเซียมในตราช (ไมลาร์)	เวลาต่อสัญญาณ (วินาที)					
	แบบไม่รวมปลอกอิเล็กโทรด			แบบรวมปลอกอิเล็กโทรด		
	ชุดที่ 1			ชุดที่ 2		
	1	2	3	1	2	3
1.0×10^{-5}	38.0 \pm 1.0	39.4 \pm 0.9	40.0 \pm 1.3	44.5 \pm 1.5	50.2 \pm 1.3	58.5 \pm 1.0
1.0×10^{-4}	48.0 \pm 1.2	45.5 \pm 1.6	46.0 \pm 1.8	100.0 \pm 2.0	103.4 \pm 1.8	98.0 \pm 2.1
1.0×10^{-3}	53.4 \pm 1.2	55.6 \pm 1.6	54.0 \pm 1.5	139.0 \pm 2.0	141.0 \pm 1.9	138.5 \pm 1.8
1.0×10^{-2}	62.5 \pm 1.4	64.0 \pm 1.8	64.0 \pm 2.0	159.6 \pm 1.4	162.0 \pm 1.6	160.0 \pm 2.0



ภาพประกอบ 23 ความสัมพันธ์ระหว่างเวลาต่อสัญญาณของสารละลายโพแทสเซียมในตราชที่ความเข้มข้นต่างๆ เมื่อมีและไม่มีปลอกอิเล็กโทรด (ชุดที่ 1 จากตาราง 13 ชุดอื่นให้ผลในลักษณะเดียวกัน)

3.6 เปรียบเทียบผลการวิเคราะห์ปัจจัยพื้นฐานของระบบแบบอินเจกชัน/non-inject

เมื่อส่วนปลอกอิเล็กโทรด

การศึกษาเปรียบเทียบปัจจัยต่างๆ ได้แก่ อัตราการคนสารละลาย เวลาต่อสัญญาณ อัตราเร็วในการฉีดสารละลาย ระยะเวลาห่างระหว่างปลายปีเพตกับเมมเบรนอิเล็กโทรด และปริมาณของสารละลายตัวอย่างแสดงในตาราง 14, 15, 16, 17, 18 และภาพประกอบ 24, 25, 26, 27,28 ตามลำดับ ให้ผลเหมือนกันคือส่วนปลอกอิเล็กโทรดสัญญาณการตอบสนองจะสูงกว่าไม่ส่วนปลอกอิเล็กโทรด แต่เวลาวิเคราะห์ต่อสัญญาณแบบส่วนปลอกอิเล็กโทรดจะสูงกว่าแบบไม่ส่วนปลอกอิเล็กโทรด โดยค่าที่เหมาะสมที่สุดของแต่ละปัจจัยพิจารณาจากค่าที่ให้สัญญาณการตอบสนองสูงสุด ค่าเบี่ยงเบนมาตรฐานสัมพัทธ์ต่ำสุดและใช้เวลาวิเคราะห์น้อยที่สุด

- อัตราการคนสารละลาย

จากการศึกษาเปรียบเทียบการเปลี่ยนแปลงของสัญญาณการตอบสนองที่อัตราเร็วในการคนสารละลาย 100, 300, 400 และ 500 รอบต่อนาที ระหว่างเมื่อส่วนและไม่ส่วนปลอกอิเล็กโทรด (2.9.1) พบร้า เมื่อส่วนปลอกอิเล็กโทรดจะให้สัญญาณการตอบสนองที่สูงกว่าเมื่อไม่ส่วนปลอกอิเล็กโทรด แต่ขนาดของสัญญาณการตอบสนองเมื่อส่วนปลอกอิเล็กโทรดจะสูงที่สุดที่อัตราเร็ว 100 รอบต่อนาที ในขณะที่ไม่ส่วนปลอกสัญญาณการตอบสนองสูงสุดที่อัตราเร็ว 300 รอบต่อนาที (ตาราง 14 ภาพประกอบ 24) อาจเนื่องมาจากการที่อัตราเร็ว 100 รอบต่อนาทีเมื่อไม่มีปลอกอิเล็กโทรดสารตัวอย่างที่อยู่ที่ผิวอิเล็กโทรดเคลื่อนที่ออกจากผิวได้ช้าๆ อยู่ในสารตัวอย่างที่จะเข้าไปแทนที่อาจจะแพร่ไปยังส่วนอื่นๆ ในเซลล์ก่อนที่จะเกิดการแลกเปลี่ยนไอออนกับอิเล็กโทรด ส่วนที่มีปลอกอิเล็กโทรดจะมีสารละลายอยู่บิริมหุ้นที่ด้านที่ผิวน้ำอิเล็กโทรดเกิดการแลกเปลี่ยนไอออนขึ้น ถ้าอัตราเร็วในการคน้ำสารละลายนี้ก็จะเคลื่อนที่ออกจากผิวได้ช้า ด้วยเหตุนี้จึงทำให้สัญญาณการตอบสนองดี ส่วนเวลาต่อสัญญาณจะมีค่าเพิ่มขึ้นเมื่ออัตราเร็วในการคนสารละลายลดลง โดยเวลาต่อสัญญาณแบบส่วนปลอกอิเล็กโทรดอยู่ในช่วง 85-120 วินาทีสูงกว่าแบบไม่ส่วนปลอกอิเล็กโทรดประมาณ 2 เท่า (35-55 วินาที) (ตาราง 15 ภาพประกอบ 25) แต่เมื่อพิจารณาค่าเบี่ยงเบนมาตรฐานสัมพัทธ์เฉลี่ยของ 3 ชุดการทดลอง ทั้งเมื่อส่วนและไม่ส่วนปลอกอิเล็กโทรด ที่อัตราการคน 100, 300, 400 และ 500 รอบต่อนาที จะมีค่าใกล้เคียงกันคือ 6% 4 % 7 % 8% และ 7% 4 % 6 % 9% ตามลำดับ

ในการเลือกอัตราเร็วที่เหมาะสมควรจะพิจารณาอัตราเร็วที่ให้ค่าการตอบสนองสูงประกอบกับค่าเบี่ยงเบนมาตรฐานสัมพัทธ์ต่ำซึ่งแสดงว่าผลการทดลองนั้นมีความเที่ยงสูง ดังนั้น ระหว่างอัตราเร็วในการคนสารละลาย 100 และ 300 รอบต่อนาที จึงเลือกที่จะใช้อัตราเร็ว 300

รอบต่อนาที ซึ่งค่าการตอบต่อสัญญาณต่ำกว่าอัตราเริ่ว 100 รอบต่อนาทีเพียง 7% แต่ให้ค่าเบี่ยงเบนมาตรฐานสัมพัทธ์น้อยกว่า

- อัตราเริ่วในการฉีดสารละลาย

จากการศึกษาเปรียบเทียบสัญญาณการตอบสนองกับผลของการฉีดสารละลายตัวอย่างระหว่างส่วนปลอกและไม่ส่วนปลอกอิเล็กโทรด (2.9.2) โดยทำการทดลองที่ฉีดสารละลายตัวอย่างระหว่างส่วนปลอกและไม่ส่วนปลอกอิเล็กโทรด 1.0 × 10⁻⁴ มิลาร์ พบว่า ระบบแบบห้องเจกชันอนาไลซิสทั้งสองแบบและไม่ส่วนปลอกอิเล็กโทรด จะให้สัญญาณการตอบสนองสูงสุดที่อัตราเริ่ว 4 (ตาราง 16 ภาพประกอบ 26) แต่แบบส่วนปลอกอิเล็กโทรดจะให้ค่าการตอบสนองเฉลี่ยของ 3 ชุดที่อัตราเริ่ว 4 สูงกว่าแบบไม่ส่วนปลอกอิเล็กโทรด 15 % และเมื่อพิจารณาค่าเบี่ยงเบนมาตรฐานสัมพัทธ์เฉลี่ย 3 ชุด ทั้งแบบส่วนและไม่ส่วนปลอกอิเล็กโทรดของอัตราเริ่ว 1 3 4 5 และ 7 จะมีค่าใกล้เคียงกันคือ 7 % 7 % 4 % 6 % 7 % และ 8 % 6 % 5 % 7 % 7 % ตามลำดับ ดังนี้จะเห็นได้ว่าใช้อัตราเริ่วในการฉีดสารละลาย 4 ในการทดลองต่อไป

- ระยะห่างระหว่างปลายปีเปตกับ เมมเบรนอิเล็กโทรด

เมื่อได้ศึกษาเปรียบเทียบสัญญาณการตอบสนองกับระยะห่างระหว่างปลายปีเปต กับ เมมเบรนอิเล็กโทรดระหว่างส่วนและไม่ส่วนปลอกอิเล็กโทรด (2.9.3) พบว่าทั้งแบบส่วนปลอก และไม่ส่วนปลอกอิเล็กโทรด จะให้ผลการทดลองในทำนองเดียวกัน กล่าวคือที่ระยะห่างระหว่างปลายปีเปต กับ เมมเบรนอิเล็กโทรดเป็น 2.0 และ 3.0 มิลลิเมตร จะให้ค่าการตอบสนองสูงกว่าที่ระยะห่าง 1.0 (ตาราง 17 ภาพประกอบ 27) โดยที่แบบส่วนปลอกอิเล็กโทรดจะให้ค่าการตอบสนองสูงกว่าแบบไม่ส่วนปลอกอิเล็กโทรดที่ระยะ 2.0 และ 3.0 มิลลิเมตร 20 % และ 19 % ตามลำดับ และเมื่อพิจารณาค่าเบี่ยงเบนมาตรฐานสัมพัทธ์เฉลี่ย 3 ชุด ทั้งแบบส่วนและไม่ส่วนปลอกอิเล็กโทรด ที่ระยะห่างระหว่างปลายปีเปต กับ เมมเบรนอิเล็กโทรด 1.0, 2.0, 3.0, 4.0 และ 5.0 มิลลิเมตร จะมีค่าห่างระหว่างปลายปีเปต กับ เมมเบรนอิเล็กโทรดที่ 2.0 มิลลิเมตรน้ำจะเป็นเป็นระยะที่เหมาะสมที่สุด เนื่องจากให้สัญญาณการตอบสนองสูงและให้ค่าเบี่ยงเบนมาตรฐานสัมพัทธ์น้อย

- ปริมาตรของสารละลายน้ำอย่าง

จากการศึกษาเบรี่ยบเทียนสัญญาณการตอบสนองกับปริมาตรของสารละลายน้ำอย่างแบบสูมและไม่สูมปลอกอิเล็กโทรด (2.9.4) พบว่า การเปลี่ยนแปลงสัญญาณการตอบสนองทั้ง 2 แบบ จะให้ผลการทดลองในลักษณะเดียวกันคือ ที่ปริมาตรสารละลายน้ำอย่างน้อยสัญญาณการตอบสนองจะเพิ่มสูงขึ้น จนกระทั่งถึงที่ปริมาตร 20 ไมโครลิตร (ตาราง 18 ภาพประกอบ 28) หลังจากนั้นแม้ว่าเพิ่มปริมาตรของสารตัวอย่างมากขึ้นเพียงใดก็ตาม สัญญาณการตอบสนองที่จะได้จะเพิ่มขึ้นเล็กน้อย หรือมีค่าเกือบคงที่ แต่สัญญาณการตอบสนองแบบสูมปลอกอิเล็กโทรดจะให้ค่าการตอบสนองสูงกว่าประมาณ 16 %

จากการทดลองนี้จึงสามารถสรุปได้ว่า ปริมาตรที่เหมาะสมที่สุดของระบบแบบช่องเจกชันอนาคติสแบบสูมปลอกอิเล็กโทรด คือ 20 ไมโครลิตร เนื่องจากให้สัญญาณการตอบสนองมากที่สุด

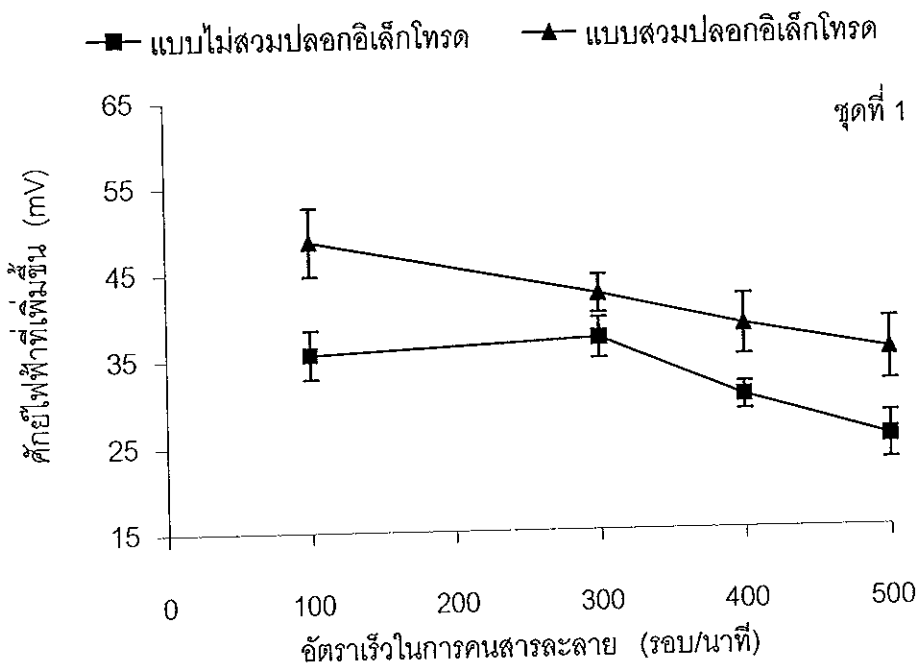
จากการศึกษาหาสภาวะที่เหมาะสมของปั๊มพื้นฐานของระบบแบบช่องเจกชันอนาคติสแบบสูมปลอกอิเล็กโทรด พบว่าแบบสูมปลอกอิเล็กโทรดจะให้ค่าการตอบสนองสูงกว่าแบบไม่สูมปลอกอิเล็กโทรดในทุกๆปั๊มพื้นฐานของระบบนี้ แต่สภาวะที่เหมาะสมของปั๊มพื้นฐานทั้งแบบสูมและไม่สูมปลอกอิเล็กโทรด จะอยู่ที่ค่าเดียวกัน ซึ่งสรุปได้ดังนี้

- อัตราเร็วในการคนสารละลายน้ำ	300	รอบต่อนาที
- อัตราเร็วในการฉีดสารละลายน้ำ	4	
- ระยะห่างระหว่างปลายปีเปตกับเมมเบรนอิเล็กโทรด	2	มิลลิเมตร
- ปริมาตรของสารละลายน้ำอย่าง	20	ไมโครลิตร

ที่สภาวะดังกล่าวแบบสูมปลอกอิเล็กโทรดใช้เวลาต่อสัญญาณ 50 - 160 วินาที (ขึ้นอยู่กับความเข้มข้น) สามารถวิเคราะห์ตัวอย่างได้ 20 – 70 ครั้งต่อหนึ่งชั่วโมง

ตาราง 14 ขนาดของสัญญาณการตอบสนองที่ใช้อัตราการคนสารละลายต่างๆ กันเมื่อมีและไม่มีปลอก SVM อิเล็กโทรด

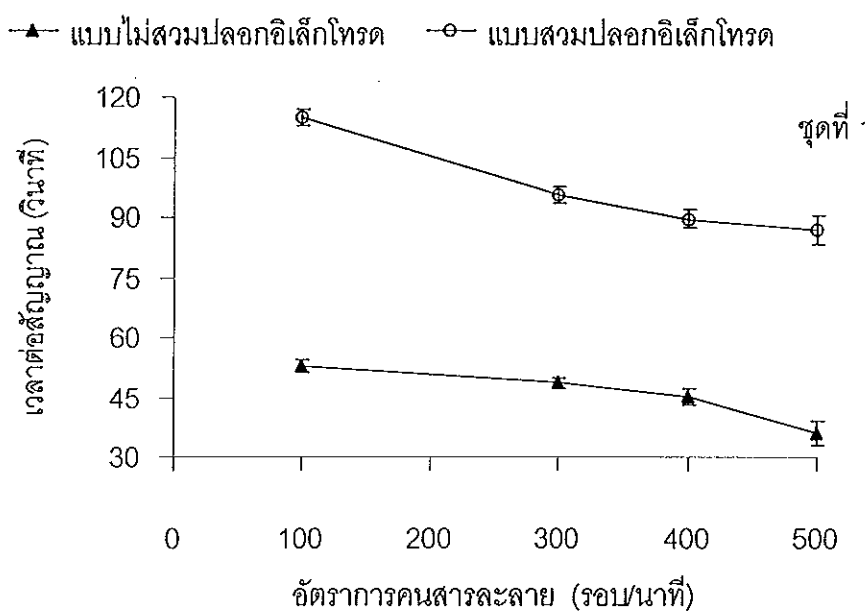
อัตราเร็วในการคนสารละลาย (รอบ/นาที)	ศักย์ไฟฟ้าที่เพิ่มขึ้น (mV)					
	แบบไม่มี SVM ปลอกอิเล็กโทรด			แบบ SVM ปลอกอิเล็กโทรด		
	ชุดที่			ชุดที่		
	1	2	3	1	2	3
100	35.6 ± 2.8	44.6 ± 2.9	48.4 ± 3.0	48.6 ± 3.9	58.4 ± 3.0	61.3 ± 2.6
300	37.2 ± 2.3	47.4 ± 1.5	52.3 ± 1.8	42.3 ± 2.2	54.8 ± 1.8	59.6 ± 1.6
400	30.3 ± 1.6	44.2 ± 3.7	49.8 ± 2.7	38.5 ± 3.5	45.7 ± 3.1	55.6 ± 3.3
500	25.5 ± 2.7	36.6 ± 3.1	47.5 ± 3.8	35.3 ± 3.6	45.4 ± 3.8	52.8 ± 3.7



ภาพประกอบ 24 ความสัมพันธ์ระหว่างขนาดของสัญญาณการตอบสนองกับอัตราเร็วในการคนสารละลาย เมื่อ SVM และไม่มี SVM ปลอกอิเล็กโทรด (ชุดที่ 1 จากตาราง 14
ชุดอื่นๆ ให้ผลในลักษณะเดียวกัน)

ตาราง 15 เวลาต่อสัญญาณกับอัตราเร็วในการคนสารละลายต่างๆ กัน เมื่อมีและไม่มี
ปลอกสวมอิเล็กโทรด

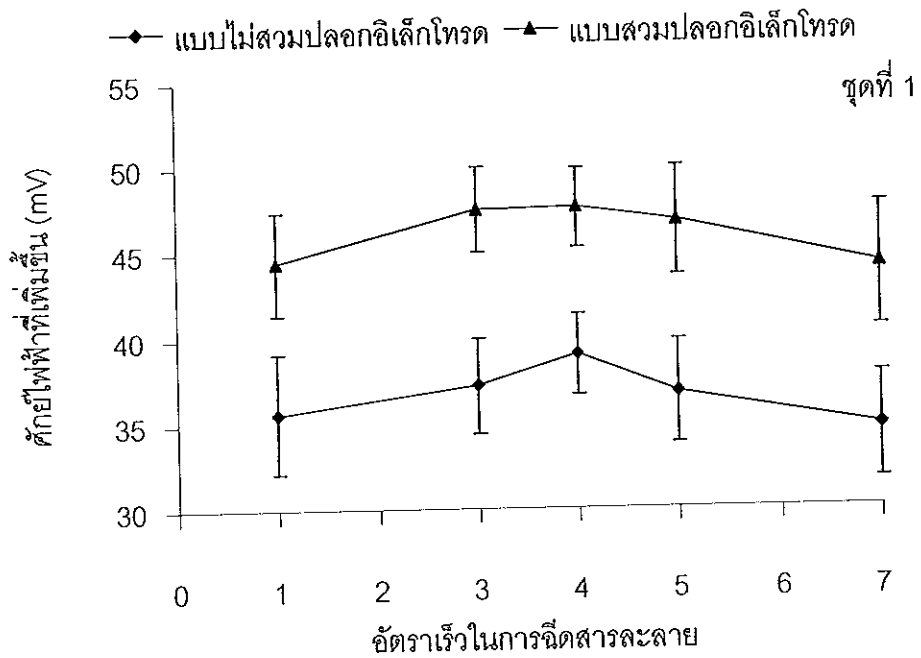
อัตราเร็วในการคน สารละลาย (รอบ/นาที)	เวลาต่อสัญญาณ (วินาที)					
	แบบไม่สวมปลอกอิเล็กโทรด			แบบสวมปลอกอิเล็กโทรด		
	ชุดที่ 1			ชุดที่ 2		
	1	2	3	1	2	3
100	53.0 ± 1.6	52.0 ± 1.8	51.4 ± 1.9	115.0 ± 2.1	118.3 ± 1.8	116.4 ± 2.2
300	48.7 ± 1.2	50.2 ± 1.5	49.2 ± 1.4	95.4 ± 2.0	98.6 ± 1.4	102.5 ± 1.3
400	45.3 ± 2.0	44.6 ± 2.4	47.0 ± 1.9	89.6 ± 2.2	92.8 ± 2.4	94.6 ± 3.0
500	36.0 ± 2.9	34.4 ± 4.0	40.0 ± 2.4	87.0 ± 3.5	85.0 ± 4.2	88.2 ± 4.0



ภาพประกอบ 25 ความสัมพันธ์ระหว่างเวลาต่อสัญญาณกับอัตราเร็วในการคนสารละลายเมื่อมี
และไม่มีปลอกอิเล็กโทรด (ชุดที่ 1 จากตาราง 15 ชุดอื่นให้ผลในลักษณะ
เดียวกัน)

ตาราง 16 ขนาดของสัญญาณการตอบสนองที่ใช้อัตราเร็วในการฉีดสารละลายต่างๆ กัน เมื่อส่วนและไม่ส่วนปลอกกอเล็กโกรด

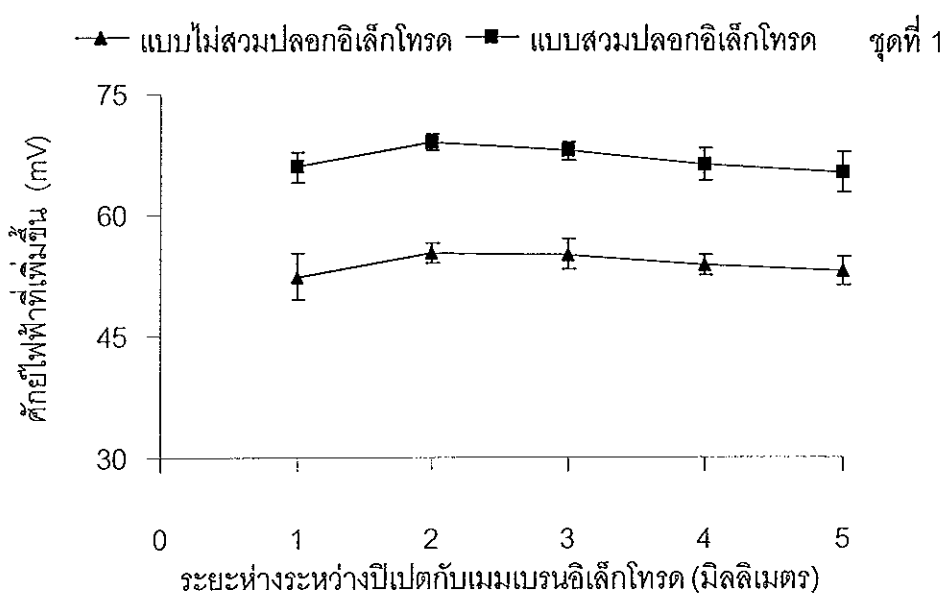
อัตราเร็วในการฉีดสารละลาย	ศักย์ไฟฟ้าที่เพิ่มขึ้น (mV)					
	แบบไม่ส่วนปลอกกอเล็กโกรด			แบบส่วนปลอกกอเล็กโกรด		
	ชุดที่			ชุดที่		
	1	2	3	1	2	3
1	35.6 ± 3.5	40.0 ± 3.2	38.1 ± 2.1	44.4 ± 3.0	46.4 ± 2.8	43.4 ± 3.7
3	37.2 ± 2.8	41.1 ± 3.2	38.9 ± 1.3	47.5 ± 2.5	48.5 ± 2.5	41.2 ± 4.4
4	39.0 ± 2.4	43.0 ± 2.5	40.8 ± 1.5	47.6 ± 2.3	49.4 ± 1.7	46.6 ± 1.6
5	36.8 ± 3.0	41.1 ± 3.2	39.3 ± 2.0	46.8 ± 3.2	46.8 ± 2.6	44.6 ± 2.8
7	34.7 ± 3.1	40.0 ± 3.2	37.4 ± 1.9	44.2 ± 3.6	44.2 ± 2.6	41.3 ± 2.8



ภาพประกอบ 26 ความสัมพันธ์ระหว่างขนาดของสัญญาณการตอบสนองกับอัตราเร็วในการฉีดสารละลาย เมื่อส่วนและไม่ส่วนปลอกและไม่ส่วนปลอกกอเล็กโกรด (ชุดที่ 1 จากตาราง 16 ซึ่ดอนให้ผลในลักษณะเดียวกัน)

ตาราง 17 ขนาดของสัญญาณการตอบสนองกับระยะห่างระหว่างปลายปีเปตกับเมมเบรนอิเล็กโทรด เมื่อสวมปลอกและไม่สวมปลอกอิเล็กโทรด

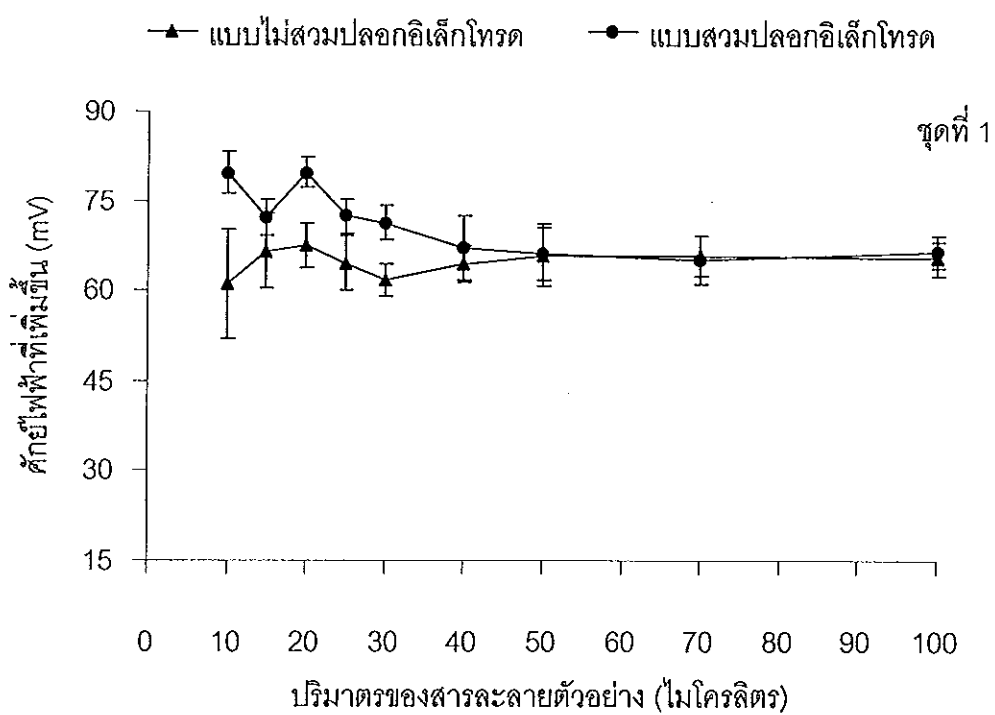
ระยะห่างระหว่าง ปลายปีเปตกับ ^{เมมเบรนอิเล็กโทรด} (มิลลิเมตร)	ศักย์ไฟฟ้าที่เพิ่มขึ้น (mV)					
	แบบไม่สวมปลอกอิเล็กโทรด			แบบสวมปลอกอิเล็กโทรด		
	ชุดที่		ชุดที่			
	1	2	3	1	2	3
1	52.3±2.9	56.5±1.8	44.2±2.7	65.9±1.8	63.2±3.3	64.8±1.6
2	55.3±1.2	58.5±1.9	51.0±1.2	69.0±1.0	71.0±1.2	65.3±1.2
3	55.1±1.9	59.2±1.7	50.5±1.1	67.9±1.2	70.1±1.1	65.1±1.9
4	53.8±2.2	57.5±2.3	49.5±1.6	66.3±2.0	69.0±1.8	64.4±2.0
5	53.0±1.7	56.8±2.9	49.0±1.8	65.2±2.5	67.8±2.0	63.8±1.7



ภาพประกอบ 27 ความสัมพันธ์ระหว่างขนาดของสัญญาณการตอบสนองกับระยะห่างระหว่างปลายปีเปตกับเมมเบรนอิเล็กโทรดเมื่อสวมและไม่สวมปลอกอิเล็กโทรด (ชุดที่ 1 จากตาราง 17 ชุดอื่นๆ ให้ผลในลักษณะเดียวกัน)

ตาราง 18 ขนาดของของสัญญาณการตอบสนองกับผลของการตัวอย่าง เมื่อส่วนและไม่ส่วนปลอกอิเล็กโทรด

ปริมาณของสารละลาย ตัวอย่าง (ไมโครลิตร)	ศักย์ไฟฟ้าที่เพิ่มขึ้น (mV)					
	แบบไม่ส่วนปลอกอิเล็กโทรด			แบบส่วนปลอกอิเล็กโทรด		
	ชุดที่		ชุดที่			
1	2	3	1	2	3	
10	61.1±3.5	53.2±2.7	55.2±3.0	79.7±6.2	65.2±5.5	68.2±2.5
15	66.5±3.1	56.0±2.0	56.8±2.5	72.1±2.5	65.6±3.0	70.0±2.3
20	67.5±2.4	57.6±1.8	57.6±2.0	79.7±1.6	68.0±2.5	72.0±1.9
25	64.6±2.9	52.4±1.9	57.2±2.8	72.4±2.6	65.8±2.7	70.4±2.2
30	61.8±2.9	51.6±2.3	55.6±2.5	71.3±2.5	65.2±2.4	69.6±2.2
40	64.5±5.5	48.0±2.4	54.0±3.0	67.1±3.1	64.5±2.6	69.2±2.3
50	65.8±4.4	51.6±3.0	53.6±3.5	66.2±5.2	63.9±2.5	68.5±2.5
70	65.8±3.9	47.6±3.2	52.8±4.0	65.1±3.5	63.4±2.3	67.2±2.6
100	65.4±2.7	46.8±3.4	51.6±5.5	66.6±2.9	63.3±2.5	64.4±2.4



ภาพประกอบ 28 ขนาดของสัญญาณการตอบสนองกับปริมาณของสารละลายตัวอย่าง เมื่อรวมและไม่รวมปลอกอิเล็กโทรด (ชุดที่ 1 จากตาราง 18 ชุดอื่นให้ผลในลักษณะเดียวกัน)

3.7 การหาสภาวะที่เหมาะสมในการวิเคราะห์ในเตรทแบบสมบูรณ์ประกอบอิเล็กโทรด

3.7.1 ขีดจำกัดต่ำสุดในการตรวจวัด

ในการศึกษาขีดจำกัดต่ำสุดในการตรวจวัด เพื่อใช้ในการวิเคราะห์ในเตรทด้วยเทคนิคแบบซึ่นเจกชันโอนาไลซ์แบบสมบูรณ์ประกอบอิเล็กโทรด (2.10.1) พบว่า ความเข้มข้นของในเตรทที่ให้สัดส่วนระหว่างสัญญาณการตอบสนองต่อสัญญาณการรับกวนเท่ากับ 2 คือที่ความเข้มข้น 1.0×10^{-5} มิลาร์ ซึ่งมีค่าเท่ากับขีดจำกัดต่ำสุดในการตรวจวัดเทคนิคนี้แบบไม่สมบูรณ์ อิเล็กโทรด นั้นคือขีดจำกัดต่ำสุดของระบบการทดลองคือที่ในเตรท 1.0×10^{-5} มิลาร์

3.7.2 ช่วงความเข้มข้นที่ให้ค่าการตอบสนองเชิงเส้น

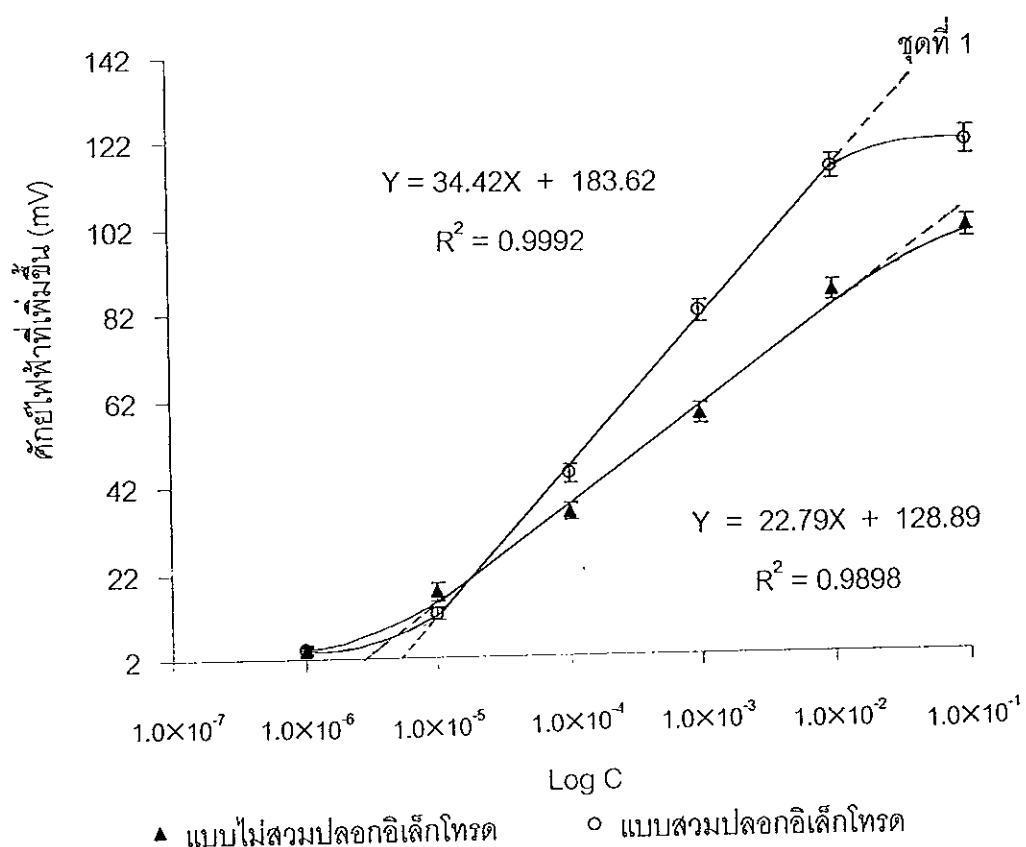
ในการศึกษาหาช่วงการตอบสนองเชิงเส้นเมื่อทำการทดลองเทคนิคแบบซึ่นเจกชัน โอนาไลซ์แบบสมบูรณ์ประกอบอิเล็กโทรด (2.10.2) ทำการทดลองทั้งหมด 3 ชุดพบว่า ช่วงการตอบสนองเชิงเส้นคือ ความเข้มข้นของสารละลายในเตรท $1.0 \times 10^{-2} - 1.0 \times 10^{-5}$ มิลาร์ (ตาราง 19 ภาพประกอบ 29) ซึ่งสอดคล้องกับแบบไม่สมบูรณ์ประกอบอิเล็กโทรด แต่สัญญาณการตอบสนองของแบบสมบูรณ์ประกอบอิเล็กโทรดจะสูงกว่าและสัญญาณการตอบสนองจะเริ่มงดที่คือไม่เปลี่ยนแปลงตามความเข้มข้นที่ 1.0×10^{-1} มิลาร์ ทั้งนี้มีจะเนื่องมาจากการตอบสนองขึ้นอยู่กับพื้นที่ผิวที่เกิดการแลกเปลี่ยนไอออน ในช่วงที่ความเข้มข้นของในเตรทน้อย การเพิ่มความเข้มข้นของในเตรทไอออนจะทำให้เกิดการแลกเปลี่ยนไอออนเพิ่มขึ้น แต่จะเพิ่มขึ้นในอัตราที่ห้าดังในช่วงความเข้มข้นของในเตรทไอออนสูงขึ้น และในที่สุดการเกิดการแลกเปลี่ยนไอออนไม่สามารถเพิ่มขึ้นอีกถึงแม้จะเพิ่มความเข้มข้นของไอออนในเตรท ส่วนที่ความเข้มข้น 1.0×10^{-6} มิลาร์ วัดค่าการตอบสนองได้น้อยมากและในบางครั้งวัดไม่ได้เลย เนื่องจากปริมาณในเตรทไอออนมีน้อยอีกทั้งปริมาตรที่ใช้ในการทดลองก็มีเพียง 20 ไมโครลิตร ประกอบกับแม่เบรนอิเล็กโทรดเสื่อมสภาพลง (พิจารณาจากค่าความไววิเคราะห์ที่ลดลง) ซึ่งเป็นอีกเหตุผลหนึ่งที่ทำให้วัดการตอบสนองที่ความเข้มข้นต่ำมากไม่ได้

ตาราง 19 ภาพประกอบ 29 แสดงผลการเบรี่ยบความไววิเคราะห์เมื่อสามและไม่สามบูรณ์ประกอบอิเล็กโทรด จะเห็นว่าความไววิเคราะห์ของระบบแบบสมบูรณ์ประกอบอิเล็กโทรดมีค่าสูงกว่าแบบไม่สมบูรณ์ประกอบอิเล็กโทรดเฉลี่ยทั้ง 3 ชุด โดยมีค่าสูงกว่าประมาณ 18 %

ตาราง 19 สัญญาณการตอบสนองที่ความเข้มข้นของสารละลายโพแทสเซียมในเตราห์ต่างๆ กัน เมื่อส่วนและไม่ส่วนปลอกอิเล็กโทรด

ความเข้มข้นของ สารละลายโพแทสเซียม ในเตราห์ (ไมลาร์)	ศักย์ไฟฟ้าเพิ่มขึ้น (mV)					
	แบบไม่ส่วนปลอกอิเล็กโทรด			แบบส่วนปลอกอิเล็กโทรด		
				ชุดที่		
	1	2	3	1	2	3
1.0×10^{-6}	3.8 ± 1.0	6.4 ± 1.1	รัดไม่มีได้	4.5 ± 1.0	14.4 ± 1.3	5.9 ± 1.7
1.0×10^{-5}	17.4 ± 2.2	25.6 ± 1.4	3.6 ± 1.2	12.3 ± 1.5	27.2 ± 1.9	12.4 ± 2.1
1.0×10^{-4}	35.5 ± 1.8	44.4 ± 2.5	17.9 ± 2.6	44.2 ± 2.1	66.0 ± 2.3	36.5 ± 1.9
1.0×10^{-3}	57.6 ± 2.4	64.0 ± 2.2	31.8 ± 2.3	81.5 ± 2.7	92.5 ± 3.0	55.4 ± 2.5
1.0×10^{-2}	86.0 ± 2.3	85.6 ± 1.9	50.9 ± 2.1	114.6 ± 2.7	127.2 ± 2.9	83.4 ± 2.5
1.0×10^{-1}	100.5 ± 2.6	92.5 ± 2.7	79.2 ± 2.8	120.4 ± 3.2	134.2 ± 3.1	120.0 ± 2.9
ความไวของระบบ (มิลลิโวลต์/10 เท่าความเข้มข้น)	22.79	19.96	15.58	34.42	32.65	23.19
สมประสิทธิ์การตอบสนอง เชิงเส้นกำลังสอง	0.9898	0.9990	0.9940	0.9992	0.9953	0.9948

จากตาราง 19 ความไวของระบบที่แสดงเป็นความไวของระบบในช่วงที่ให้ค่าการตอบสนองเชิงเส้นคือ ที่ $1.0 \times 10^{-5} - 1.0 \times 10^{-2}$ ไมลาร์



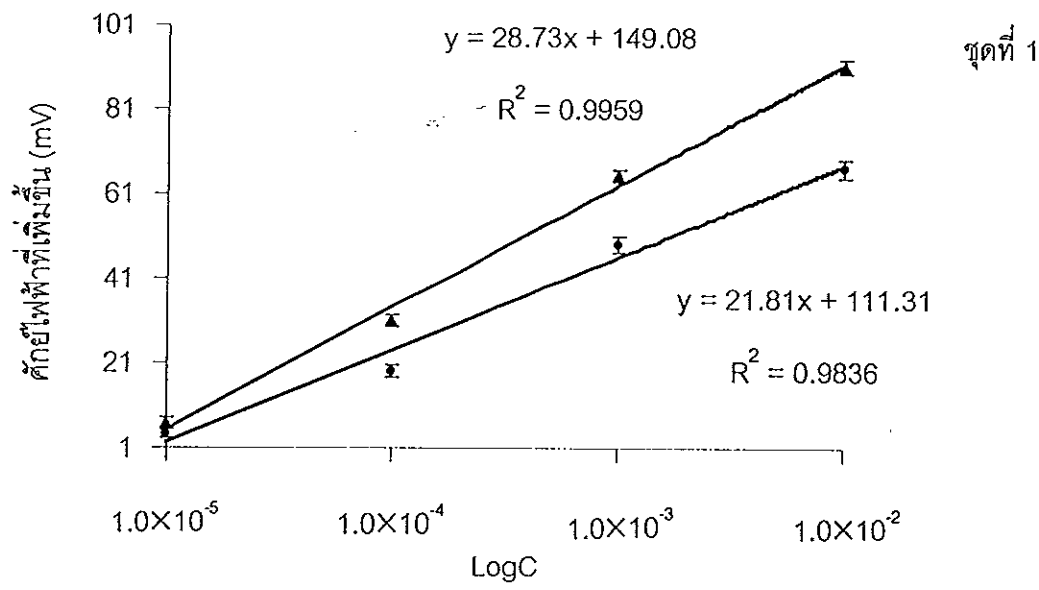
ภาพประกอบ 29 ความสัมพันธ์ระหว่างสัญญาณการตอบสนองกับความเข้มข้นของสารละลายโพแทสเซียมในแต่ละที่ความเข้มข้นต่างๆ (ชุดที่ 1 ตาราง 19 ชุดนี้ให้ผลในลักษณะเดียวกัน)

3.8 การวิเคราะห์หาปริมาณในเดรทในสารละลายน้ำตราชูน เมื่อส่วนปลอกอิเล็กโทรด

ให้ระบบแบบซึ่อนเจกชันคณาไลซิสทั้งแบบส่วนและไม่ส่วนปลอกอิเล็กโทรดวิเคราะห์หาปริมาณในเดรทจากสารละลายน้ำตราชูนที่เตรียมขึ้นมา (2.11) โดยนำผลการวัดที่ได้มาคำนวณเป็นความเข้มข้นของในเดรท จากกราฟมาตรฐาน (ตาราง 20 ภาพประกอบ 30) ได้ผลดังแสดงในตาราง 21, 22, 23 และ 24 เมื่อเบรียบเทียบค่าที่คำนวณได้จากการทดลองกับค่าความเข้มข้นของในเดรท ดังภาพประกอบ 31 และ 32 จะเห็นว่าค่าที่ได้จากการแบบไม่ส่วนปลอกจะน้อยกว่าค่าจริงประมาณ 33 เปอร์เซ็นต์ แต่ค่าที่ได้จากการแบบส่วนปลอกจะน้อยกว่าถึง 55 เปอร์เซ็นต์ ซึ่งขัดแย้งกับความเป็นจริงเมื่อจากแบบส่วนปลอกอิเล็กโทรดค่าความไววิเคราะห์ของระบบสูงกว่าแบบไม่ส่วนปลอกอิเล็กโทรดแต่ผลการวิเคราะห์กลับต่ำกว่า จากการพิจารณาพบว่าสาเหตุหนึ่งน่าจะเนื่องจากการทดลองของแบบส่วนปลอกอิเล็กโทรดทำหลังจากแบบไม่ส่วนปลอกซึ่งในเวลาดังกล่าวส่วนของเมมเบรนอิเล็กโทรดซึ่งเกี่ยวข้องกับการแลกเปลี่ยนไอโอดินระหว่างของเหลวที่แทรกอยู่ตามรูปรุนของเมมเบรน กับไออกอนของสารตัวอย่างมีความสามารถลดลง เพื่อทดสอบสมมติฐานดังกล่าวจึงทำการทดลองหาระยะเวลาที่เหมาะสมในการใช้อิเล็กโทรด เพื่อแก้ปัญหาดังที่ได้กล่าวมา

ตาราง 20 สัญญาณการตอบสนองที่ได้จากสารละลายน้ำตราชามาตรฐานแบบส่วนและไม่ส่วนปลองกิเล็กໂทรด เพื่อใช้เป็นกราฟมาตรฐาน

ความเข้มข้นของ สารละลายน้ำตราช มาตรฐาน (มิลลิกรัม)	ศักย์ไฟฟ้าที่เพิ่มขึ้น (mV)					
	แบบไม่ส่วนปลองกิเล็กໂทรด			แบบส่วนปลองกิเล็กໂทรด		
	ชุดที่		ชุดที่		1	2
1.0 × 10 ⁻⁵	4.4 ± 1.2	7.4 ± 1.0	3.8 ± 1.6	6.8 ± 1.3	10.6 ± 1.2	5.7 ± 1.7
1.0 × 10 ⁻⁴	19.2 ± 1.5	31.4 ± 1.3	18.7 ± 2.0	31 ± 1.5	32 ± 2.0	24.5 ± 1.5
1.0 × 10 ⁻³	49.2 ± 2.0	49.2 ± 1.9	30.8 ± 2.2	65.1 ± 1.4	61.8 ± 2.2	45.7 ± 2.6
1.0 × 10 ⁻²	67.1 ± 2.1	67.8 ± 2.5	50.9 ± 2.4	91.2 ± 1.7	83.4 ± 1.6	66.1 ± 2.0
ความไวของระบบ (มิลลิโวลต์/10เท่าของความเข้มข้น)	21.81	19.90	15.34	28.73	24.82	20.24
สัมประสิทธิ์การถดถอย เชิงเส้นกำลังสอง	0.9836	0.9951	0.9894	0.9953	0.9955	0.9994



- แบบไม่รวมปลอกอิเล็กโทรด ▲ แบบรวมปลอกอิเล็กโทรด

ภาพประกอบ 30 สรุปถ้าการตอบสนองจากสารละลายน้ำเดรวมมาตรฐานที่ได้จากเทคนิค
แบบซึ่นเจ็บขั้นตอนໄลชิสแบบไม่รวมปลอกอิเล็กโทรดเพื่อใช้เป็นกราฟ
มาตรฐาน เพื่อใช้เป็นกราฟมาตรฐาน (ชุดที่ 1 จากตาราง 20)

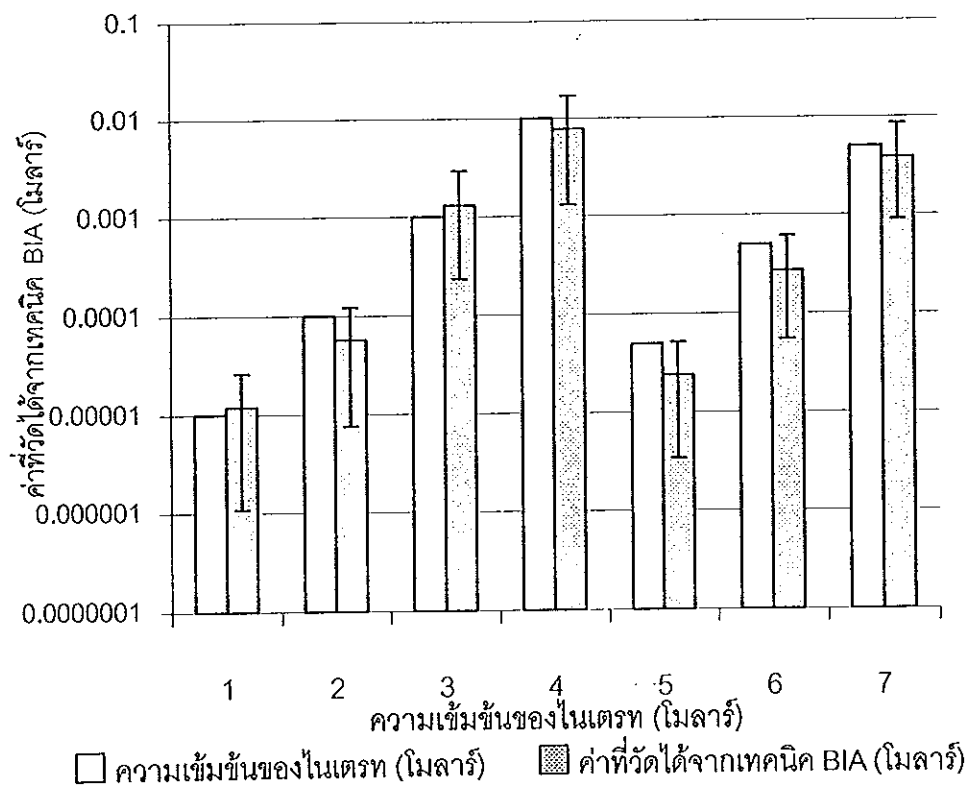
ตาราง 21 สัญญาณการตอบสนองและผลการวิเคราะห์ปริมาณในเทรอทที่วัดได้จากสารละลายน้ำตามมาตรฐานด้วยเทคนิคแบบทซีอินเจกชันอนาไลซิสแบบไม่ส่วนปลอกอิเล็กโทรด

ความเข้มข้นของสารละลายน้ำเทรอทมาตรฐาน (มิลาร์)	ศักย์ไฟฟ้าที่เพิ่มขึ้น (mV)			ค่าที่วัดได้จากเทคนิคแบบทซีอินเจกชันอนาไลซิส(มิลาร์)		
	ชุดที่ 1			ชุดที่ 2		
	1	2	3	1	2	3
1.0×10^{-5}	4.3 ± 1.2	7.0 ± 1.5	4.0 ± 1.3	1.2×10^{-5}	7.8×10^{-6}	1.2×10^{-5}
1.0×10^{-4}	18.7 ± 1.3	30.5 ± 1.2	18.5 ± 1.4	5.7×10^{-5}	1.2×10^{-4}	1.0×10^{-4}
1.0×10^{-3}	48.5 ± 2.0	51.4 ± 1.5	28.6 ± 1.7	1.3×10^{-3}	1.3×10^{-3}	4.6×10^{-4}
1.0×10^{-2}	65.3 ± 1.7	65.6 ± 1.3	48.7 ± 2.0	7.8×10^{-3}	6.9×10^{-3}	9.5×10^{-3}
5.0×10^{-5}	10.5 ± 1.4	19.6 ± 1.7	12.4 ± 1.7	2.4×10^{-5}	3.4×10^{-5}	4.1×10^{-5}
5.0×10^{-4}	33.5 ± 2.2	40.0 ± 2.0	22.9 ± 1.6	2.7×10^{-4}	3.6×10^{-4}	2.0×10^{-4}
5.0×10^{-3}	58.4 ± 2.4	56.5 ± 2.1	39.4 ± 1.9	3.8×10^{-3}	2.4×10^{-3}	2.3×10^{-3}

ตาราง 22 ผลการวิเคราะห์ปริมาณในเทรอทที่วัดได้จากสารละลายน้ำตามมาตรฐานด้วยเทคนิคแบบทซีอินเจกชันอนาไลซิสแบบไม่ส่วนปลอกอิเล็กโทรดชุดที่ 1

ความเข้มข้นของสารละลายน้ำเทรอทมาตรฐาน (มิลาร์)	ศักย์ไฟฟ้าที่เพิ่มขึ้น (mV)	ค่าที่คำนวณได้จากค่าเฉลี่ยของศักย์ไฟฟ้า (มิลาร์)	ค่าเบี่ยงเบนในเชิงบวก (มิลาร์)	ค่าเบี่ยงเบนในเชิงลบ (มิลาร์)	ความแตกต่างระหว่างค่าที่ได้จากเทคนิค BIA กับค่าความเข้มข้นของในเทรอท (%)
1.0×10^{-5}	4.3 ± 1.2	1.2×10^{-5}	1.1×10^{-5}	1.4×10^{-5}	20
1.0×10^{-4}	18.7 ± 1.3	5.7×10^{-5}	4.9×10^{-5}	6.5×10^{-5}	-43
1.0×10^{-3}	48.5 ± 2.0	1.3×10^{-3}	1.1×10^{-3}	1.6×10^{-3}	30
1.0×10^{-2}	65.3 ± 1.7	7.8×10^{-3}	6.5×10^{-3}	9.3×10^{-3}	-22
5.0×10^{-5}	10.5 ± 1.4	2.4×10^{-5}	2.1×10^{-5}	2.8×10^{-5}	-52
5.0×10^{-4}	33.5 ± 2.2	2.7×10^{-4}	2.1×10^{-4}	3.4×10^{-4}	-46
5.0×10^{-3}	58.4 ± 2.4	3.8×10^{-3}	2.9×10^{-3}	4.8×10^{-3}	-24

ชุดที่ 1



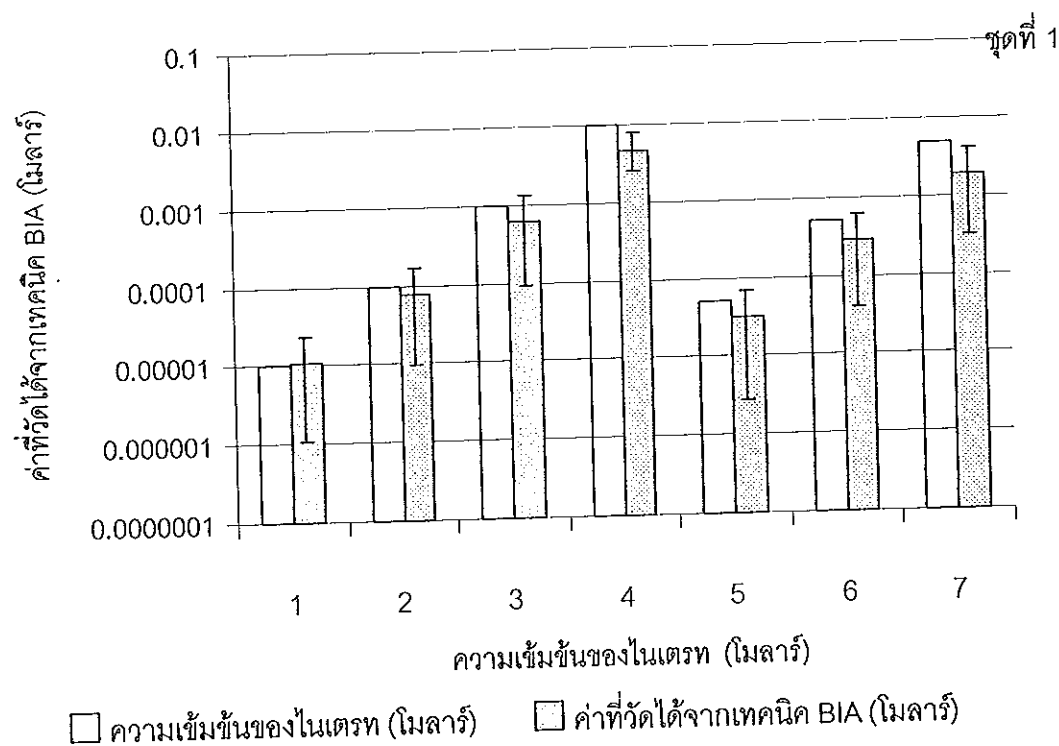
ภาพประกอบ 31 เปรียบเทียบผลการวิเคราะห์ปริมาณในเตราท์ในสารละลายน้ำตราชูนแบบ
ไม่ส่วนปลดอกอิเล็กโทรดระหว่างเทคนิคแบบที่ขึ้นมาจากชั้นนอกไปสักกับ
ความเข้มข้นของในเตราท์ ชุดที่ 1

ตาราง 23 สัญญาณการตอบสนองและผลการวิเคราะห์ปริมาณในตรวจที่วัดได้จากสารละลายในตรวจมาตรฐานด้วยเทคนิคแบบข้อมูลเชิงอนาลิติกแบบส่วนปัลอกอิเล็กโทรด

ความเข้มข้นของสารละลายในตรวจ มาตรฐาน (ไมลาร์)	ศักย์ไฟฟ้าที่เพิ่มขึ้น (mV)			ค่าที่วัดได้จากเทคนิค แบบข้อมูลเชิงอนาลิติก (ไมลาร์)		
	ชุดที่			ชุดที่		
	1	2	3	1	2	3
1.0×10^{-5}	6.6 ± 1.3	11.0 ± 1.1	5.5 ± 1.0	1.1×10^{-5}	1.1×10^{-5}	1.0×10^{-5}
1.0×10^{-4}	30.6 ± 1.7	32.4 ± 1.5	22.8 ± 1.9	7.5×10^{-5}	8.2×10^{-5}	7.5×10^{-5}
1.0×10^{-3}	56.7 ± 2.0	59.2 ± 1.6	43.6 ± 1.4	6.1×10^{-4}	9.9×10^{-4}	7.9×10^{-4}
1.0×10^{-2}	75.3 ± 2.5	71.8 ± 2.0	59.4 ± 2.3	4.7×10^{-3}	6.1×10^{-3}	5.9×10^{-3}
5.0×10^{-5}	20.1 ± 1.3	22.4 ± 1.9	13.6 ± 1.5	3.2×10^{-5}	3.2×10^{-5}	4.1×10^{-5}
5.0×10^{-4}	46.9 ± 1.8	44.5 ± 2.0	34.5 ± 2.2	2.8×10^{-4}	2.5×10^{-4}	2.8×10^{-4}
5.0×10^{-3}	70.6 ± 2.0	68.7 ± 1.6	56.4 ± 1.5	1.9×10^{-3}	2.4×10^{-3}	3.4×10^{-3}

ตาราง 24 ผลการวิเคราะห์ปริมาณในตรวจที่วัดได้จากสารละลายในตรวจมาตรฐานด้วยเทคนิคแบบข้อมูลเชิงอนาลิติกแบบส่วนปัลอกอิเล็กโทรด ชุดที่ 1

ความเข้มข้นของสารละลายในตรวจ มาตรฐาน (ไมลาร์)	ศักย์ไฟฟ้า ที่เพิ่มขึ้น (mV)	ค่าที่คำนวณ ได้จากค่าเฉลี่ย ของศักย์ไฟฟ้า (ไมลาร์)	ค่าเบี่ยงเบน ในเชิงบวก (ไมลาร์)	ค่าเบี่ยงเบน ในเชิงลบ (ไมลาร์)	ความแตกต่างระหว่าง ค่าที่ได้จากเทคนิค BIA กับค่าความเข้มข้นของ ในตรวจ (%)
1.0×10^{-5}	6.6 ± 1.3	1.1×10^{-5}	1.2×10^{-5}	9.9×10^{-6}	10
1.0×10^{-4}	30.6 ± 1.7	7.5×10^{-5}	8.6×10^{-5}	6.6×10^{-5}	-25
1.0×10^{-3}	56.7 ± 2.0	6.1×10^{-4}	7.1×10^{-4}	5.2×10^{-4}	-39
1.0×10^{-2}	75.3 ± 2.5	4.7×10^{-3}	3.3×10^{-3}	2.2×10^{-3}	-53
5.0×10^{-5}	20.1 ± 1.3	3.2×10^{-5}	3.6×10^{-5}	2.9×10^{-5}	-36
5.0×10^{-4}	46.9 ± 1.8	2.8×10^{-4}	3.2×10^{-4}	2.4×10^{-4}	-44
5.0×10^{-3}	70.6 ± 2.0	1.9×10^{-3}	2.2×10^{-3}	1.6×10^{-3}	-62



ภาพประกอบ 32 เปรียบเทียบผลการวิเคราะห์ปริมาณในตัวอย่างในสารละลายมาตรวัดแบบ
ส่วนปเลกอิเล็กโทรดระหว่างเทคนิคแบบซึ่งกันและกันกับ
ความผิดพลาดของในตัวอย่าง ชุดที่ 1

3.9 การหาระยะเวลาที่เหมาะสมในการใช้ในเตอร์มีเล็กที่ฟิล์มเล็กໂගດ

3.9.1 ผลของเวลาในการใช้เมมเบรนอิเล็กโทรดที่มีต่อสัญญาณการตอบสนองของเมมเบรน

จากการศึกษาผลของการเวลาในการใช้เมมเบรนอิเล็กโทรดที่มีต่อสัญญาณการตอบสนองของเมมเบรน (2.12.1) พบว่า ระยะเวลาในการใช้เมมเบรนอิเล็กโทรดมีผลต่อสัญญาณการตอบสนอง ดังแสดงใน ตาราง 25 และภาพประกอบ 33 จากการทดสอบโดย ANOVA พบว่า ผลการทดลองที่ทำภายนอกต่างๆ ไม่แตกต่างอย่างมีนัยสำคัญ แต่ผลการทดลองภายนอกในช่วง 0-10 นาที ที่มีความต่างกันอย่างมีนัยสำคัญ จึงนับการใช้ในช่วง 0-10 นาทีเป็นผลลัพธ์ที่ดีที่สุด ซึ่งในช่วง 0-10 นาที ได้รับผลลัพธ์ที่ดีที่สุด คือ ความถี่ 10 Hz และความแรง 0.5 V ที่ได้รับผลลัพธ์ที่ดีที่สุด คือ ความถี่ 10 Hz และความแรง 0.5 V

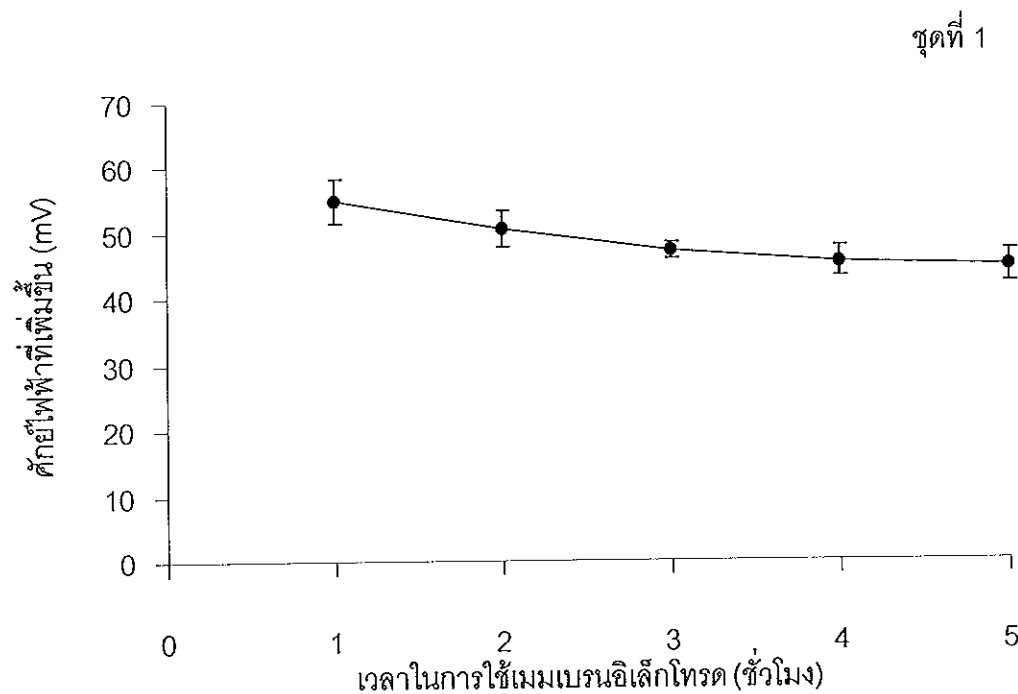
3.9.2 ผลของระยะเวลาที่เหมาะสมในการจุ่มในเตอร์ฟีลิกทีฟอิลิกโกรดในสารละลายพเทนเซียมในเตอร์ 0.1 มิลาร์ เพื่อให้ค่าการตอบสนองคืนสู่

วิธีแก้ไขให้ในเตรทซีเล็กที่ฟอเล็กโตรดมีการตอบสนองเพิ่มขึ้น คือการจุ่มอิเล็กโตรดในสารละลายน้ำเหลืองในเตรท 0.1 มลาร์ สิ่งที่ต้องการคือระยะเวลาหักอยู่ที่สุดในการจุ่มในเตรทซีเล็กที่ฟอเล็กโตรดในสารละลายน้ำเหลืองในเตรท 0.1 มลาร์ (2.12.2) ที่ทำให้ค่าการตอบสนองคืนสู่สภาพเดิม นั่นคือเมื่อค่าการตอบสนองของในเตรทซีเล็กที่ฟอเล็กโตรดให้ผลที่ไม่แตกต่างอย่างมีนัยสำคัญและสามารถทำการวิเคราะห์ต่อไป

จากการทดลองพบว่า เมื่อจุ่มในเทารทีเล็กที่พ่อเล็กโกรด 15 30 และ 45 นาที สัญญาณการตอบสนองจะยังมีความแตกต่างอย่างมีนัยสำคัญเมื่อเปรียบเทียบกับผลการวัดเมื่อ เริ่มการทดลอง (ตาราง 26 ภาพประกอบ 34) ส่วนที่เวลา 60 นาทีสัญญาณการตอบสนองให้ผลที่ ไม่แตกต่างกันเมื่อเริ่มการทดลอง นั่นคือเมื่อทำการทดลองไปแล้ว 1 ชั่วโมงต้องจุ่มในเทารทีเล็กที่พ่อเล็กโกรดในสารละลายน้ำตาล 0.1 มิลลาร์ อีก 1 ชั่วโมงก่อนที่ทำการวิเคราะห์ต่อไป

ตาราง 25 ผลของเวลาในการใช้เมมเบรนอิเล็กโทรดที่มีต่อสัญญาณการตอบสนองของเมมเบรน

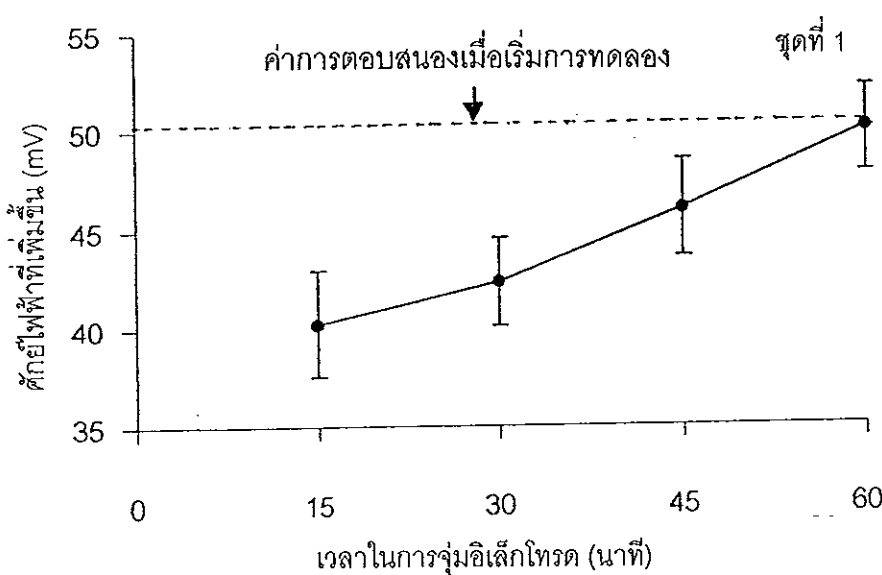
เวลาในการใช้ เมมเบรนอิเล็กโทรด (ชั่วโมง)	ศักย์ไฟฟ้าที่เพิ่มขึ้น (mV)		
	ชุดที่		
	1	2	3
1	54.9±3.3	47.1±3.6	44.0±2.3
2	50.6±2.7	44.3±2.2	41.7±1.3
3	47.2±1.1	42.7±4.1	40.6±1.0
4	45.4±2.3	41.7±1.4	37.6±1.0
5	44.7±2.4	41.4±1.1	36.2±1.0



ภาพประกอบ 33 ความสัมพันธ์ของเวลาในการใช้เมมเบรนอิเล็กโทรดที่มีต่อสัญญาณการตอบสนองของเมมเบรน

ตาราง 26 ผลของระยะเวลาที่เหมาะสมในการจุ่มในเตราที่เพิ่มอิเล็กโทรดในสารละลายนพแทนสเซียมในเตราท 0.1 มิลาร์ เพื่อให้ค่าการตอบสนองคืนสู่สภาพเดิม

เวลาที่จุ่มอิเล็กโทรดในสารละลายนพแทนสเซียมในเตราท 0.1 มิลาร์ เพื่อให้ค่าการตอบสนองคืนสู่สภาพเดิม (นาที)	ศักยไฟฟ้าที่เพิ่มขึ้น		
	(mV)		
	ชุดที่ 1	2	3
15	40.2±2.7	41.3±2.6	40.4±1.8
30	42.3±2.2	42.6±3.3	45.1±2.0
45	46.0±2.5	45.1±3.0	48.5±2.5
60	50.0±2.2	57.0±2.4	55.3±2.3
การตอบสนองเมื่อเริ่มการทดลอง	50.3±2.5	57.2±2.6	55.2±2.5



ภาพประกอบ 34 ความสัมพันธ์ระหว่างสัญญาณการตอบสนองกับระยะเวลาที่เหมาะสมในการจุ่มในเตราที่เพิ่มอิเล็กโทรดในสารละลายนพแทนสเซียมในเตราท 0.1 มิลาร์ เพื่อให้ค่าการตอบสนองคืนสู่สภาพเดิม (ชุดที่ 1 จากตาราง ชุดอื่นให้ผลในลักษณะเดียวกัน)

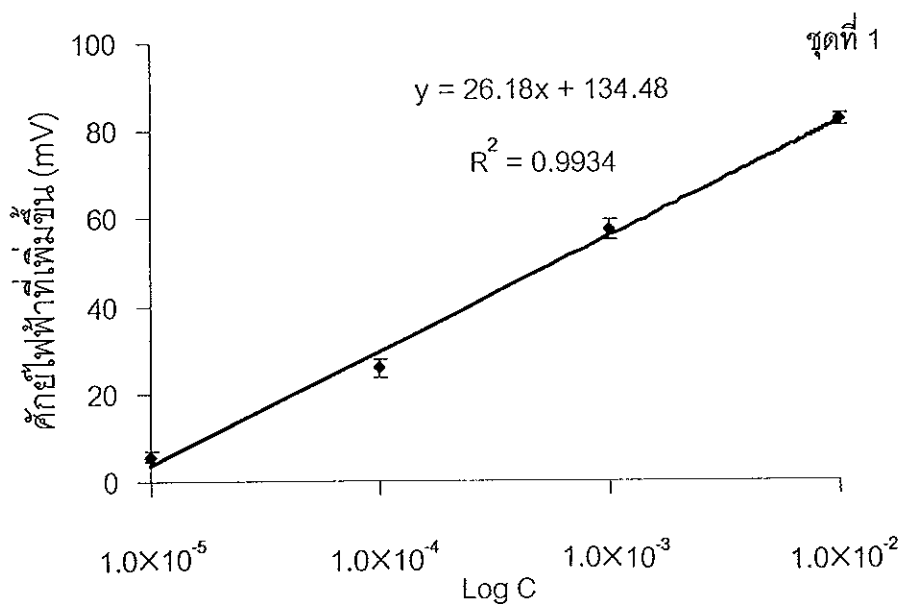
3.9.3 การวิเคราะห์หาปริมาณใน terrestrial ในสารละลายน้ำมาตรฐาน

ผลการทดลองในหัวข้อที่แล้วแสดงให้เห็นว่าถ้าใช้เมมเบรนอิเล็กโทรดอย่างต่อเนื่อง ภายในเวลา 1 ชั่วโมง สัญญาณการตอบสนองจะไม่มีความแตกต่างอย่างมีนัยสำคัญ จากผลการวิเคราะห์ดังกล่าวอาจจะแก้ไขผลการวิเคราะห์ที่วัดได้ต่ำกว่าค่าจริงในหัวข้อ 3.8 “ได้ เมื่อระบบแบบซึ่งเจอกันอนาคตแบบสมปลอกอิเล็กโทรดมาวิเคราะห์หาปริมาณใน terrestrial ในสารละลายน้ำที่เตรียมขึ้นมา โดยทำการวิเคราะห์ภายในเวลา 1 ชั่วโมง (2.12.4) พนว่าเมื่อนำผลการวัดที่ได้มาคำนวณเป็นความเข้มข้นใน terrestrial (ตาราง 28 และ 29) จากกราฟมาตรฐาน (ตาราง 27 ภาพประกอบ 35) พนว่าค่าความเข้มข้นของใน terrestrial ที่วัดได้จากระบบนี้แตกต่างจากค่าจริงมาก (ภาพประกอบ 36) แม้ได้มีการป้องปุ่งระบบการทดลองโดยสมปลอกอิเล็กโทรดและใช้เมมเบรนอิเล็กโทรดภายในเวลา 1 ชั่วโมง แต่ผลการวิเคราะห์ยังไม่ดีพอ ทั้งนี้คงเนื่องจากความไววิเคราะห์ยังไม่มากพอนั่นเอง

จากการสังเกตพบว่าสาเหตุหนึ่งน่าจะขึ้นอยู่กับอายุการใช้งานของเมมเบรนอิเล็กโทรดเนื่องจากเมื่ออายุการใช้งานของเมมเบรนอิเล็กโทรดมากขึ้น พนว่าเมมเบรนอิเล็กโทรดมีความสามารถในการแลกเปลี่ยนไอออนลดลง จึงจะพิจารณาสัญญาณการตอบสนองเมื่ออายุการใช้งานของเมมเบรนอิเล็กโทรดต่างกัน เพื่อเป็นแนวทางในการแก้ไขปัญหาค่าความไววิเคราะห์ที่ต่ำ

ตาราง 27 สัญญาณการตอบสนองจากสารละลายในเตรียมมาตรฐาน เพื่อใช้เป็นกราฟมาตรฐาน

ความเข้มข้นของ สารละลายในเตรียม มาตรฐาน (ไมลาร์)	ศักย์ไฟฟ้าที่เพิ่มขึ้น		
	ชุดที่		
	1	2	3
1.0×10^{-5}	5.7 \pm 1.2	10.2 \pm 1.0	4.4 \pm 1.3
1.0×10^{-4}	25.8 \pm 2.0	37.0 \pm 2.0	26.6 \pm 1.6
1.0×10^{-3}	57.5 \pm 2.4	65.3 \pm 1.9	53.1 \pm 1.4
1.0×10^{-2}	82.4 \pm 1.5	92.4 \pm 2.2	76.5 \pm 1.7
ความไวของระบบ (มิลลิโวลต์/10เท่าของความเข้มข้น)	26.18	27.49	24.28
สัมประสิทธิ์การถดถอย	0.9934	0.9999	0.9990
เชิงเส้นกำลังสอง			



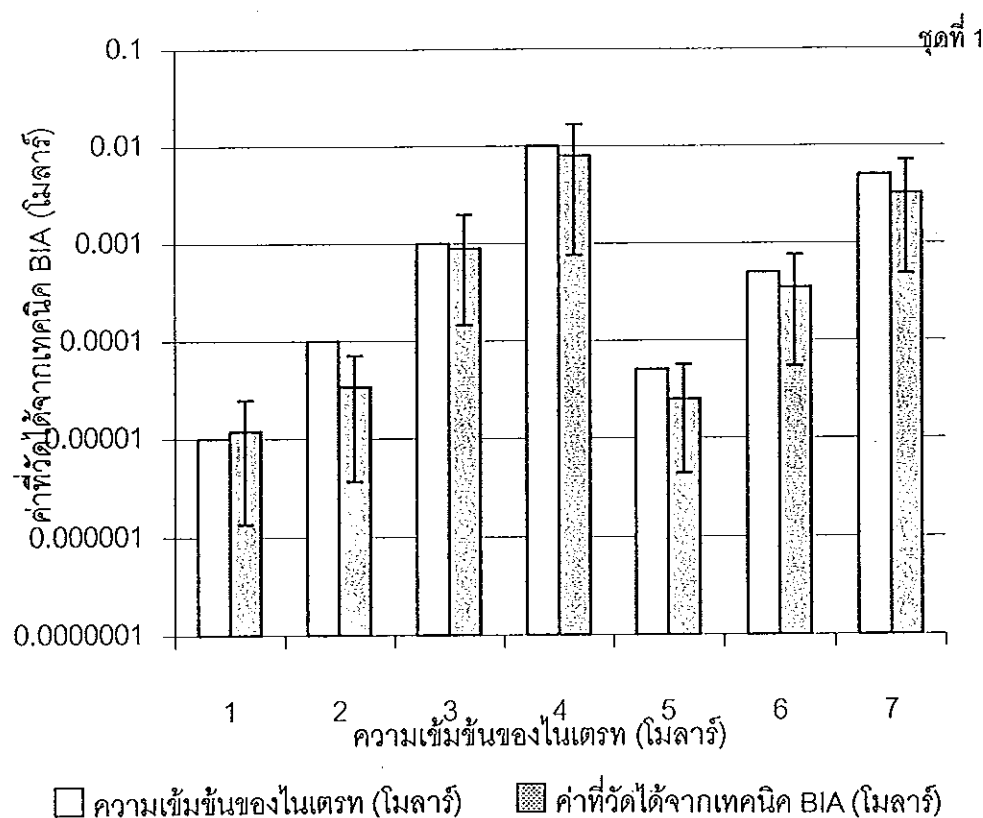
ภาพประกอบ 35 สัญญาณการตอบสนองที่ได้จากสารละลายโพแทสเซียมในเตรียม เพื่อใช้เป็น
กราฟมาตรฐาน

ตาราง 28 สัญญาณการตอบสนองและผลการวิเคราะห์ปริมาณในเทราที่วัดได้จากสารละลายในเทราที่เตรียมขึ้นมาด้วยเทคนิคแบบทซินเจกชันอนาคติส

ความเข้มข้นของสารละลายในเทราท์มาตรฐาน (มิลาร์)	ศักย์ไฟฟ้าที่เพิ่มขึ้น (mV)			ค่าที่วัดได้จากเทคนิคแบบทซินเจกชันอนาคติส(มิลาร์)		
	ชุดที่ 1			ชุดที่ 2		
	1	2	3	1	2	3
1.0×10^{-5}	5.3 ± 1.0	9.5 ± 1.2	5.5 ± 1.4	1.2×10^{-5}	9.6×10^{-6}	1.2×10^{-5}
1.0×10^{-4}	17.5 ± 1.3	33.8 ± 1.0	20.3 ± 1.5	3.4×10^{-5}	7.3×10^{-5}	4.8×10^{-5}
1.0×10^{-3}	54.6 ± 2.0	65.5 ± 1.8	58.5 ± 2.0	8.9×10^{-3}	1.0×10^{-3}	1.8×10^{-3}
1.0×10^{-2}	79.4 ± 1.1	92.4 ± 1.5	75.4 ± 1.3	7.9×10^{-3}	9.9×10^{-3}	8.9×10^{-3}
5.0×10^{-5}	14.2 ± 2.4	12.8 ± 1.9	14.0 ± 1.7	2.5×10^{-5}	1.3×10^{-5}	2.6×10^{-5}
5.0×10^{-4}	43.9 ± 1.8	39.5 ± 1.7	44.8 ± 2.1	3.5×10^{-4}	1.2×10^{-4}	4.9×10^{-4}
5.0×10^{-3}	69.3 ± 2.0	74.5 ± 2.2	68.7 ± 1.9	3.2×10^{-3}	2.2×10^{-3}	4.7×10^{-3}

ตาราง 29 ผลการวิเคราะห์ปริมาณในเทราที่วัดได้จากสารละลายในเทราที่เตรียมขึ้นมาด้วยเทคนิคแบบทซินเจกชันอนาคติส ชุดที่ 1 ค่าเบี่ยงเบนของความเข้มข้นในเชิงบวกและลบไม่เท่ากันเนื่องจากค่าศักย์ไฟฟ้าที่วัดได้มีความสัมพันธ์กับลักษณะความเข้มข้น

ความเข้มข้นของสารละลายในเทราท์มาตรฐาน (มิลาร์)	ศักย์ไฟฟ้าที่เพิ่มขึ้น (mV)	ค่าที่คำนวณได้จากค่าเฉลี่ยของศักย์ไฟฟ้า (มิลาร์)	ค่าเบี่ยงเบนในเชิงบวก (มิลาร์)	ค่าเบี่ยงเบนในเชิงลบ (มิลาร์)	ความแตกต่างระหว่างค่าที่ได้จากเทคนิค BIA กับค่าความเข้มข้นของในเทรา (%)
1.0×10^{-5}	5.3 ± 1.0	1.2×10^{-5}	1.3×10^{-5}	1.1×10^{-5}	20
1.0×10^{-4}	17.5 ± 1.3	3.4×10^{-5}	3.6×10^{-5}	3.0×10^{-5}	-66
1.0×10^{-3}	54.6 ± 2.0	8.9×10^{-4}	1.1×10^{-3}	7.5×10^{-4}	-11
1.0×10^{-2}	79.4 ± 1.1	7.9×10^{-3}	8.7×10^{-3}	7.1×10^{-3}	-21
5.0×10^{-5}	14.2 ± 2.4	2.5×10^{-5}	3.1×10^{-5}	2.1×10^{-5}	-50
5.0×10^{-4}	43.9 ± 1.8	3.5×10^{-4}	4.1×10^{-4}	3.0×10^{-4}	-30
5.0×10^{-3}	69.3 ± 2.0	3.2×10^{-3}	3.9×10^{-3}	2.7×10^{-3}	-36



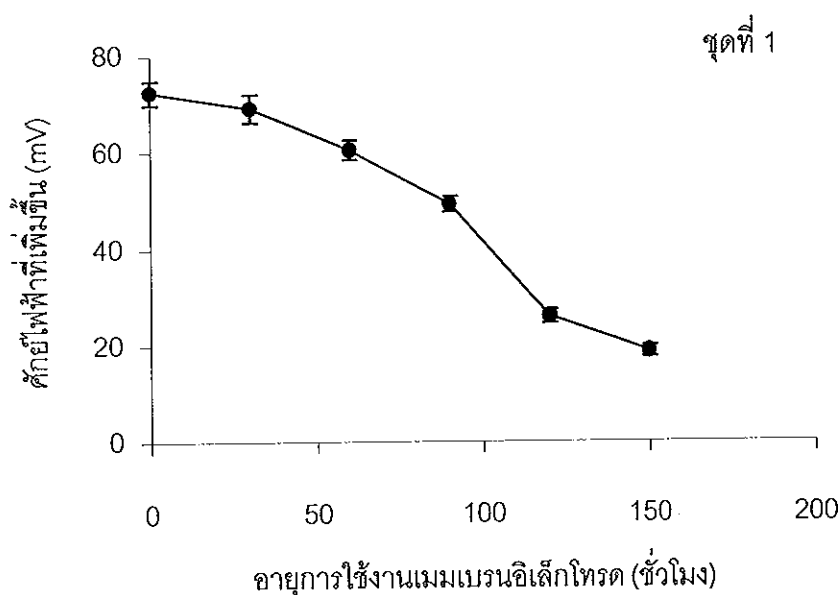
ภาพประกอน 36 เปรียบเทียบผลการวิเคราะห์ปริมาณไนเตรทในสารละลายในเตราท์ที่เตรียมขึ้น
มาระหว่างเทคนิคแบบซีอิ้นเจกชันอนาไลซิสกับค่าที่ได้จริงที่ได้จากการทำการ
ทดลองใช้ในเตราท์ซีเล็กทีฟซิลิเคติกไทรด์ภายในเวลา 1 ชั่วโมง ชุดที่ 1

3.10 อายุการใช้งานของเมมเบรนอิเล็กโทรด

เวลาณอกจากจะมีผลต่อการตอบสนองในการใช้อิเล็กโทรดแต่ละครั้งดังแสดงใน 3.8.2 เมื่อใช้อิเล็กโทรดไปนานๆ ตัวเมมเบรนอิเล็กโทรดจะเสื่อมสภาพลงซึ่งจะมีผลต่อการตอบสนองเช่นกันจากการพิจารณาผลการทดลองจากเมมเบรนที่ผ่านมาการใช้งานเป็นเวลา 0 30 60 90 120 และ 150 ชั่วโมง (ตาราง 30 ภาพประกอบ 37) พบว่าขนาดของสัญญาณที่ความเข้มข้น 1.0×10^{-4} มิลาร์มีความแตกต่างอย่างมีนัยสำคัญ โดยเมื่ออายุการใช้งานมากกว่า 90 ชั่วโมงสัญญาณการตอบสนองจะลดลงกว่า 50% ควรจะเปลี่ยนอิเล็กโทรดอันใหม่

ตาราง 30 ขนาดของสัญญาณการตอบสนองเมื่ออายุการใช้งานของ เมมเบรนอิเล็กโทรด ต่างกัน

อายุการใช้งานของ เมมเบรนอิเล็กโทรด (ชั่วโมง)	ศักย์ไฟฟ้าที่เพิ่มขึ้น (mV)		
	อันที่		
	1	2	3
0	72.4±2.5	75.3±3.0	65.4±1.4
30	69.1±2.9	64.5±2.8	57.4±3.0
60	60.5±2.0	55.6±2.5	47.3±1.4
90	49.3±1.6	40.8±2.4	32.5±2.0
120	26.0±1.4	21.0±1.6	25.4±2.0
150	18.7±1.2	18.0±1.4	16.6±1.2



ภาพประกอบ 37 ความสัมพันธ์ระหว่างขนาดของสัญญาณการตอบสนองกับอายุการใช้งาน
ของเมมเบรนอิเล็กโทรด

บทที่ 4

บทสรุป

งานวิจัยนี้ทดสอบการใช้เทคนิคแบบทึบอ่อนเจกชันอนาคติส์ติกที่พ่อเล็กทิฟอิเล็กโกรด ซึ่งเป็นตัวตรวจวัดแบบโพเทนชิโอมเตอริก และเลือกใช้ไอออนทีล็อกที่พ่อเล็กโกรดสำหรับในตรวจเป็นกรณีศึกษา โดยวัดศักย์ไฟฟ้าที่เกิดจากการแลกเปลี่ยนไอออนของสารตัวอย่างที่มีในตรวจที่บริเวณผิวน้ำอิเล็กโกรด และศักย์ไฟฟ้านี้มีความสัมพันธ์กับความเข้มข้นของสารตัวอย่าง

ในการหาสภาวะที่เหมาะสมของปัจจัยพื้นฐานของระบบแบบทึบอ่อนเจกชันอนาคติส์ พนว่า อัตราเร็วในการคนสารละลายที่เหมาะสมเพื่อล้างสารละลายตัวอย่างออกจากผิวน้ำอิเล็กโกรด และช่วยแพร่กระจายสารตัวอย่างไปยังสารละลายภายในเซลล์หลังจากที่มีการตรวจวัดแล้วคือ 300 รอบต่อนาที โดยมีอัตราเร็วในการชีดสารละลายโดยเครื่อง EDOS 5221 ที่ 4 และระยะห่างระหว่างปลายปีpet กับเมมเบรนอิเล็กโกรด 2 มิลลิเมตร ปริมาตรสารละลายตัวอย่าง 20 ไมโครลิตร

เมื่อศึกษาการวิเคราะห์ในตรวจพบว่า แบบทึบอ่อนเจกชันอนาคติส์ที่ใช้ในตรวจทีล็อกที่ฟอิเล็กโกรดให้สัญญาณการตอบสนองที่มีความเที่ยงสูง โดยมีค่าเบี่ยงเบนมาตรฐานสัมพัทธ์เพียง 2% สามารถทำการตรวจวัดได้โดยที่สารตัวอย่างที่จัดลงบนเมมเบรนอิเล็กโกรดจะไม่มีผลต่อการตรวจวัดสารตัวอย่างที่จะทำการวิเคราะห์ในครั้งต่อไป และช่วงความเข้มข้นของสารละลายในตรวจที่ให้การตอบสนองเชิงเส้น $1.0 \times 10^{-5} - 1.0 \times 10^{-2}$ ไมลาร์

สำหรับชีดจำกัดต่ำสุดในการวิเคราะห์ในตรวจด้วยเทคนิคนี้คือ 1.0×10^{-5} ไมลาร์ ซึ่งเป็นค่าที่ใกล้เคียงกับการวัดแบบจุ่มในตรวจทีล็อกที่ฟอิเล็กโกรดลงในสารละลายตัวอย่าง เช่น ในการศึกษาของ Langmuir และ Jacobson (1970) สามารถตรวจวัดในตรวจในช่วง 1-6000 พีพีเคนม หรือ $1.6 \times 10^{-5} - 0.1$ ไมลาร์ ในทำนองเดียวกัน Hara และ Okazaki (1984) ตรวจวัดได้ในช่วง $1.3 \times 10^{-5} - 7.6 \times 10^{-2}$ ไมลาร์ อย่างไรก็ตามการใช้ในตรวจทีล็อกที่ฟอิเล็กโกรดวัดแบบจุ่ม ไม่สามารถวัดสารตัวอย่างได้อย่างต่อเนื่อง เนื่องจากการวัดสารตัวอย่างเป็นการจุ่มไอออนทีล็อกที่ฟอิเล็กโกรดลงในสารละลายตัวอย่าง ขณะนั้นมีเปลี่ยนสารละลายตัวอย่างในการตรวจวัดทุกครั้งจึงต้องล้างหัวอิเล็กโกรดก่อนการตรวจวัดในครั้งต่อไป อีกทั้งในการวัดแบบจุ่มปริมาตรตัวอย่างที่น้อยที่สุดที่สามารถนำมารวิเคราะห์ได้คือ 1 ลูกบาศก์เซนติเมตร (อว๊اشัย ศรีวิญญา, 2539) แต่การใช้ไอออนทีล็อกที่ฟอิเล็กโกรดร่วมกับเทคนิคแบบทึบอ่อนเจกชันอนาคติส์นี้ สามารถตรวจวัดปริมาณสาร

ตัวอย่างได้ในระดับไมโครลิตรคือ $20 \text{ }\mu\text{m}$ ไมโครลิตร วิธีนี้จะสามารถแก้ไขข้อจำกัดในการตรวจวัดด้วยไอคอนที่เล็กที่พ่อเล็กโทรศัพท์

ในส่วนของขีดจำกัดต่ำสุด ระบบการทดลองนี้มีขีดจำกัดต่ำสุดค่อนข้างสูงเมื่อเทียบเทียบกับเทคนิคที่ใช้ในการวิเคราะห์ใน terra ในปัจจุบัน เช่น ขีดจำกัดต่ำสุดของเทคนิคไอคอนไมโครมาติกราฟี $6.5 \times 10^{-7} \text{ }\mu\text{l/l}$ (Righini and Carrozzino, 1995) เทคนิคสเปกตรอฟโตเมตี $7.0 \times 10^{-7} \text{ }\mu\text{l/l}$ หรือเทคนิคคูลอมบ์ เมตริก $2.0 \times 10^{-6} \text{ }\mu\text{l/l}$ (Nakata et al; 1990) แต่เทคนิคดังกล่าวเครื่องมือมีราคาแพง ขั้นตอนยุ่งยาก ต้องเตรียมสารตัวอย่างก่อนการวิเคราะห์และผู้ปฏิบัติต้องมีความรู้ความชำนาญ ซึ่งเทคนิคแบบที่อินเจกชันอนไลน์นี้จะมีข้อดีกว่าเทคนิคอื่นคือ เครื่องมือราคาไม่แพง ใช้งานง่าย นอกจากนี้ยังพบว่าระบบการวิเคราะห์นี้ การรับกวนจากไอคอนอื่นๆอยู่จากการศึกษาไอคอนที่น่าจะมีผลต่อการวัดไอคอนใน terra เช่น คลอไรด์ไอคอนและโนรไรมีด์ไอคอนพบว่าคลอไรด์ไอคอนที่มีอยู่ในสารละลายใน terra จะไม่มีผลต่อการวิเคราะห์ habitats ใน terra อย่างไร แต่ในรูปแบบการวิเคราะห์ habitats ใน terra ไม่ได้ไอคอนต้องมีความเข้มข้นอยู่กับความเข้มข้น ในการวิเคราะห์แต่ละตัวอย่างในระบบการทดลองนี้จึงต้องตัวอย่าง 5 ครั้งต่อหนึ่ง ความเข้มข้น ทำให้เสียเวลาค่อนข้างมาก ประมาณ 5-15 นาทีต่อหนึ่งความเข้มข้น แต่เนื่องจากความแตกต่างของผลการตอบสนองใน 5 ครั้งนี้จะมีประมาณ 2 % ดังนั้นในการใช้งานจริงอาจจะฉีดสารตัวอย่างเพียงครั้งเดียวซึ่งจะลดเวลาลงเหลือแค่ 1-3 นาทีต่อตัวอย่าง อย่างไรก็ตามถึงแม้จะฉีดตัวอย่างถึง 5 ครั้งก็ยังใช้เวลาอยู่กว่าการวัดแบบจุ่มน้ำซึ่งใช้เวลา 1-5 นาทีต่อครั้ง อีกทั้งสามารถวิเคราะห์ตัวอย่างได้มากกว่าในเวลาเท่ากัน

อย่างไรก็ตามการใช้เทคนิคแบบที่อินเจกชันอนไลน์ร่วมกับไม่ terra ที่เล็กที่พ่อเล็กโทรศัพท์ซึ่งเป็นอิเล็กโทรศัพท์ชนิดลิคิดิเมมเบรน มีข้อจำกัดในเรื่องระยะเวลาในการใช้อิเล็กโทรศัพท์โดยจะใช้อิเล็กโทรศัพท์ต่อเนื่องได้ไม่เกิน 1 ชั่วโมง เมื่อทำการทดลองไปแล้ว 1 ชั่วโมงต้องจุ่นใน terra ที่เล็กที่พ่อเล็กโทรศัพท์ในสารละลายไฟแทลส์เทียมใน terra $0.1 \text{ }\mu\text{l/l}$ อีก 1 ชั่วโมง ก่อนที่จะทำการวิเคราะห์ต่อไปได้ นอกจากนี้ปัญหาหลักอยู่ที่ความไววิเคราะห์ของระบบต่ำ ทั้งนี้น่าจะเนื่องจากการใช้อิเล็กโทรศัพท์ในระบบแบบที่อินเจกชันอนไลน์จะอยู่ในลักษณะ hairy ใช้ปริมาณของสารตัวอย่างน้อยทำให้การแตกเปลี่ยนไอคอนของสารตัวอย่างที่บริเวณผิวน้ำอิเล็กโทรศัพท์เกิดขึ้นได้น้อยกว่าการวัดแบบจุ่ม ฉะนั้นสิ่งที่ควรปรับปูนคือทำให้ค่าความไวของระบบวิเคราะห์ขึ้น แนวทางหนึ่งที่ช่วยทำให้ค่าความไวของระบบดีขึ้น คือการรวมปลอกอิเล็กโทรศัพท์ซึ่งจะป้องกันไม่ให้สารตัวอย่างแพร่

กระจายไปยังสารละลายภายในเซลล์เร็วเกินไปแล้ว การเพิ่มความสูงของปลองกิเล็กโกรดโดยเพิ่มระยะห่างของรูระดับแรกของปลองกิเล็กโกรดจากเมมเบรนอิเล็กโกรดให้มากขึ้นจะเป็นการเพิ่มปริมาณของสารละลายที่ค้างที่ผิวน้ำอิเล็กโกรดให้มากขึ้น ทำให้การแลกเปลี่ยนไอออนที่เกิดขึ้นบริเวณผิวน้ำอิเล็กโกรดเกิดได้มากขึ้น ซึ่งอาจจะมีผลให้ค่าการตอบสนองของสัญญาณสูงขึ้นและความไวของระบบวิเคราะห์สูงขึ้น นอกจากนี้อีกวิธีหนึ่งที่จะช่วยทำให้การแลกเปลี่ยนไอออนเกิดได้มากขึ้น คือการใช้อัตตราเร็วในการคนสารละลายที่ร้าลง เมื่อรวมปลองกิเล็กโกรดปริมาตรสารละลายที่ค้างที่ผิวน้ำอิเล็กโกรดก็จะเคลื่อนที่ออกจากผิวน้ำอิเล็กโกรดได้ช้า ทำให้เกิดการแลกเปลี่ยนไอออนได้มากขึ้น อัตตราเร็วในการคนสารละลายร้าสารละลายนี้ ด้วยเหตุนี้จึงทำให้สัญญาณการตอบสนองดีขึ้น ซึ่งอาจจะมีผลทำให้ค่าความไวเคราะห์ของระบบดีขึ้น

การปรับปรุงดังกล่าวอาจจะทำที่ตัวอิเล็กโกรด โดยเลือกใช้อิเล็กโกรดที่สามารถเปลี่ยนเมมเบรนได้ง่ายดังที่ Chen และคณะ (Chen et al., 1993) ได้ใช้เทคนิคแบบห้องเจกชันอนาคติสร่วมกับอิเล็กโกรดชนิดลิคิวิดเมมเบรน โดยเตรียมเมมเบรนที่มีความจำเพาะเจาะจงกับไอออนที่ต้องการวัดเองมาใช้หาปริมาณโพแทสเซียมและโซเดียม โดยความไวของระบบในการตรวจวัดโพแทสเซียมและโซเดียม 49.3 และ 35.7 มิลลิโอลต์ต่อ 10 เท่าความเข้มข้น ตามลำดับ เมมเบรนที่เตรียมด้วยวิธีง่ายๆ และสามารถเปลี่ยนได้สะดวกอาจจะช่วยแก้ปัญหาในเรื่องอายุการใช้งานของเมมเบรนอิเล็กโกรดได้ หรืออาจจะเปลี่ยนประเภทของไอออนที่เลือกที่พอยเล็กโกรดมาเป็นชนิดโซลิดสเตทเหมือนที่ Wang และ Taha (1991b) ใช้ในระบบแบบห้องเจกชันอนาคติสเมื่อตรวจวัดปริมาณฟลูออไรด์และคลอไรด์ ระบบมีความไวเคราะห์สูงถึง 56.8 และ 57.8 มิลลิโอลต์ต่อ 10 เท่าของความเข้มข้น ตามลำดับ และอิเล็กโกรดชนิดนี้มีความจำเพาะเจาะจงค่อนข้างสูง อีกทั้งลักษณะของเมมเบรนของแข็งทำให้สามารถทำการทดลองได้อย่างต่อเนื่อง ไม่ประสบปัญหาค่าการตอบสนองลดลงเมื่อระยะเวลาในการใช้อิเล็กโกรดมากขึ้นเมื่อ nondispersive ไอออนที่พอยเล็กโกรดชนิดลิคิวิดเมมเบรนที่ใช้ในการทดลองนี้

อีกแนวทางหนึ่งที่อาจจะช่วยปรับปรุงประสิทธิภาพการทำงานของลิคิวิดเมมเบรนไอออนที่เลือกที่พอยเล็กโกรดให้ดีขึ้นคือการเปลี่ยนจากระบบแบบห้องเจกชันอนาคติสมาเป็นระบบไฟล์วินเจกชันอนาคติส โดยให้สารละลายไหลผ่านอิเล็กโกรดที่สองอยู่ใน flow cell ซึ่งสามารถจัดระบบให้วิเคราะห์ได้อย่างต่อเนื่อง และเมื่ออิเล็กโกรดมีค่าการตอบสนองลดลงสามารถผ่านสารละลายโพแทสเซียมในเทวท 0.1 มิลลิราชอา Evo ใน flow cell และทิ้งไว้จนอิเล็กโกรดพร้อมที่จะทำงานต่อไปซึ่งช่วยแก้ปัญหาในเรื่องระยะเวลาในการใช้เมมเบรนอิเล็กโกรด สามารถยืดอายุใช้งานของเมมเบรนอิเล็กโกรดให้ได้นานขึ้น และอาจจะทำให้ความไวเคราะห์และค่าคงตัวสูดของการตรวจวัด

เพิ่มขึ้น อีกทั้งน่าจะทำให้อายุการใช้งานของเมมเบรนอิเล็กโทรดเพิ่มขึ้นด้วย แต่ปริมาณของสารตัวอย่างและเวลาวิเคราะห์ต่อตัวอย่างของเทคนิคโฟล์วอินเจกชันอนไลซิสน่าจะมากกว่าเทคนิคแบบที่อินเจกชันอนไลซิส

ผลการทดลองที่กล่าวมาแล้วแสดงให้เห็นว่าหากมีการปรับปุ่งระบบแบบที่อินเจกชันอนไลซิสที่ใช้ร่วมกับไอโอดินที่อิเล็กทรอนิกส์อิเล็กโทรดให้เหมาะสม และทำให้ค่าความไวของระบบวิเคราะห์ดีขึ้น ระบบนี้น่าจะนำไปวิเคราะห์หาปริมาณสารที่สะตากและรวดเร็วได้

บรรณานุกรม

ชูติมา เลิศชวนะกุล. 2526. เคมีวิเคราะห์. ภาควิชาเคมี คณะวิทยาศาสตร์
มหาวิทยาลัยรามคำแหง.

ชวัญชัย ศรีวิบูลย์. 2537. วิธีทางพิเศษเชิงเมติก ในเคมีวิเคราะห์ 2, หน้า 72-73, ภาค
วิชาเคมี คณะวิทยาศาสตร์ มหาวิทยาลัยรามคำแหง.

เพ็ญศรี ทองนพเนื้อ. 2539. พอกเทนชิโอมेटริในเคมีวิเคราะห์เชิงไฟฟ้า. หน้า 66-68.
จุฬาลงกรณ์มหาวิทยาลัย.

เพริศพิชญ์ คณาจารณ์. 2533. รายงานผลงานวิจัยเรื่องการศึกษาหาปริมาณในเตตระและไนโตรต์
ในน้ำของภาคใต้ มหาวิทยาลัยสงขลานครินทร์.

ไพบูล เหล่าสุวรรณ. 2535. สถิติสำหรับการวิจัยทางเกษตร. ม.ป.ท.: ม.ป.พ.

ศุภชัย ใช้เทียมวงศ์. 2541. การวิเคราะห์โดยการวัดศักย์ไฟฟ้าในเคมีวิเคราะห์. หน้า 379-381.
จุฬาลงกรณ์มหาวิทยาลัย.

สรพงษ์ สุวจิตตานนท์. 2531. อิเล็กโทรเดือกเฉพาะไอออนในไฟฟ้าเคมี. หน้า 141-144.
มหาวิทยาลัยสงขลานครินทร์.

อุดมผล พีชนีไฟบูลย์. 2535. เทคนิคการวิเคราะห์น้ำและน้ำเสีย. ภาควิชาวิศวกรรมโยธา
คณะวิศวกรรมศาสตร์ มหาวิทยาลัยสงขลานครินทร์.

Aylott, J.W., Richardson, D.J., and Russell, D.A. 1977. Optical biosensing of nitrates ions
using a sol-gel immobilized nitrate reductase. *Analyst*. 122 : 77-80.

Backofen, U., Hoffmann, W. and Matysik, F.M. 1998. Capillary batch injection analysis : a novel approach for analyzing nanoliter samples. *Analytica Chimica Acta.* 362 : 213 -301.

Bard, A.J. and Faulkner, L.R. 1980. Electrochemical method fundamentald and application. New York: John Wiley&Sons.

Berube, T.R. and Buck, R.P. 1989. Comparison of proposed response mechanism of precipitate ion-selective electrodes in the presence of interfering ions. *Analytical Chemistry.* 60 : 295-301.

Brett, C.M.A., Fungaro, D.A., Morgada, J.M. and Gil, M.H.1999. Novel polymer-modified electrode for batch injection sensors and application to environmental analysis. *Journal of Electroanalytical Chemistry.* 468 : 26-33.

Brett, C.M.A., Brett, A.M.O. and Tugulea, L. 1996a. Anodic stripping voltammetry of trace metals by batch injection analysis. *Analytica Chimica Acta.* 322 : 151-157.

Brett, C.M.A., Brett, A.M.O. , Matysik, F.M., Matysik, S. and Kumbhat, S. 1996b. Nafion-coated mercury thin film electrodes for batch injection analysis with anodic stripping voltammetry. *Talanta.* 43 : 2015-2022.

Carrozzino, S. and Righini, F. 1995. Ion chromatographic determination of nutrients in sea water. *Journal of Chromatography A.* 706 : 277-280.

Chen, Q., Lu, J., Diamond, D. and Wang, J. 1993. Inverted poly(vinyl chloride) - liquid membrane ion-selective electrodes for high-speed batch injection potentiometric analysis. *Analyst.* 118 : 1131-1135.

Christian, G.D. 1980. Analytical chemistry. 3nd.ed. New York: John Wiley&Sons.

Ebdon, L., Braven, J., and Frampton, N.C. 1991. Nitrate-selective electrodes containing Immobilized ion exchangers within a rubbery membrane with controlled crosslink density. *Analyst*. 116 : 1005 -1010.

Frant, M.S. 1994. History of the early commercialization of ion-selective electrode.

Analyst. 199 : 2293-2301.

Glazier, S.A., Campbell, E.R. and Campbell, W.H. 1998. Construction and characterization of nitrate reductase-based amperometric electrode and nitrate assay of fertilizers and drinking water. *Analytical Chemistry*. 70 : 1511-1515.

Groeneveld, R., Bouwman, A.F., Kruitwagen, S. and Vanlerland, E.C. 1998. Nitrate leaching in dairy farming : economics effects of environmental restrictions. *Environmental Pollution*. 102 : 755-761.

Hara, H. and Okazaki, S. 1985. Effect of surfactants on the determination of nitrate in stream waters by using a nitrate ion-selective electrode. *Analyst*. 110 : 11-14.

Hara, H., Wakizaka, Y., and Okazaki, S. 1995. Silver chloride pre-treatment for the direct potentiometric determination of chloride in stream waters using a solid – state chloride ion – selective electrode. *Analyst*. 110 : 1087-1090.

Hernandez, L.J., Castro, G.M.J., Blanco, V.M.E., Oderize, V.M.L. and Lozano, S.J. 1994. HPLC determination of sugars and strach in green beans. *J.Food Science* 59 : 1048-1049.

- Holmes, E.W. 1997. Coupled enzymatic assay for the determination sucrose. *Analytical Biochemistry*. 224 : 103-109.
- Hulanicki, A., Lewandowski, R. and Maj, M. 1974. Determination of nitrate in water with a new construction of ion-selective electrode. *Analytica Chimica Acta*. 69 : 409-414.
- Kanatharana, P. and Chantanawatana, A. 1989. Study of nitrate and nitrite in Thale Sap Songkla : water qualityof Thale Sap Songkla. *Journal Environmental Science Health*. A24(1) 87-96.
- Khalil, S.A.H., Moody, G.J., and Thomas, J.D.R. 1995. Studies of calcium ion – selective electrodes in the presence of biochemical. *Analyst*. 110 : 353 -358.
- Koncki, R., Walcerz, I. and Leszezynska, E. 1999. Enzymatically modified ion-selective electrodes for flow injection analysis. *Journal of Pharmaceutical and Biomedicine Analysis*. 19 : 633-638.
- Langmuir, D. and Jacobson, R.L. 1970. Specific-ion electrode determination of nitrate in some freshwaters and sewage effluents. *Environmental Science & Technology* 4 : 834-838.
- Lindner, E., Graf, E., Neigreisz, Z., Toth, K., and Pungor, E. 1988. Responses of site-Controlled, plasticized membrane electrodes. *Analytical Chemistry*. 60 : 295-301.
- Macca, C. 1996. Determination of potentiometric selectivity. *Analytica Chimica Acta*. 321 : 1-10.

Maj-Zurawska, M. and Hulanicki, A. 1982. Effect of the platinum surface on the potential of nitrate – selective electrodes without internal solution. *Analytica Chimica Acta.* 136 : 395-398.

Mathis, D.E., Freeman, R.M., Clark, S.T. and Buck, R.P. 1979. Ion transport in free and supported nitrobenzene aliquat nitrate liquid membrane ion-selective electrodes. *Journal of Membrane Science.* 5 : 103 -116.

Mattos, L., Zagatto, E.A.G. and Jacintho, A.O. 1988. Spectrophotometric flow-injection determination of sucrose and total reducing sugar in sugar cane juice and molasses. *Analytica Chimica Acta.* 214 : 247-257.

Merritt, W. and Settle, D. 1981. pH and Ion selective potentiometry In *Instrumental methods of Analysis*, pp. 645-647.

Nakata, R., Terashita, M., Nitta, A., and Ishikawa, K. 1990. Spectrophotometric or Coulometric determination of nitrate with on electrochemical reductor using flow injection. *Analyst.* 115 : 425-430.

Ohki, A., Maeda, S., Lu, J.P., and Bartsch, R.A. 1994. Sodium ion – selective electrodes Based on Dibenzo – 16 – crown – 5 compounds with Pendent Amide groups. *Analytical chemistry.* 66 : 1743-1746.

Skoog, D.A. and West , D.M. 1963. Potentiometric methods. In *Principle of instrumental Analysis*, pp. 446-459. New York: Academic Press.

Skoog, D.A. and West , D.M. 1980. Potentiometric methods. In *Principle of instrumental Analysis* (2nded.), Japan: Holt-Saunders International.

Skoog, D.A., West , D.M. and Holler F.J. 1992. Fundamentals of analytical chemistry (6thed.), 892pp. New York: Saunders College.

Solsky, R.L. 1990. Ion-selective electrodes. *Analytical Chemistry*. 62 : 21R-33R.

Srobel, H.A. 1973. Chemical Instrumentation : A Systematic Approach. 2nd.ed. London: Addison-Wesley Publishing Company.

Thavarungkul, P., Suppapitnarm, P., Kanatharana, P. and Mattiasson, B. 1999. Batch Injection analysis for the determination of sucrose in sugar cane juice using immobilized invertase and thermometric detection. *Biosensors & Bioelectronics* 14 : 19-25.

Thayer, T.R. and Huffaker, R.C. 1980. Determination of nitrate and nitrite by high-Performance chromatography: compaparison with other methods for nitrate determination. *Analytical Biochemistry*. 102 : 110-119.

Thomas, J.D.R. 1994. Selective membrane electrode for analysis. *Analyst*. 119 : 203-208.

Wang, J. 1992. Injection analysis-from flow-injection analysis to batch-injection analysis. *Microchemical Journal*. 45 : 219-224.

Wang, J. and Taha, Z. 1991a. Batch injection analysis. *Analytical Chemistry*. 63 : 1053-1056.

Wang, J. and Taha, Z. 1991b. Batch injection with potentiometric detection. *Analytica Chimica Acta*. 252 : 215-221.

Wang, J., Rayson, G.D. and Taha, Z. 1992. Batch injection analysis using fiber-optic fluorometric detection. *Applied Spectroscopy*. 45 : 107-110.

Wang, J. 1984. Potentiometry. In: *Analytical Electrochemistry*, pp. 107-131.
New York: WILEV-VCH.

ประวัติผู้เขียน

ชื่อ นางสาวอัจฉรา รอดเข็ม

วัน เดือน ปีเกิด 10 มกราคม 2517

วุฒิการศึกษา

วุฒิ	ชื่อสถาบัน	ปีที่สำเร็จการศึกษา
วิทยาศาสตรบัณฑิต ^(ศึกษาศาสตร์)	มหาวิทยาลัยสงขลานครินทร์ ^{วิทยาเขตปัตตานี}	2537

ทุนการศึกษา

สำนักงานพลังงานปرمາณเพื่อสันติแห่งชาติ

(มิถุนายน 2538 ถึง กันยายน 2543)